

UNIVERSIDADE FEDERAL DO RIO DE JANEIRO

ESCOLA DE ENGENHARIA  
DEPARTAMENTO DE ENGENHARIA ELETRÔNICA E DE COMPUTAÇÃO

***MEDIDOR ELETRÔNICO DE CONSUMO DE  
ENERGIA ELÉTRICA***

Autor: \_\_\_\_\_

Paulo Gentil Gibson Fernandes

Orientador: \_\_\_\_\_

Carlos José Ribas D'Ávila

Examinador: \_\_\_\_\_

Fernando Antônio Pinto Barúqui

Examinador: \_\_\_\_\_

Paulo Magalhães Duarte Sobrinho

DEL  
Março/2006

Aos meus pais,  
pelo carinho e  
dedicação.

## Agradecimentos

Percebi que o trabalho de pesquisa é um grande exercício intelectual. Durante o desenvolvimento de um projeto existem ocasiões em que tudo parece muito complexo e, muitas vezes, é difícil encontrar uma saída para contornar os problemas. Com isso, ficamos desanimados e desmotivados em continuar persistindo na eterna busca por soluções engenhosas. Entretanto, quando existe uma pessoa que possui a capacidade de visualizar o problema e ditar diretrizes para que nos possibilite encontrar a lógica por traz do quebra-cabeça, ficamos imensamente satisfeitos e realizados. Assim, gostaria de agradecer imensamente ao Casé, meu orientador, por me proporcionar os subsídios necessários a encontrar soluções criativas para os problemas encontrados durante a realização de nossos trabalhos. Pude notar que não podemos nos deixar abalar em momentos de dificuldades, pois só assim temos a capacidade de crescer.

Gostaria de agradecer ainda ao meu colega de trabalho Luciano, por estar sempre receptivo e disposto, ajudando-me com minhas dúvidas de funcionamento dos variados circuitos que necessitamos destrinchar em projetos de engenharia.

Agradeço também ao meu amigo Leonardo, que me ensinou a importância do trabalho em equipe quando foi necessária nossa união para vencer os desafios do PIC.

A toda equipe do laboratório LASPI por serem ótimos colegas tornando nosso ambiente de trabalho sempre agradável e prazeroso.

Agradeço a imensa dedicação e carinho de meu pai, por se empenhar proporcionar as melhores condições para minha formação humana. Ao meu irmão gêmeo, e melhor amigo, por estar sempre presente nos momentos difíceis e alegres da minha vida. A minha mãe, sempre me apoiando e me orientando nas minhas decisões. Aos meus irmãos e toda a família por proporcionarem um núcleo de união, harmonia e amizade.

Finalmente, agradeço a Natureza por me dar à oportunidade de estar aqui vivendo esta experiência humana.

## **Resumo**

Nos dias de hoje, inúmeros meios para transferência de dados são utilizados: cabos coaxiais, fibra ótica, link de microondas e radiofrequência (RF) são alguns exemplos. Entretanto, as concessionárias distribuidoras de energia elétrica ainda utilizam funcionários para o procedimento de leitura dos seus medidores eletromecânicos de consumo responsáveis por tarifar a energia entregue aos clientes.

Este trabalho apresenta uma solução para implementar um sistema de medição remota automática de consumo, reunindo os conceitos de microcontroladores, eletrônica digital, eletrônica de potência, RF e filtros, aprendidos no curso de engenharia eletrônica da UFRJ. Este sistema, chamado de AMR (Automatic Measurement Reading), utiliza medidores eletrônicos que se comunicam com uma estação concentradora (PC) através da própria rede elétrica (PLC). O computador utiliza uma placa para converter os sinais que trafegam pela linha PLC em um padrão que lhe seja compreendido. Dessa forma, comandos podem ser enviados por um software concentrador aos diversos medidores conectados ao mesmo barramento elétrico.

Assim, este desenvolvimento implementa os subsídios de hardware e firmware necessários para se criar uma rede integrada de gestão e controle do fornecimento de energia elétrica.

## **Palavras-chave**

- AMR
- Medição de consumo
- Microcontrolador
- Firmware
- Comunicação
- Protocolo

# Sumário

<i>Agradecimentos</i>	<i>iii</i>
<i>Resumo</i>	<i>iv</i>
<i>Palavras-chave</i>	<i>v</i>
<i>Sumário</i>	<i>vi</i>
<i>Lista de Figuras</i>	<i>viii</i>
<i>Lista de Tabelas</i>	<i>ix</i>
<i>Lista de Tabelas</i>	<i>ix</i>
<i>Lista de Equações</i>	<i>x</i>
<i>Lista de abreviaturas</i>	<i>xi</i>
<i>Introdução</i>	<i>1</i>
<b>Capítulo 1: A Medição Remota de Consumo</b>	<b>3</b>
1.1 Introdução	3
1.2 A topologia do sistema de medição remota de consumo (AMR)	4
1.3 As diferentes tecnologias para a transmissão de dados	5
<b>Capítulo 2: A proposta do Medidor Eletrônico de Consumo</b>	<b>7</b>
2.1 Diagrama de Blocos do Sistema	8
2.2 Programa Teste <i>Concentrador</i>	9
2.3 Medidor de energia elétrica	10
2.4 Conversor RS-232 PLC	11
<b>Capítulo 3: O projeto do sistema</b>	<b>13</b>
3.1 O circuito medidor	13
3.1.1 Projeto do circuito	18
3.2 Microcontrolador	21
3.2.1 Funcionamento do microcontrolador	22
3.2.2 O circuito de corte, religação e sensoriamento	23
3.2.3 O totalizador com memória não volátil	25
3.2.4 O protocolo de comunicação	25
3.2.5 A comunicação serial	27
3.3 Programas	27
3.3.1 Simulador e compilador	27
3.3.2 Firmware do Medidor	28
3.3.3 Firmware do Conversor RS-232 PLC	30
3.3.4 Software do Concentrador	33
3.4 Comunicação PLC	34
3.4.1 Transmissor FSK	34
3.4.2 Amplificador de Potência	36
3.4.3 O acoplador para rede elétrica	37
3.4.4 O receptor FM	39
<b>Capítulo 4: Testes e resultados</b>	<b>43</b>
4.1 Erro na Medição do Consumo	43
4.2 Desempenho da Comunicação PLC	44

<b>Capítulo 5: Conclusões e trabalhos futuros</b>	<b>46</b>
<b>Apêndice 1 – Cálculos de projeto para o Medidor</b>	<b>49</b>
<b>Apêndice 2 – Descrição dos procedimentos de teste</b>	<b>52</b>
Calibração do medidor	52
Método de calibração	52
Projeto	54
Procedimento de teste	55
Teste da taxa de erro de bit (BER) na rede PLC	56
Fimware transmissor	56
Firmware receptor	56
Resultados da BER	58
Placa Medidor de Energia Elétrica	59
Placa Conversor RS-232 PLC	60
<b>Anexo 2 – Esquemático das placas desenvolvidas</b>	<b>61</b>
Placa Medidor de Energia Elétrica – esquema 1: Medidor de ADE7757	61
Placa Medidor de Energia Elétrica – esquema 2: Microcontrolador PIC	62
Placa Medidor de Energia Elétrica – esquema 3: Estágio de Potência e fonte	63
Placa Medidor de Energia Elétrica – esquema 4: Demodulador	64
Placa Conversor RS-232 PLC – esquema 1: Micorcontrolador e interface RS-232	65
Placa Conversor RS-232 PLC – esquema 2: Transmissor e fonte	66
Placa Conversor RS-232 PLC – esquema 3: Demodulador	67
<b>Anexo 3 – Códigos-fonte dos programas desenvolvidos</b>	<b>68</b>
Programa Medidor	68
Programa Modem	83
Programa Teste Concentrador	88

## Lista de Figuras

Figura 1 – Conexão entre medidores, concentrador e o servidor da distribuidora	4
Figura 2 – Conexão Conversor RS-232 PLC, Medidor, Concentrador e rede elétrica.	8
Figura 3 – Conexão do resistor shunt junto ao Medidor.	8
Figura 4 – Aplicativo para testar as funcionalidades do medidor.	9
Figura 5 – Diagrama de blocos do medidor de energia e suas funcionalidades.	11
Figura 6 – Conexão Conversor RS-232 PLC ao Concentrador	12
Figura 7 – Esquema elétrico do medidor monofásico.	14
Figura 8 – Diagrama de blocos do circuito integrado ADE7757.	15
Figura 9 – Rede de atenuação para realizar a amostragem da tensão de linha.	15
Figura 10 – Esquema de conexão entre a rede resistiva e a linha para o canal V2.	16
Figura 11 – Esquema de conexão entre a linha e o resistor shunt para o canal V1.	16
Figura 12 – Isolamento entre as alimentações do medidor e do controlador.	17
Figura 13 – Fonte de alimentação para o circuito ADE7757.	18
Figura 14 – Variação do oscilador em função de RCLKIN.	19
Figura 15 – Diagrama de pinos do microcontrolador PIC16F88	21
Figura 16 – Circuito para esquemático de funcionamento do microcontrolador	22
Figura 17 – Conexão série do relé de corte e religação.	23
Figura 18 – Foto do relé de estado sólido	23
Figura 19 – Circuito para sensoriamento da fase	24
Figura 20 – PIC simulator IDE	28
Figura 21 – Fluxograma da rotina principal do firmware Medidor	29
Figura 22 – Fluxograma da Função RX	30
Figura 23 – Conexão entre os sinais do PC e da rede o microcontrolador	31
Figura 24 – Fluxograma do programa Conversor RS-232 PLC	32
Figura 25 – Fluxograma do programa Teste Concentrador.	33
Figura 26 – Conexão da saída serial do PIC para modulação por firmware	35
Figura 27 – Fluxograma da rotina para modular o sinal serial	36
Figura 28 – Amplificador potência push-pull para o circuito transmissor	37
Figura 29 – Esquema do acoplador de sinal para rede elétrica.	37
Figura 30 – Circuito para cortar a alimentação do estágio de potência.	38
Figura 31 – Diagrama de blocos do receptor PLC.	39
Figura 32 – Filtro passivo sintonizado	40
Figura 33 – Circuito amplificador sintonizado	41
Figura 34 – Circuito integrado de demodulação	41
Figura 35 – Diagrama de blocos do demodulador MC13135.	42
Figura 36 – Filtro ativo passa baixa.	42
Figura 37 – Erro na medição do consumo de energia em função da corrente.	44
Figura 38 – Taxa de erro em função da potência recebida	45
Figura 39 – Projeto da rede resistiva.	50
Figura 40 – Circuito final da rede resistiva.	50
Figura 41 – Funcionamento do medidor ADE7757	52
Figura 42 – Circuito para simulação da tensão da rede	53
Figura 43 – circuito para simulação de corrente	53
Figura 44 – Fluxograma do firmware para transmissão de bytes 0x55	56
Figura 45 – Fluxograma do firmware para calcular a BER	57



## Lista de Tabelas

<i>Tabela 1 – Seleção de frequências F1-4, considerando oscilador a 450kHz.</i>	19
<i>Tabela 2 – Ajuste da frequência de saída para o microcontrolador.</i>	20
<i>Tabela 3 – Especificações do projeto.</i>	20
<i>Tabela 4 – Característica do PIC16F88 necessárias a este projeto</i>	22
<i>Tabela 5 – Caracteres utilizados no protocolo de comunicação</i>	25
<i>Tabela 6 – Seqüência de caracteres para operação de leitura</i>	26
<i>Tabela 7- Seqüência de caracteres para operação de outros comandos do Medidor</i>	26
<i>Tabela 8 – características da comunicação serial</i>	27
<i>Tabela 9 – Comparação entre os transformadores 3:1 e 1:1.</i>	38
<i>Tabela 10 – Resultados das medidas do consumo de energia</i>	43
<i>Tabela 11 – Resultados da comunicação PLC em 1 milhão de bits enviados</i>	45
<i>Tabela 12 – Valores dos resistores utilizados para as correntes teóricas.</i>	55
<i>Tabela 13 – Comparação entre valores práticos e teóricos</i>	55
<i>Tabela 14 – Erro de bits em 1 milhão para diferentes potências.</i>	58

## Lista de Equações

<i>Equação 1 – Relação entre as frequências <math>F1</math> e <math>F2</math> e as tensões <math>V1</math> e <math>V2</math>.</i>	<i>18</i>
<i>Equação 2 – Frequência de ressonância do filtro LC</i>	<i>40</i>
<i>Equação 3 – Formula da multiplicação de dois senos.</i>	<i>41</i>
<i>Equação 4 – Equação final do medidor de energia</i>	<i>51</i>

## Lista de abreviaturas

AMR	– Sistema de medição automática de consumo
PLC	– Comunicação através da rede de distribuição de energia.
USART	– Receptor transmissor serial síncrono e assíncrono.
WAN	– <i>Wide Area Network</i> , rede privada de larga cobertura para transmissão de dados
FM	– Modulação em frequência.
FSK	- <i>Frequency Shift Keying</i> , modulação digital em frequência
RF	– Rádio Frequência
RTS	– <i>Request to Send</i> , sinal que indica o início da transmissão
RX	– Entrada de recepção do sinal serial
TX	- Saída de transmissão do sinal serial
PIC	- Microcontrolador da <i>Microchip</i> , PIC16F88
AD	- Conversor analógico-digital
SNR	- Razão sinal ruído
V2 ou V2rms	- Tensão de entrada do medidor proporcional ao valor da rede
V1 ou V1rms	- Tensão proporcional ao valor da corrente de carga
VREF	- Tensão de referência de 2,5V para o ADE7757
ADE7757	- Circuito integrado de medição de energia
MC13135	- Circuito integrado para demodulação FM
F1-4	- Frequência base do ADE7757 para medição de energia
RCLKIN	- Pino do ADE7757 para conectar o oscilador local
F1 e F2	- Frequência de saída do ADE7757 proporcional ao consumo
FCF	- Frequência de saída do pino CF do ADE7757 para enviar o consumo ao microcontrolador
EEPROM	- Memória não volátil interna ao microcontrolador PIC
TMR0	- Registrador interno do PIC que armazena o valor do <i>Timer 0</i> .
Timer 0	- Contador interno do PIC que realiza o totalizador eletrônico.
BER	- Taxa de erro de bit
RS-232	- Porta serial do computador
Assembly	- Linguagem de baixo nível utilizada para programar o PIC
TX_MOD	- Saída do sinal de comunicação modulado do PIC

TX\_POT - Saída de potência do sinal modulado  
RTS\_PIC - Sinal do PIC para indicar o envio da informação para linha PLC  
RTS\_PC - Sinal do PC para indicar que está enviando dados para o PIC  
RX\_DEM - Saída do receptor PLC com o sinal digital serial  
RX\_MOD - Sinal modulado recebido pelo receptor

## Introdução

A idéia de se desenvolver um medidor eletrônico de energia elétrica foi a evolução do Projeto P&D-2002, da ANEEL, proposto pela UFRJ em conjunto com a LIGHT, para medição remota de consumo. No projeto foi desenvolvida uma placa que se comunicava através da rede de distribuição, permitindo ser acoplada ao medidor eletromecânico e monitorar seu funcionamento. Dessa forma, o circuito seria capaz de enviar informações internas como o valor do totalizador e a presença das fases. O sistema ainda permitia o corte e a religação do fornecimento de forma remota.

Este equipamento está sendo bastante procurado nos dias de hoje por empresas distribuidoras de energia para substituir o sistema convencional de medição. No sistema atual a empresa necessita de pessoas para ir até o estabelecimento consumidor e registrar o consumo. Com a tecnologia disponível hoje é possível realizar um sistema completamente automático para medição do consumo.

Entretanto, o que ainda atrasa a migração para a medição remota é o custo de um medidor eletrônico quando comparado ao convencional eletromecânico. Medidores eletrônicos são caros porque utilizam componentes com grande precisão e possuem, ainda, baixa escala da produção.

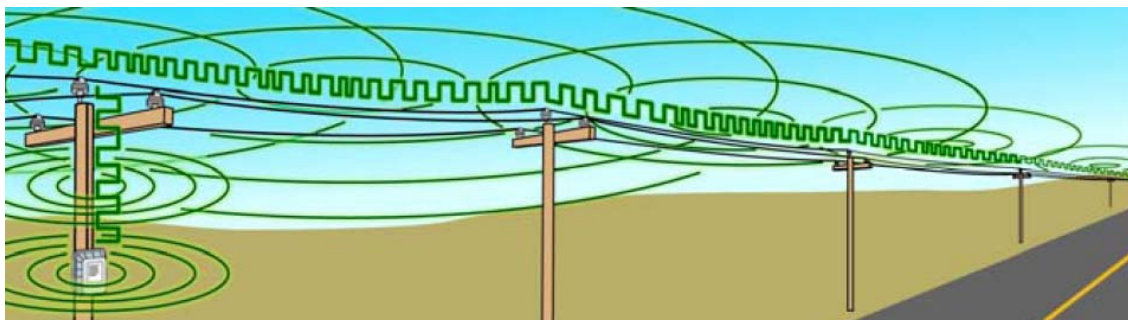
Com isso, no projeto em questão, tem-se como objetivo desenvolver um circuito completo para medir o consumo de energia e se comunicar com um concentrador local, agregando as mesmas funcionalidades do projeto anterior, mas sem necessitar de uma aparelhagem eletromecânica.

Este projeto utiliza um modulador FSK e um demodulador FM para uma comunicação banda estreita em 113kHz e um circuito integrado de baixo custo que realiza a tarifação do consumo de energia para clientes monofásicos com consumo até 70 amperes. Uma inovação existente neste projeto foi o desenvolvimento de uma rotina em *Assembly* para modular um sinal em FSK descartando a necessidade de utilização de um modulador. O receptor se baseia em um integrado que realiza uma demodulação FM por dupla conversão, um duplo receptor super-heteródino.

No primeiro capítulo deste trabalho será apresentado o sistema AMR. Em seguida, será discutido o projeto para medição remota automática de consumo com o desenvolvimento de um medidor eletrônico, uma placa conversora RS-232 / PLC e um software concentrador. No capítulo três um estudo profundo do funcionamento dos

circuitos e programas desenvolvidos é realizado. No capítulo quatro são abordados os procedimentos de testes, para checar e validar o funcionamento do projeto. Os resultados obtidos são apresentados. No capítulo cinco é realizada a conclusão do trabalho e são apresentadas propostas para trabalhos futuros. Ao final do trabalho existem fotos das placas, esquemas e códigos-fonte utilizados no projeto.

# Capítulo 1: A Medição Remota de Consumo



(Ilustração )

## 1.1 Introdução

Hoje em dia, no Brasil, a maior parte das medições de consumo de energia elétrica envolve a leitura de um mostrador presente nos medidores eletromecânicos, o totalizador, exigindo o deslocamento de funcionários da concessionária para coletar esta informação.

Este método de leitura ainda não é automático e por este motivo envolve três etapas principais. Uma etapa para o deslocamento do funcionário ao estabelecimento consumidor para registrar o consumo. A outra etapa compreende a chegada ao local, leitura do totalizador eletromecânico e registro no papel. Em uma última etapa, transfere-se a informação do papel ao banco de dados, o que normalmente é realizado por um outro funcionário.

Esse método de realizar o serviço de leitura do consumo envolve um custo operacional, com pagamento de funcionários, transporte e material de trabalho. Além disso, como todo o trabalho é manual, ele torna-se lento, com possibilidade de erros no registro das informações.

Dentro deste contexto, a medição remota de consumo, conhecida internacionalmente como AMR (Automatic Measurement Reading), é, sem dúvida alguma, uma tecnologia promissora para as concessionárias de energia elétrica. Implantar um sistema automático para a leitura do consumo permite o conhecimento da curva de demanda, a identificação precisa da frequência e duração das falhas no fornecimento (FEC e DEC) e o corte e religação remotos de clientes inadimplentes. Assim, a empresa pode melhorar o seu desempenho e aumentar o lucro final.

## 1.2 A topologia do sistema de medição remota de consumo (AMR)

Em uma arquitetura de medição remota de consumo os medidores de energia se comunicam eletronicamente a um concentrador local. Este concentrador, que pode ser implementado por um computador portátil, é responsável por armazenar as informações de consumo de todos os medidores conectados ao mesmo barramento.

Um sistema AMR pode estar baseado nos medidores eletromecânicos atualmente utilizados para tarifar o consumo de energia, sem que haja a necessidade da substituição. Nessa situação, é desenvolvido um circuito eletrônico para monitorar o medidor eletromecânico e armazenar a informação de consumo. Ao comando de requisição, este circuito embarcado no medidor eletromecânico envia os dados para o concentrador. Essa solução pode ser interessante na medida em que utiliza os medidores já adquiridos pela empresa, evitando um alto investimento na troca por novos medidores.

Uma outra opção é a substituição dos medidores eletromecânicos por eletrônicos. Dessa forma, o sistema de comunicação e monitoramento eletrônico do consumo de energia já estariam embutidos dentro do circuito do medidor.

Na topologia AMR, cada medidor deve possuir um endereço distinto para que possa ser identificado na linha. Por exemplo, em um condomínio, todos os medidores deverão estar conectados através de uma rede comum a um mesmo computador que deverá realizar pedidos regulares de leitura dos totalizadores e armazenar estes dados. A figura 1 mostra a conexão de um concentrador ao demais medidores.

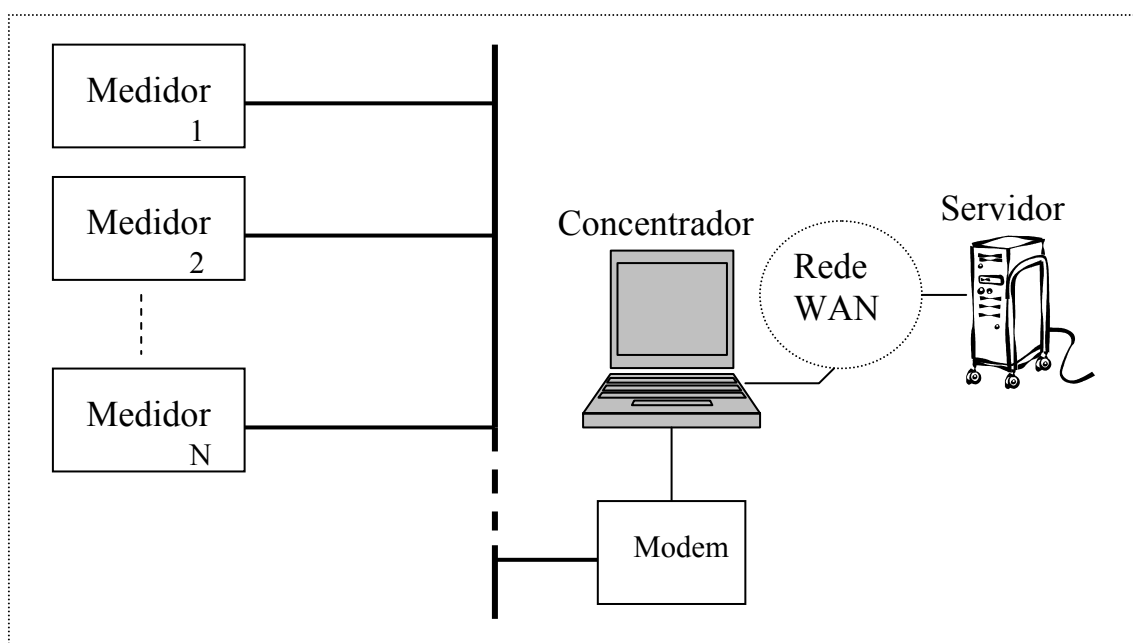


Figura 1 – Conexão entre medidores, concentrador e o servidor da distribuidora



Em seguida, as informações de consumo concentradas em um único ponto deverão ser enviadas a um servidor da companhia de distribuição através de uma rede interna privada WAN, ou mesmo uma rede pública como a Internet, usando, por exemplo, o protocolo TCP/IP. As informações dos clientes são armazenadas em um banco de dados e são utilizadas pelo sistema de cobrança da concessionária. Dessa forma, a concessionária atinge um ponto onde todo o processo de gerenciamento do consumo e cobrança estarão automatizados.

### **1.3 As diferentes tecnologias para a transmissão de dados**

Os cabos coaxiais, fibras óticas, links de microondas, links de satélite e linha telefônica são alguns exemplos dos meios de transmissão de dados utilizados nos dias de hoje. Com isso, existem várias formas de se conceber a arquitetura de um sistema de medição remota de consumo para garantir uma comunicação entre o medidor e o servidor.

Para implantar o sistema, deve-se fazer uma distinção entre consumidores rurais e urbanos. As zonas rurais possuem uma baixa densidade populacional e as zonas urbanas possuem uma concentração maior de pessoas em uma mesma região. Dessa forma, pode ser mais interessante utilizar tecnologias diferentes para estes dois casos.

Um dos métodos mais baratos para se transmitir a informação de consumo em áreas rurais é a utilização de uma linha telefônica. Neste método, o medidor é substituído por um novo com modem de linha telefônica. O equipamento é programado para discar em um dado horário do dia e enviar as informações de consumo para um concentrador. A vantagem deste método é a utilização da infra-estrutura de comunicação telefônica existente não havendo a necessidade de se manter uma rede dedicada a este fim. A desvantagem é o pagamento do uso da linha.

Uma outra opção para clientes rurais é utilizar um sistema PLC, que será discutido ao longo do trabalho. Nesta solução a informação trafega pela própria rede de distribuição elétrica. Para o caso de clientes distantes, o sinal trafega em média tensão e, para clientes próximos, em baixa tensão, até alcançar um concentrador. Deve-se fazer uma distinção entre o PLC de baixa tensão e de média tensão, pois o último requer estruturas mais complexas, que devem suportar uma tensão de no mínimo 20kV, que por este motivo são mais caras.

Para o caso de zonas urbanas pode-se utilizar sistemas de comunicação sem fio ou um sistema de PLC para baixa tensão. Neste caso a distância dos medidores ao concentrador é menor, caso típico de um condomínio formado por edifícios ou um conjunto de casas em uma mesma rua. A informação trafega pela rede de baixa tensão (PLC) ou pelo ar (sem fio) até um computador utilizando um modem próprio para captar estes dados. Em seguida, ao concentrar todas as informações dos consumidores, o PC envia a informação através da rede pública (Internet) ou privada (WAN) para o servidor.

A principal vantagem de se utilizar a rede elétrica como meio de transmissão é que não há a necessidade de um investimento em uma infra-estrutura que estabeleça um meio físico para transportar as informações.

Entretanto, ao se decidir pela utilização da rede elétrica como meio de comunicação, deve-se analisar previamente a situação das instalações, pois, em alguns casos, circuitos em condições precárias ou topologias desfavoráveis podem atenuar o sinal, degradando o desempenho. A ocupação do espectro de rádio-freqüência, com sérias restrições de banda, também é um fator favorável na escolha da rede de distribuição elétrica para a transmissão de dados com alta taxa de comunicação.

## Capítulo 2: A proposta do Medidor Eletrônico de Consumo

A proposta deste projeto é desenvolver um equipamento eletrônico de medição de consumo de energia com um totalizador eletrônico de 5 bytes, funcionalidades de corte/religação de energia, sensoriamento de fase e comunicação de dados pela rede elétrica. Ao se utilizar a rede elétrica com este fim, evita-se os gastos com a infraestrutura de uma rede entre os medidores e um concentrador local. Para implantar a medição inteligente devemos eleger um local onde será instalado um computador, responsável por concentrar os dados de consumo dos medidores, devendo estar conectado a rede, e conseqüentemente, aos medidores.

Além de se desenvolver medidores com a funcionalidade de comunicação PLC foi necessário projetar um circuito para ser utilizado junto ao *Concentrador*. Esta placa, chamada de *Conversor RS-232 PLC*, realiza a interface entre um PC convencional e a rede elétrica. Ela recebe os pedidos provenientes do PC, através da porta RS-232, converte para um sinal PLC e faz o acoplamento com a linha de baixa tensão. O medidor correspondente recebe a informação pela rede elétrica e responde ao *Concentrador*. O *Conversor* então é capaz de receber a resposta, converter o sinal PLC e devolver ao computador pela linha serial RS-232.

Assim, o projeto compreende o desenvolvimento de dois módulos: o primeiro, chamado *Medidor*, tem o objetivo de ser instalado junto ao cliente para totalizar o consumo de energia, e o segundo, chamado *Conversor RS-232 PLC*, responsável por realizar a interface entre a saída serial do computador e a rede elétrica. Esses módulos são circuitos que envolvem comunicação serial, circuito para medição de energia, moduladores e demoduladores, entre outros, e são gerenciados por circuitos integrados denominados de microcontroladores.

O projeto também prevê o desenvolvimento dos firmwares a serem executados pelo microcontrolador PIC16F88 para o desempenho das funcionalidades do *Medidor* e do *Conversor*. Além disso, para testar o funcionamento das duas placas, foi desenvolvido um programa, em linguagem C, para ser executado em Windows. Este software é responsável por simular o funcionamento do *Concentrador* e permite testar a funcionalidades do medidor desenvolvido.

## 2.1 Diagrama de Blocos do Sistema

Para que fosse possível validar o funcionamento do *Medidor*, do *Conversor* e do software de teste do *Concentrador* foi necessário criar um ambiente para testar a comunicação. Esta estrutura foi montada no laboratório LASPI /UFRJ, utilizando a instalação elétrica local para conectar os equipamentos. Em uma tomada foi conectado o *Medidor* e, em um outro ponto mais distante, foi conectada a placa *Conversor* junto ao *Concentrador*, como mostra a figura 2.

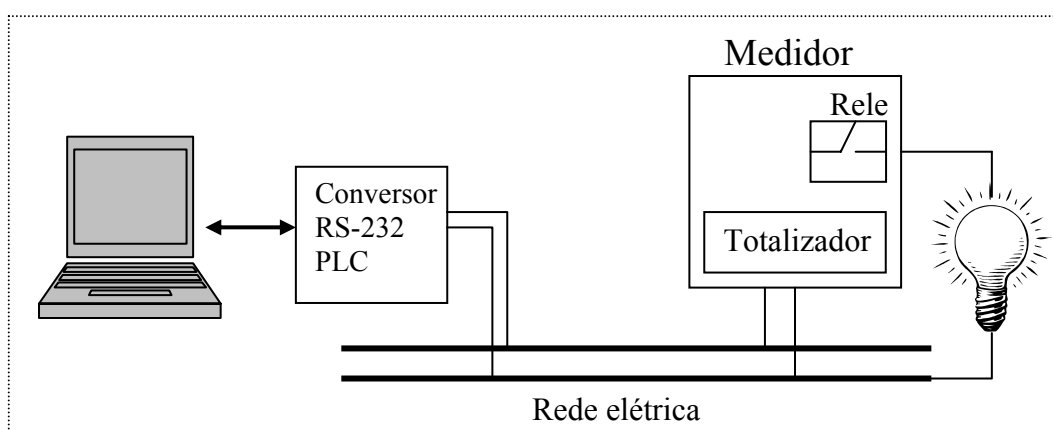


Figura 2 – Conexão Conversor RS-232 PLC, Medidor, Concentrador e rede elétrica.

No teste de validação do funcionamento do sistema é requisitado, repetidas vezes, ao circuito medidor que envie as informações do totalizador, checando no monitor a coerência do valor de consumo. Para gerar um consumo de energia e fazer com que o contador seja incrementado será necessário conectar uma carga ao medidor. A medição utiliza um resistor *shunt*,  $R_s$ , como mostrado na figura 3.

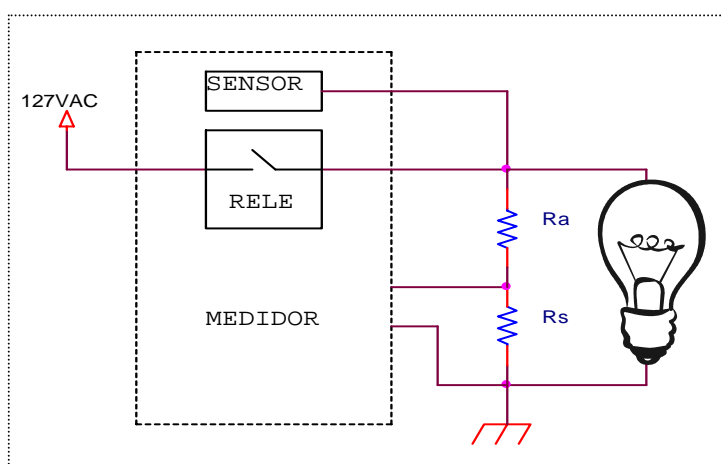


Figura 3 – Conexão do resistor *shunt* junto ao *Medidor*.

Para simular uma carga de valor elevado é utilizado o divisor resistivo formado por  $R_a$  e  $R_s$  (figura 3). Neste circuito, o consumo do cliente é escalado e está representado somente por  $R_a+R_s$ . Utilizando um resistor  $R_s$  proporcionalmente maior é possível verificar o funcionamento do circuito de medição para correntes mais elevadas. Para efeito dos testes, o consumo da lâmpada não será considerado, permanecendo apenas como uma indicação luminosa do fornecimento.

Além disso, para validar a funcionalidades de corte/religação remotos será utilizado um relé de estado sólido para cortar o fornecimento de energia. Para verificar a presença da fase, a entrada deste sensor é conectada à saída do relé. Através do programa de teste do *Concentrador* são enviados comandos ao *Medidor* para cortar e verificar a situação do fornecimento.

## 2.2 Programa Teste *Concentrador*

O programa de teste do *Concentrador* envia um conjunto de caracteres pela porta serial do PC, quando requisitado através do teclado, e em seguida apresenta no monitor a resposta ao comando. Este programa foi escrito com o objetivo de interagir com o medidor eletrônico segundo um protocolo pré-definido, que será apresentado neste trabalho. O software depende de um operador para selecionar a opção desejada e assim definir o momento em que o pedido será transmitido na rede elétrica. A figura 4 mostra o programa com suas opções de teste.

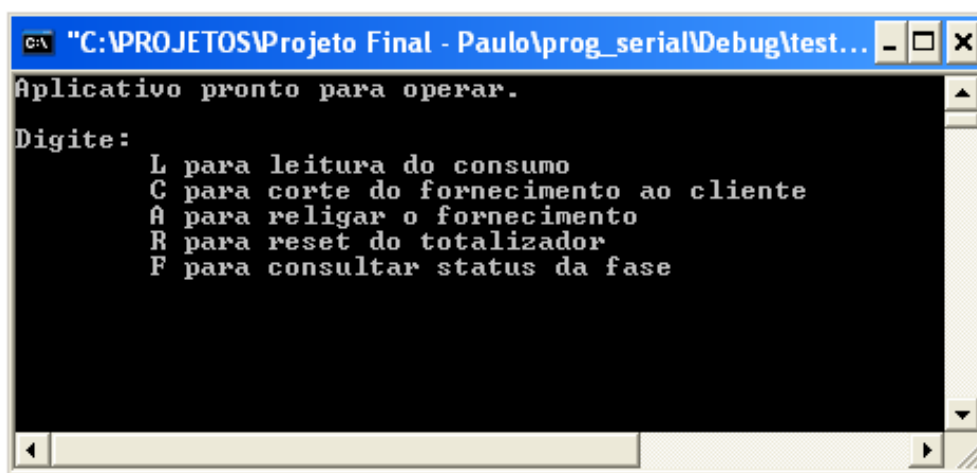


Figura 4 – Aplicativo para testar as funcionalidades do medidor.

Ao entrar com a opção, o programa envia o pedido, aguarda uma resposta do medidor e, em seguida, solicita uma confirmação desta resposta novamente ao medidor, esperando que este a valide. Desta forma, busca-se diminuir os erros nos comandos enviados pelo *Concentrador* ao *Medidor*, pois a rede elétrica é um meio físico suscetível a interferências eletromagnéticas que podem corromper os dados trafegados.

## 2.3 Medidor de energia elétrica

Como mencionado anteriormente, será desenvolvido um medidor de energia elétrica baseado em uma comunicação PLC. Este circuito utiliza o microcontrolador PIC16F88 para agregar as funcionalidades já mencionadas e possui três interfaces que estarão conectadas ao controlador interno: a interface de medição de energia elétrica, a de comunicação com a rede elétrica e a de corte do fornecimento, religação e presença de fase.

Para realizar a medição, será desenvolvido um circuito para aferir o consumo de energia e converter esta informação em um conjunto de pulsos. Estes pulsos serão enviados ao controlador que é capaz de totalizar e armazenar esta informação em uma memória não volátil. O controlador é responsável por seguir um protocolo através de uma comunicação serial pela rede elétrica. Este protocolo será definido neste trabalho e prevê todas as funcionalidades do sistema.

Para implementar a comunicação serial foram desenvolvidas rotinas em *Assembly* que utilizam um hardware interno ao microcontrolador, chamado de USART (Universal Sincronous Assincronous Receiver Transmitter). Este módulo é responsável por enviar de forma serial a informação, segundo uma configuração pré-estabelecida. Os sinais de TX e RX devem então ser conectados ao circuito do modem PLC. A figura 5 mostra o diagrama de blocos do *Medidor* e suas funcionalidades.

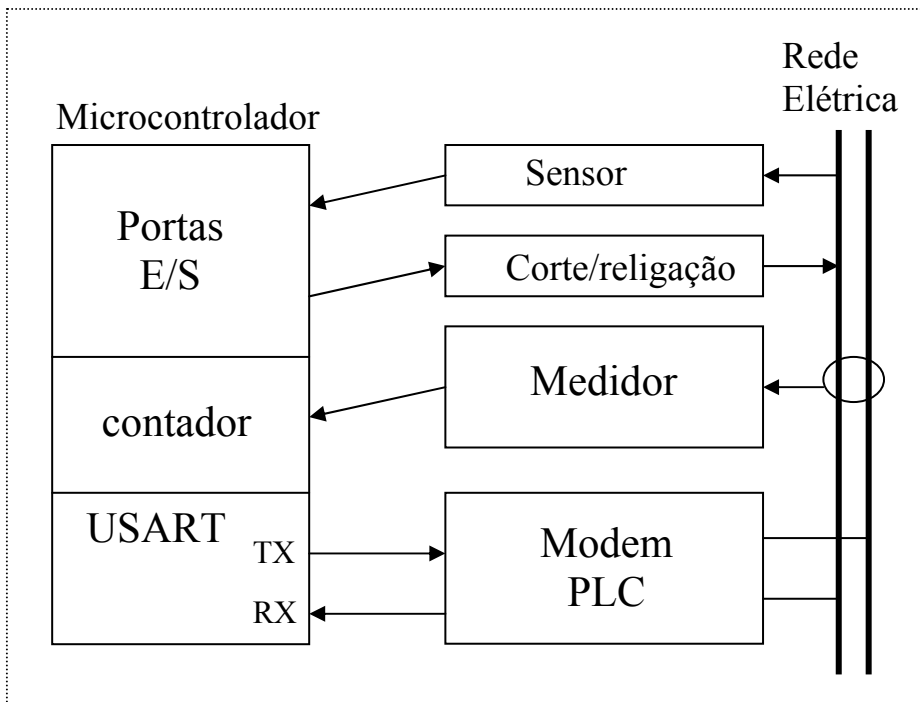


Figura 5 – Diagrama de blocos do medidor de energia e suas funcionalidades.

## 2.4 Conversor RS-232 PLC

Além do Medidor de energia será desenvolvida uma placa chamada de *Conversor RS-232 PLC*, que tem como objetivo realizar a interface entre o PC, executando o programa de teste do *Concentrador*, e a rede elétrica, onde estão conectados os demais medidores. Para se comunicar com essas duas frentes, este circuito é capaz de multiplexar os sinais do modem PLC e da porta RS-232. A figura 7 mostra a placa conversora conectada aos dois pontos.

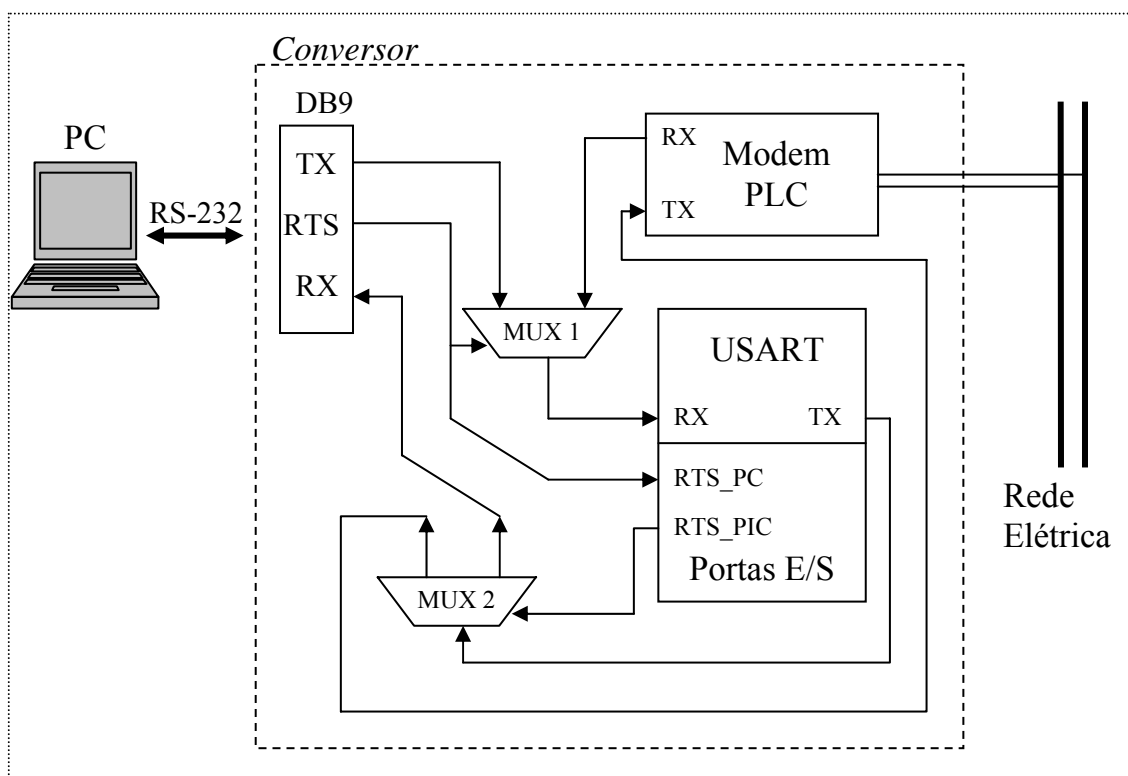


Figura 6 – Conexão Conversor RS-232 PLC ao Concentrador

Para transmitir uma informação para a rede elétrica, o programa do computador deve trocar o nível lógico do sinal RTS comutando o *mux 1* para que o microcontrolador receba no seu pino RX a informação proveniente do pino TX da porta serial do PC. O sinal de RTS do PC também é conectado a uma porta de entrada/ saída do PIC para sinalizar a requisição do PC. Através do sinal RTS\_PC, o controlador comanda o *mux 2* encaminhando a informação recebida para a rede elétrica.



## Capítulo 3: O projeto do sistema

Esta seção tem o objetivo de descrever o funcionamento e projeto do sistema automático de medição de energia desenvolvido. Na primeira parte será calculado o circuito para tarifação de consumo e sua interface para o sistema controlador. Na segunda parte, o microcontrolador será projetado. Este circuito é responsável por gerenciar o protocolo de comunicação serial, agregar funcionalidades ao medidor e modular o sinal de transmissão. Em seguida, serão desenvolvidos os programas. Na quarta parte, os circuitos para comunicação PLC serão projetados.

### 3.1 O circuito medidor

O circuito medidor utiliza o chip ADE7757 [1] da *Analog Devices*, que foi escolhido por ser um medidor de watt-hora para sistemas monofásicos de baixo custo e por permitir uma precisão comparável aos medidores eletromecânicos atuais. Além disso, o integrado possui dois conversores AD (analógico-digital) para a conversão de voltagem e corrente e uma saída de pulso para realizar a interface com o microcontrolador. O fabricante ainda disponibilizou uma descrição detalhada de uma aplicação para medidores de baixo custo [2] (*AN-679 application note*) em que especifica detalhadamente como se realiza o projeto e quais os cuidados devem ser tomados. Quando esta documentação é estudada em conjunto com o manual do dispositivo [3] (*ADE7757 datasheet*) são encontradas todas as informações necessárias para se realizar o projeto do medidor. O esquema do medidor é mostrado na figura 7.

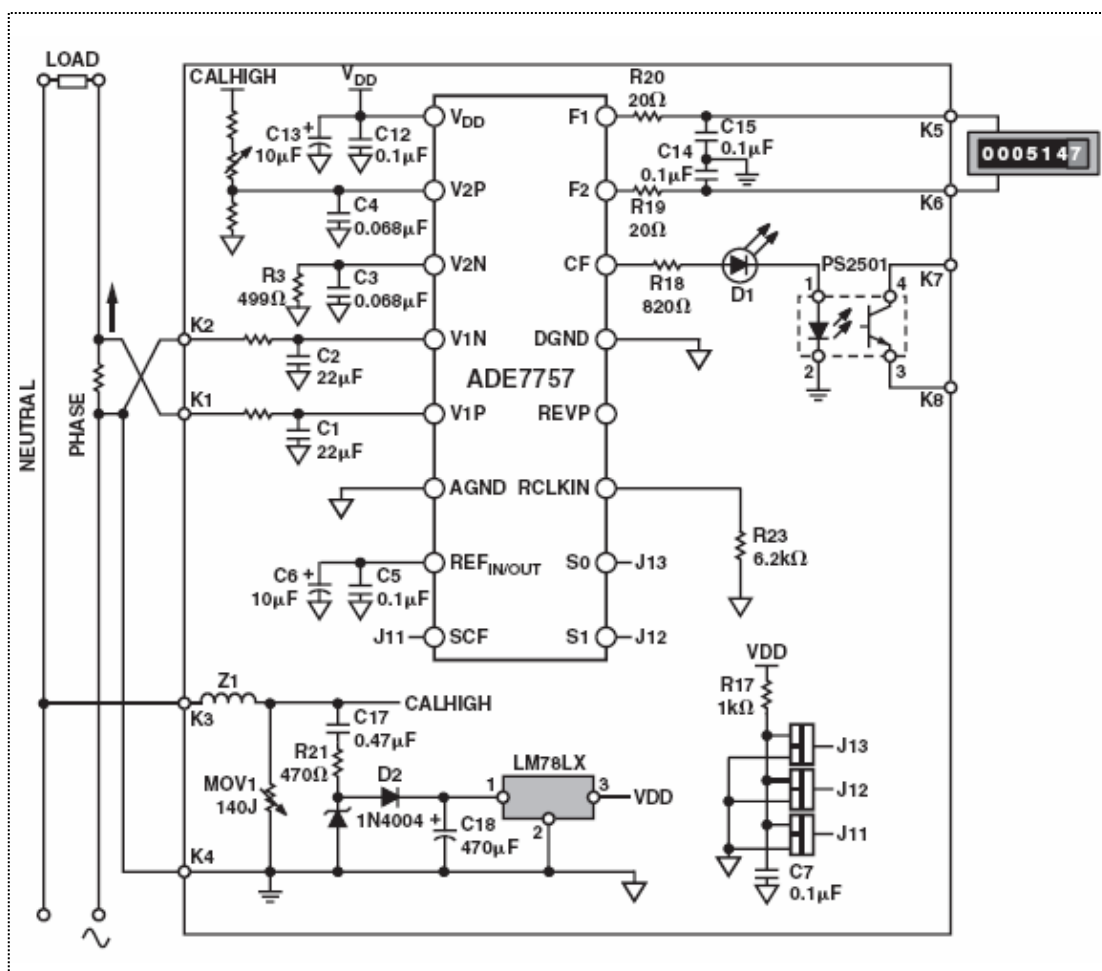


Figura 7 – Esquema elétrico do medidor monofásico.

O integrado possui internamente dois amplificadores diferenciais conectados a dois conversores AD de 16 bits, que estão destinados a medir os valores de tensão e corrente. Em seguida, os dados são encaminhados para um bloco de processamento digital de sinal em que são realizadas a filtragem, a correção de fase e a multiplicação dos sinais. A informação digital de consumo é então convertida em frequência para ser enviada ao microcontrolador. A figura 8 mostra o diagrama de blocos do circuito integrado para medição de watt-hora.

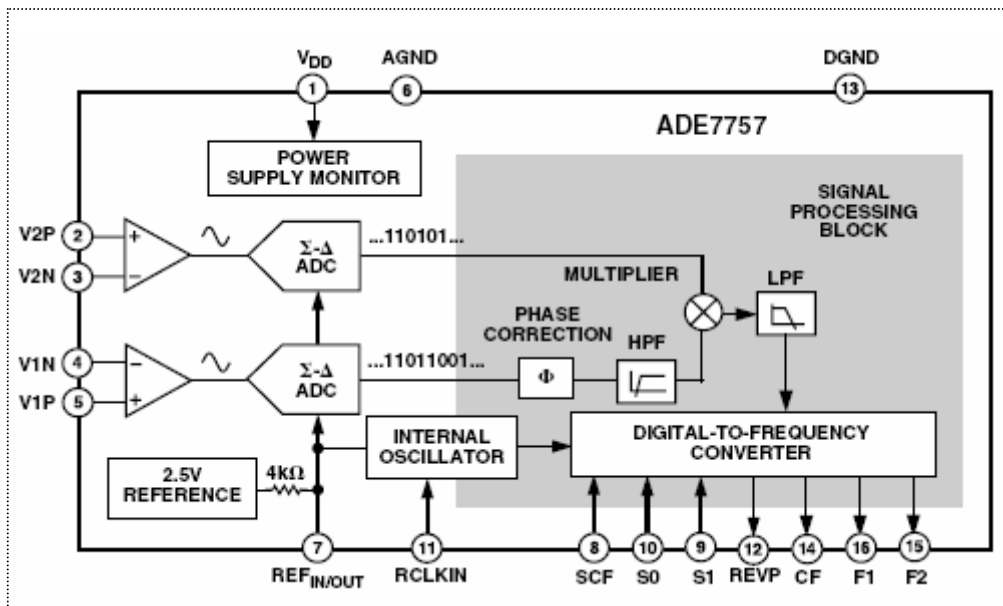


Figura 8 – Diagrama de blocos do circuito integrado ADE7757.

Para realizar a amostragem da tensão da linha é utilizada uma rede resistiva com o objetivo de atenuar essa tensão para uma ordem de dezenas de milivolts e entrar com esta informação no amplificador diferencial. A figura 9 mostra o esquema da rede resistiva.

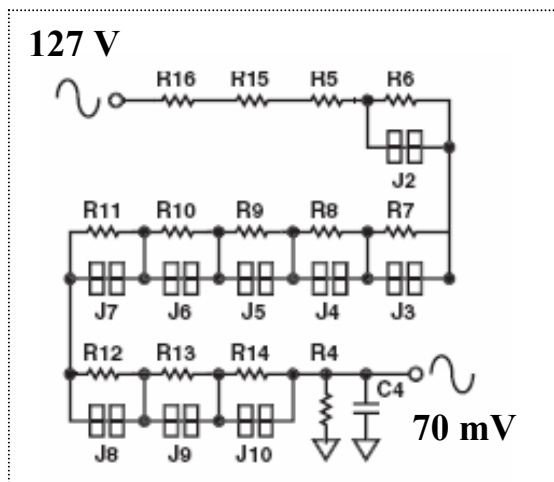


Figura 9 – Rede de atenuação para realizar a amostragem da tensão de linha.

A atenuação da tensão é obtida através de um circuito divisor resistivo. A associação série dos resistores define uma corrente entre a fase e o neutro, que ao passar pela resistência R4 gera uma tensão  $V_{R4}$  proporcional àquela presente na linha. Esta rede pode ser calculada para permitir uma calibração na tensão de saída. Isto ocorre porque o valor de resistência equivalente associado a R4 pode diminuir quando conectamos os *jumpers* da rede resistiva, colocando seus resistores em curto.

Ao se calcular os nove resistores começando por H6 e terminando por R14 (figura 9), cada um com valor igual à metade de seu predecessor, a tensão VR4 poderá ser calibrada com uma precisão definida pelo menor resistor da rede. Ao se visualizar os nove resistores como um sistema binário ligado/desligado, a tensão VR4 do caso real poderá ser ajustada, entre um valor máximo em 000000000, representando todos os resistores em curto, e um valor mínimo em 111111111, quando todos estiverem associados.

Com isso, a tensão VR4 é inserida na entrada V2P do amplificador diferencial do canal V2. A entrada V2N deve ser conectada ao terra do circuito. A figura 10 mostra como deve ser a conexão entre a rede resistiva e a entrada do canal V2. Deve-se notar que a rede resistiva está representada pelos resistores RA, RB e RF. É importante mencionar que, segundo o manual do fabricante, este canal suporta uma tensão de entrada em V2P máxima de 165mV de pico, positiva ou negativa, e um nível DC com máximo de 25mV, que devem ser considerados durante o projeto.

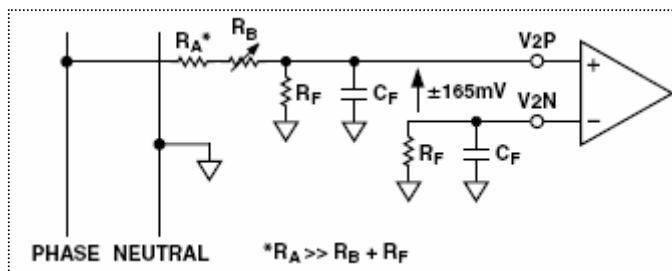


Figura 10 – Esquema de conexão entre a rede resistiva e a linha para o canal V2.

Para medir a corrente fornecida um resistor shunt é utilizado em série com linha, permitindo a conversão da corrente em uma tensão proporcional. A tensão máxima AC na entrada do canal V1, definida pelo manual do fabricante é de  $\pm 30\text{mV}$  de pico, com um nível DC máximo de  $\pm 6,25\text{mV}$ . A figura 11 mostra o esquema de conexão do resistor shunt e a linha.

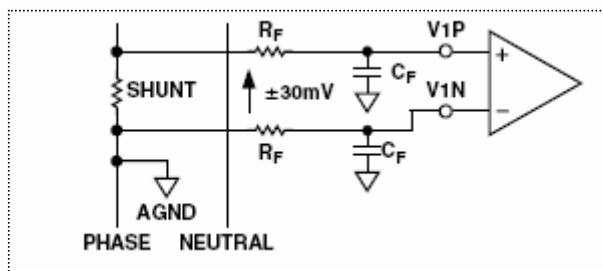


Figura 11 – Esquema de conexão entre a linha e o resistor shunt para o canal V1.

O resistor shunt é dimensionado para maximizar a faixa dinâmica no canal V1. Entretanto, o valor do resistor não pode ser alto e a potência dissipada elevada, pois esta será uma perda intrínseca ao método de medição do equipamento. Além disso, a alta dissipação de potência pode dificultar o projeto na medida em que, ao aquecer, há variação no valor da resistência. Por este motivo deve ser escolhido um shunt produzido com uma liga de baixo coeficiente de temperatura como, por exemplo, a *Manganina*.

Esse método de medição é interessante por ser puramente resistivo e permitir um baixo custo de implementação, evitando a utilização de componentes de custo mais elevado, como transformadores de tensão e corrente. Além disso, o sistema agrega uma capacidade de calibração através da rede resistiva. Um outro ponto é que resistores permitem uma melhor repetibilidade no momento da fabricação, fato importante quando se necessita de uma produção em larga escala.

Entretanto, o sistema resistivo está referenciado a um ponto da comum da rede, fase ou neutro, tornando todo o circuito eletricamente conectado a linha de baixa tensão.

Embora o desenvolvimento de um circuito para medir o consumo de energia envolva a proposta principal deste trabalho, o coração do projeto é sustentado por uma inteligência local que controla todas as funcionalidades do medidor.

Com isso, surge a necessidade de se utilizar um acoplador ótico<sup>1</sup> para enviar para a inteligência local o conjunto de pulsos referente ao consumo, uma vez que o microcontrolador encontra-se isolado da linha através de uma alimentação por um transformador. A figura 12 mostra esta situação.

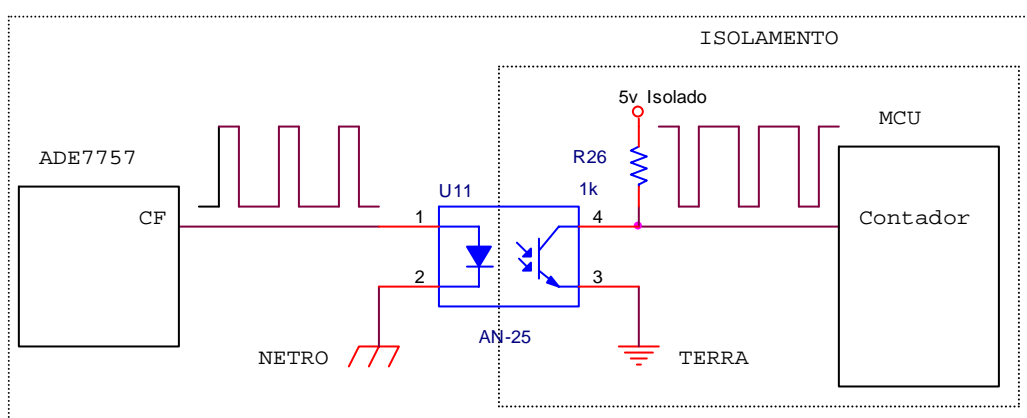


Figura 12 – Isolamento entre as alimentações do medidor e do controlador.

<sup>1</sup> Explicação do funcionamento do optoacoplador na seção 3.2.2 (figura 19).

O circuito do ADE7757 é alimentado pela própria rede elétrica.. Como o consumo é muito baixo, o fabricante sugere a utilização de uma fonte baseada em um divisor capacitivo, como mostra a figura 13.

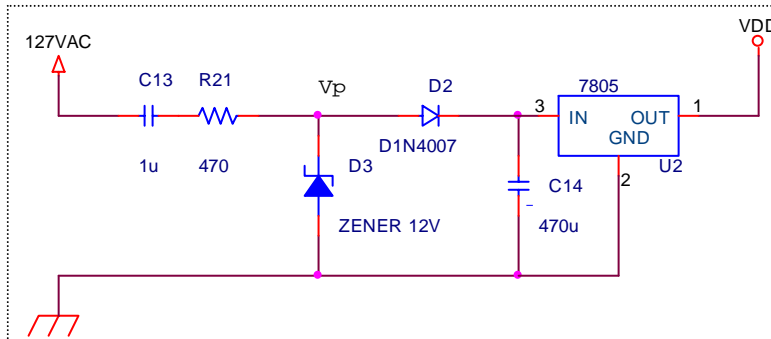


Figura 13 – Fonte de alimentação para o circuito ADE7757.

A associação de C13 e R21 causam uma redução na voltagem da rede, limitada em 12V no ponto Vp, pelo diodo D3. O regulador 7805 converte esta tensão em 5V para alimentar o ADE7757.

### 3.1.1 Projeto do circuito

O ADE7757 produz uma frequência base de saída para um totalizador eletromecânico, que é proporcional ao produto das duas tensões referentes ao consumo de energia, V1 e V2. A amostragem do valor AC da linha e da corrente fornecida são estas tensões V1 e V2 e se relacionam segundo a equação 1.

$$Freq = \frac{515.84 \times V1_{rms} \times V2_{rms} \times F_{1-4}}{V_{ref}^2}$$

Equação 1 – Relação entre as frequências F1 e F2 e as tensões V1 e V2.

Nesta equação *Freq* é a frequência de saída em hertz nos pinos F1 e F2. *V1<sub>rms</sub>* é a tensão diferencial em volt rms do canal V1 e *V2<sub>rms</sub>* é a tensão rms do canal V2. *V<sub>REF</sub>* é a tensão de referência de 2,5V, no pino V<sub>REF</sub> IN/OUT, fornecida pelo circuito do regulador interno. Para se obter uma maior acuidade e menor variação com a temperatura, pode-se utilizar um circuito externo para gerar esta referência. Entretanto, por simplicidade, neste projeto utilizamos o regulador interno. *F<sub>1-4</sub>* é uma das 4 possíveis frequências selecionadas pelas entradas lógicas S0 e S1 mostrada na tabela 1.

S1	S0	OSC Relation <sup>1</sup>	F <sub>1-4</sub> at nominal OSC(Hz) <sup>2</sup>
0	0	OSC/2 <sup>19</sup>	0.86
0	1	OSC/2 <sup>18</sup>	1.72
1	0	OSC/2 <sup>17</sup>	3.44
1	1	OSC/2 <sup>16</sup>	6.86

Tabela 1 – Seleção de frequências  $F_{1-4}$ , considerando oscilador a 450kHz.

Estas frequências são geradas a partir de um oscilador interno do ADE7757 em 450 kHz, quando um resistor de valor 6,2 k $\Omega$  é utilizado na entrada RCLKIN. É importante lembrar que este resistor deve possuir baixa tolerância e baixa variação com a temperatura, para garantir estabilidade e linearidade de operação. Neste projeto foi utilizado um resistor de 6,2 k $\Omega$  e 0.1% de tolerância. A figura 14 mostra a curva de variação da frequência do oscilador local em função do valor de RCLKIN.

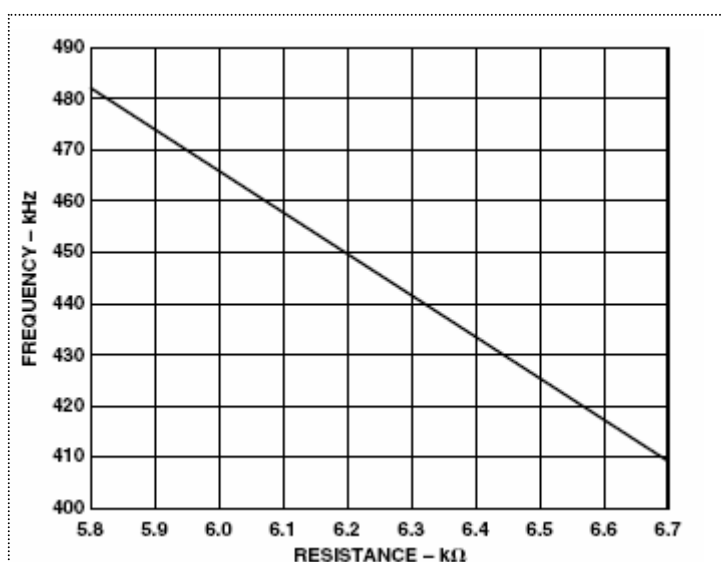


Figura 14 – Variação do oscilador em função de RCLKIN.

Os pinos F1 e F2 do ADE7757 são preparados para serem conectados a um totalizador eletromecânico que normalmente é o mostrador encontrado nos medidores analógicos. A cada 100 pulsos nestes pinos o totalizador deverá incrementar 1 kWh. Para efeito de simplicidade este mostrador analógico não será utilizado, pois o microcontrolador já possui a função de totalizar e armazenar o consumo. O integrado disponibiliza também uma saída no pino CF, que possui uma constante de valor mais elevado para ser conectado a controladores e pode ser ajustada de acordo com a tabela 2.

SCF	S1	S0	CF Max for AC Signals (Hz)*
1	0	0	$128 \times F1, F2 = 22.4$
0	0	0	$64 \times F1, F2 = 11.2$
1	0	1	$64 \times F1, F2 = 22.4$
0	0	1	$32 \times F1, F2 = 11.2$
1	1	0	$32 \times F1, F2 = 22.4$
0	1	0	$16 \times F1, F2 = 11.2$
1	1	1	$16 \times F1, F2 = 22.4$
0	1	1	$2048 \times F1, F2 = 2.867 \text{ kHz}$

Tabela 2 – Ajuste da frequência de saída para o microcontrolador.

A informação de consumo será verificada através de um pedido de leitura feito pelo *Concentrador* via PLC. O valor do totalizador de consumo será mostrado na tela do software de teste que estará sendo executado em um computador pessoal conectado a placa *Conversor RS-232 PLC*.

Para se realizar o projeto do medidor será considerado um sistema monofásico em uma rede de 127V, fornecendo uma corrente máxima de 70A. O valor do resistor shunt será calculado para que não seja ultrapassado o limite de 30mV na entrada do canal V1, como visto anteriormente. Com isso, o fabricante sugere que a tensão máxima na entrada deste canal seja próxima a 20mV, permitindo que haja uma margem de segurança. O valor de  $300 \mu\Omega$  foi escolhido por gerar uma tensão de 21mV em 70A. As especificações do projeto são mostradas na tabela 3.

Especificações	
Tensão da linha	127 V
Corrente Máxima	70 A
Constante do totalizador	100 imp/ kWh
Resistor Shunt	$300 \mu\Omega$

Tabela 3 – Especificações do projeto.

O medidor ADE7757 garante uma acuidade melhor que 0.1% em uma faixa dinâmica de 1:400. Isto significa que o projeto deve ser feito utilizando-se de uma corrente base  $I_b$ , em que 70A corresponda o nível de corrente máximo para a faixa dinâmica. Os cálculos do projeto da rede resistiva encontram-se ao final deste trabalho no Apêndice 1. O esquemático completo do circuito de medição projetado encontra-se no Anexo 2, página 1, da placa *Medidor*.



### 3.2 Microcontrolador

A opção de se utilizar dispositivos programáveis, como microcontroladores ou microprocessadores, em um projeto, vem da necessidade de se controlar e gerenciar a funcionalidades do mesmo. A vantagem inerente aos microcontroladores sobre os microprocessadores é que aqueles são circuitos simples de serem utilizados e integram memória de programa, memória volátil e não-volátil, CPU, portas de entrada e saída, contadores e temporizadores e módulos para comunicação síncrona e assíncrona em um único chip. Dessa forma, para que a CPU funcione e execute a lógica de estados, não há necessidade de se adicionar qualquer estrutura externa, exceto um cristal oscilador, uma vez que todos os circuitos periféricos já estão contidos dentro da mesma pastilha de silício. Essa característica é muito importante porque agrega simplicidade e robustez ao projeto, pois todas as estruturas já se encontram em um único componente, diminuindo a probabilidade de problemas com funcionamento incorreto de algum circuito periférico.

Um outro ponto importante é que, ao se optar por trabalhar com essa solução, deve-se ter em mente que o valor intelectual do projeto encontra-se, em sua maior parte, no código fonte, em detrimento do projeto do circuito.

A figura 15 mostra a pinagem do microcontrolador PIC16F88, da *Microchip*. Pode-se notar o reduzido número de pinos.

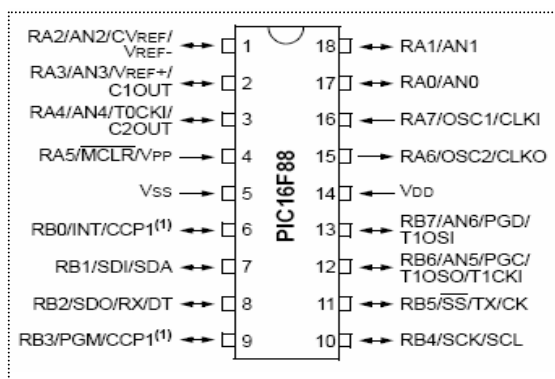


Figura 15 – Diagrama de pinos do microcontrolador PIC16F88

Essa inteligência local é utilizada para gerenciar o medidor de energia e seus periféricos, permitindo agregar funcionalidades como armazenar o totalizador de consumo em memória não volátil, se comunicar com uma unidade concentradora através de um protocolo predefinido, cortar ou religar o fornecimento de energia quando requisitado e detectar falhas na entrega da energia. Para satisfazer esse requisito, foi

utilizado o microcontrolador PIC16F88[3], da *Microchip Technology Inc.*[4], chamado de PIC. Esse controlador foi escolhido por possuir os periféricos necessários e por ser um dispositivo de fácil programação e utilização. As características do PIC escolhido que atendem as necessidades do projeto estão descritas na tabela 4.

Características
Oscilador de até 20MHz
USART para comunicação serial
EEPROM ( 256 bytes )
Memória FLASH de programa
Contadores/temporizadores

Tabela 4 – Característica do PIC16F88 necessárias a este projeto

### 3.2.1 Funcionamento do microcontrolador

O PIC é uma máquina seqüencial que executa uma instrução de programa em um ciclo de *clock*. O tempo do relógio é definido a partir da frequência de um cristal conectado aos pinos OSC1 e OSC2 do integrado. Um cristal de 20MHz foi escolhido para permitir o máximo de instruções por segundo. Esta condição é necessária, pois o próprio controlador será utilizado para modular o sinal de comunicação, como será visto mais a frente, na seção 3.4, o que permite atingir as frequências desejadas na comunicação RF. O circuito do microcontrolador com o oscilador pode ser visualizado na figura 16.

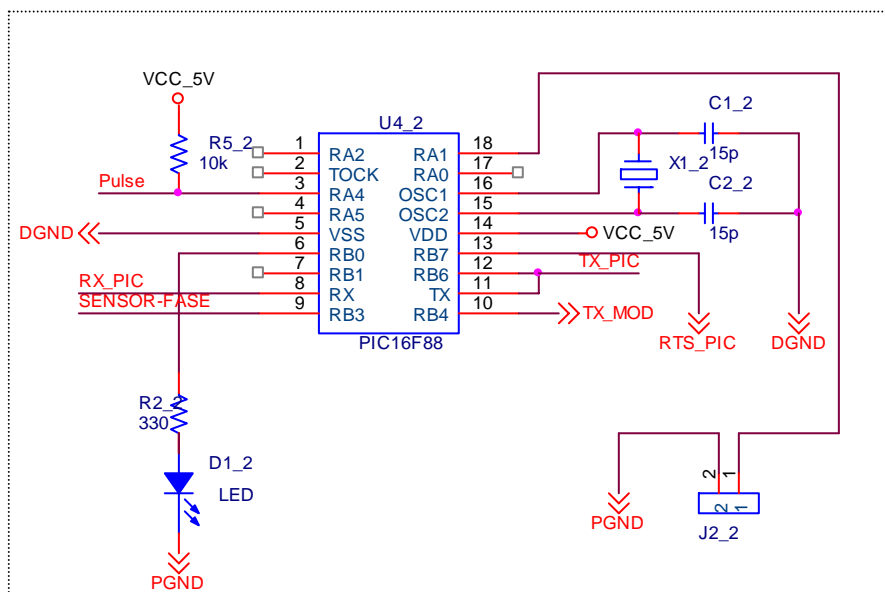


Figura 16 – Circuito para esquemático de funcionamento do microcontrolador.

### 3.2.2 O circuito de corte, religação e sensoriamento

Para cortar e religar o fornecimento de energia, bem como sentir a presença da fase, foram utilizadas as portas bidirecionais do PIC. Através de uma configuração dos registradores de funções especiais os pinos do microcontrolador foram selecionados como entrada ou saída de sinais digitais. O dispositivo possui duas portas de 8 bits com dois registradores relacionados a estas portas.

A porta RA1, pino 18, foi selecionada como saída para o controlar o relé, que fecha sua chave com 5V, ligando a energia, e a corta com 0V. Este relé deve ser conectado em série com a malha de fornecimento e neutro como mostrado na figura 17.

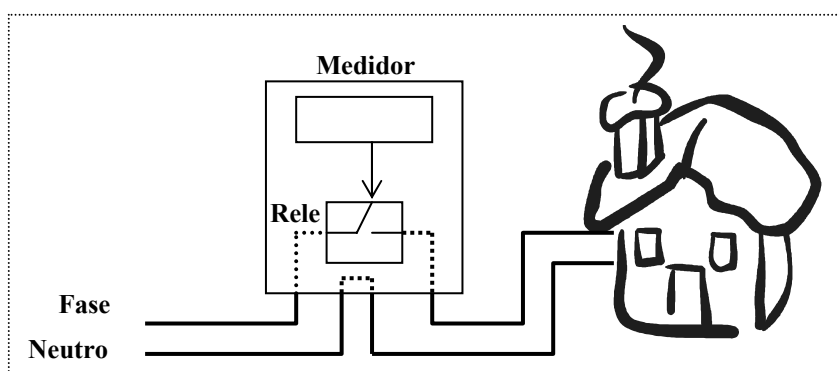


Figura 17 – Conexão série do relé de corte e religação.

A opção de um relé de estado sólido da Novus Produtos Eletrônicos LTDA [5] foi feita por este ser um elemento de simples utilização. O dispositivo já possui internamente um sistema lógico, isolado eletricamente da chave de comutação. Assim, não há necessidade de agregar componentes externos, podendo-se conectar a saída do PIC diretamente ao relé. O firmware grava o estado do fornecimento internamente em uma memória não-volátil chamada de *EEPROM*, disponível internamente no PIC. Com isso, caso a alimentação seja interrompida o circuito reestabelece o estado anterior ao acessar esta memória. A figura 18 permite visualizar a foto do relé de estado sólido.

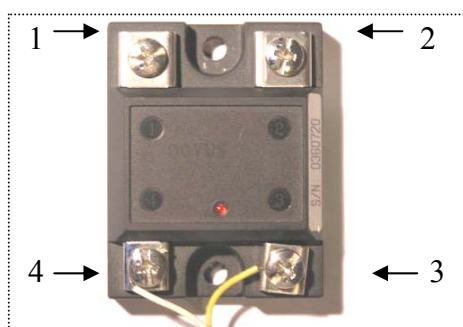


Figura 18 – Foto do relé de estado sólido

Para instalar o relé no medidor conectamos o pino 3 ao terra e o pino 4 a saída do microcontrolador, pino 18. Enquanto o PIC mantiver o pino 4 em 5V o relé estará fechado e permitirá a passagem de corrente entre os pinos 1 e 2. Quando o pino 4 estiver com 0V o dispositivo interrompe a passagem de corrente entre os pinos 1 e 2.

Para desenvolver um sensor de presença de fase foi utilizado um optoacoplador. Este elemento é composto por um led e um fototransistor em um circuito integrado de quatro ou seis pinos. Apesar de ambos se encontrarem no mesmo chip, estes dois componentes estão áreas da pastilha que são isoladas eletricamente. O funcionamento desse circuito, mostrado na figura 20, é simples: quando o led está aceso, o fototransistor entra em funcionamento e sai da sua região de corte para a região de saturação, permitindo que circule uma corrente do pino 4 para o 3. Quando o led está apagado o pino 4 encontra-se em alta impedância.

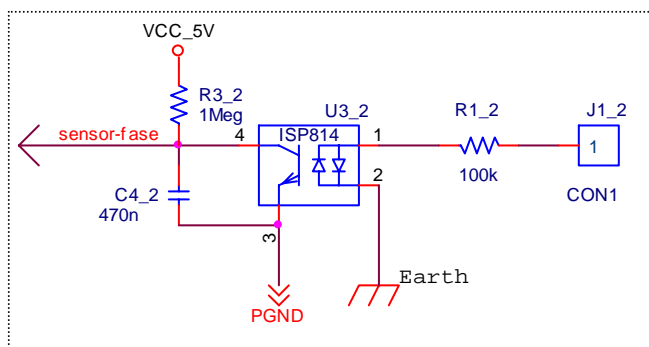


Figura 19 – Circuito para sensoriamento da fase

A referência aparece na figura 20 como *Earth*, pois já vem do neutro da rede elétrica conectada na placa do medidor. Para sentir a fase desejada basta ligá-la ao conector *J1\_2*, em uma malha composta por um resistor de 100kΩ e dois leds internos ao circuito, até retornar ao neutro. Na medida em que há tensão de 127VAC da rede, em *J1\_2* existe uma corrente ac próxima a 1mA, acendendo um led no semi-ciclo positivo e o outro no negativo. Quando um dos leds está aceso, a impedância vista entre os pinos 4 e 3 é muito pequena e a saída do circuito *sensor de fase* está em estado baixo, próxima a 0V. Quando não houver tensão da rede, o transistor estará cortado e a saída do circuito *sensor de fase* estará em estado alto, próxima a 5 volts.

### 3.2.3 O totalizador com memória não volátil

O totalizador de consumo é implementado por firmware e utiliza um contador interno, chamado de *timer 0 (TMRO)*. O PIC permite configurar este contador para ser incrementado quando ocorrer uma transição positiva de um sinal de uma fonte externa conectada ao pino 3 (*TOCK*).

O número de transições positivas é armazenada em um registrador da memória RAM com tamanho de 40 bits. Para que o valor do consumo não seja perdido, caso a alimentação do circuito seja interrompida, o firmware grava o conteúdo do registrador de cinco bytes na memória *EEPROM* interna, a cada novo incremento de *TMRO*.

### 3.2.4 O protocolo de comunicação

Para tornar possível trocar informações entre o microcontrolador e o concentrador, foi necessário criar um protocolo específico. O protocolo desenvolvido consiste no envio de mensagens formadas por caracteres ASCII.

Cada pacote deve conter caracteres de início de bloco, bytes de endereço, caractere correspondente ao tipo de requisição e bytes que carregam a informação, como o conteúdo do totalizador. A tabela 5 mostra os caracteres ASCII utilizados, seus significados e o valor decimal correspondente.

<b>Caractere</b>	<b>ASCII</b>	<b>Sinificado</b>	<b>Valor</b>
BEGIN	@	início de bloco	64
END1	1	endereço 1	49
END2	2	endereço 2	50
CMD1	L	operação leitura	112
CMD1, CMD2	C, T	operação corte	0
CMD1, CMD2	A, C	operação religação	38
CMD1, CMD2	R, E	operação reset	36
CMD1, CMD2	F, A	operação estado fase	35
ACK1	?	requisição de confirmação	63
ACK2	!	envio de confirmação	2
ACK3	O, K	execução de operação	0
B0, B1, B2, B3, B4	---	bytes B0 a B4 totalizador	0 a 255

Tabela 5 – Caracteres utilizados no protocolo de comunicação

Este protocolo prevê cinco tipos diferentes de operações que estão relacionadas às funcionalidades do medidor. Toda mensagem enviada pelo concentrador ao medidor deverá conter três caracteres “@” para indicar o início do pacote. Dessa forma, o controlador pode ser programado para validar o bloco ao encontrar estes três bytes de início. Em seguida, dois bytes de endereço, *END1* e *END2*, deverão ser enviados para identificar o medidor em questão. O próximo byte indicará o comando a ser executado na requisição: ao enviar um *L* deseja-se realizar um pedido de leitura do totalizador, ao enviar um *C* e *T*, deseja-se cortar o fornecimento e ao enviar um *A* e *C*, religá-lo. Para reiniciar o totalizador deve-se enviar um *R* e *E* e para consultar o estado da fase envia-se um *F* e *A*. As tabelas 6 e 7 mostram as seqüências de caracteres utilizados nas operações do medidor.

#	Remetente	Mensagem
M1	Concentrador	@ @ @ 1 2 L
M2	Medidor	@ @ @ 1 2 L B0 B1 B2 B3 B4?
M3	Concentrador	@ @ @ 1 2 L B0 B1 B2 B3 B4 !
M4	Medidor	@ @ @ 1 2 L O K

Tabela 6 – Seqüência de caracteres para operação de leitura

#	Remetente	Mensagem
M1	Concentrador	@ @ @ 1 2 CMD1 CMD2
M2	Medidor	@ @ @ 1 2 CMD1 CMD2 ?
M3	Concentrador	@ @ @ 1 2 CMD1 CMD2 !
M4	Medidor	@ @ @ 1 2 CMD1 CMD2 O K

Tabela 7- Seqüência de caracteres para operação de outros comandos do *Medidor*

O protocolo exige que cada requisição de comando seja seguida de uma confirmação, como pode ser visualizado nas tabelas 6 e 7. Ao receber um conjunto de caracteres que definem uma dada operação, o controlador deve compreender este pedido e em seguida envia uma mensagem, terminada pelo caractere “?”, perguntando se é realmente o que se deseja fazer. Em caso afirmativo o PIC receberá uma segunda mensagem vindo do concentrador contendo o caractere “!”, e, após executar a operação, enviará uma confirmação contendo “O” e “K”.

### 3.2.5 A comunicação serial

Para comunicação entre o medidor e o concentrador foram desenvolvidas rotinas em *Assembly* que utilizam o hardware do microcontrolador dedicado a comunicação serial. Os registradores para funções especiais do PIC permitem configurar a taxa de bits, a opção de paridade, sincronismo e número de bits.

Optou-se por uma taxa de 1200 bits por segundo, por ser a menor que se pode conseguir quando se utiliza oscilador do clock em 20 MHz. A velocidade de comunicação é relevante quando se realiza uma modulação FSK, pois está diretamente relacionada à banda utilizada e quanto mais estreita, maior será sua razão sinal/ruído, SNR. Como neste caso a quantidade de informação por período de tempo não é crítica, esse requisito foi sacrificado em prol de uma menor taxa de erro dos bits transmitidos, BER. A tabela 8 lista as características da comunicação serial deste projeto.

Taxa de bits	1200 bits/s
Bit de paridade	Não
Modo de comunicação	Assíncrona
Time-out entre bytes	100ms
Time-out entre mensagens	500ms

Tabela 8 – características da comunicação serial

## 3.3 Programas

Este projeto é composto por dois firmwares e um software. Um firmware, chamado de *Medidor*, executa o programa no medidor eletrônico implementando o protocolo para comunicação remota pela rede e suas funcionalidades.

O outro firmware, chamado de *Modem*, executa o programa na placa *Conversor RS-232 PLC* e tem como objetivo receber a informação do *Concentrador* e transmití-la na linha, utilizando a técnica PLC. Por fim, o software, chamado de *Teste Concentrador*, tem o objetivo de interagir com o medidor.

### 3.3.1 Simulador e compilador

Ambos os firmware foram desenvolvidos em linguagem *Assembly* utilizando o *PIC Simulator IDE* [6]. Este aplicativo para Windows é um ambiente que integra um

compilador e editor Assembly e permite simular as várias funcionalidades do PIC, como: portas de entrada e saída, valor dos registradores, comunicação serial, gravações em *EEPROM*, timers, e rotinas de interrupção, entre outras.

A grande vantagem em se poder simular os programas está se conseguir se reduzir o tempo gasto com depuração. Não há necessidade de se executar o código no microcontrolador para saber se está bem estruturado. Por exemplo, com o simulador foi possível enviar todos os caracteres do protocolo e ter certeza de que a sequência lógica até a execução da operação estava correta. A figura 20 permite visualizar o ambiente integrado.

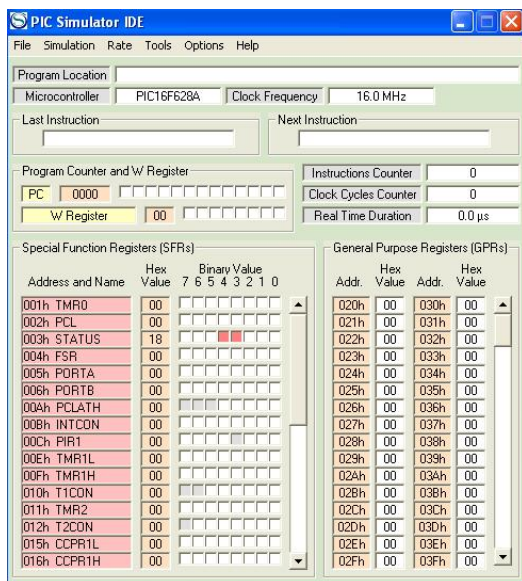


Figura 20 – PIC simulator IDE

O software para o concentrador foi desenvolvido em linguagem C utilizando o *Microsoft Visual C++*, tendo o objetivo de implementar todos os comandos que o medidor deverá responder.

### 3.3.2 Firmware do Medidor

O programa para ser executado no Medidor de Energia foi desenvolvido a partir das especificações do protocolo, das características da porta serial e do totalizador. O firmware configura o microcontrolador para utilizar as portas de entrada e saída, a porta serial e o contador *timer 0*, carregando o totalizador de 40 bits com o valor inicial da *EEPROM*.



Em seguida, o firmware entra na rotina principal em que testa a chegada de um caractere pela porta serial e a mudança no contador do totalizador de consumo, gravando a nova informação em memória não-volátil. O fluxograma das condições iniciais e da rotina principal é mostrado na figura 21.

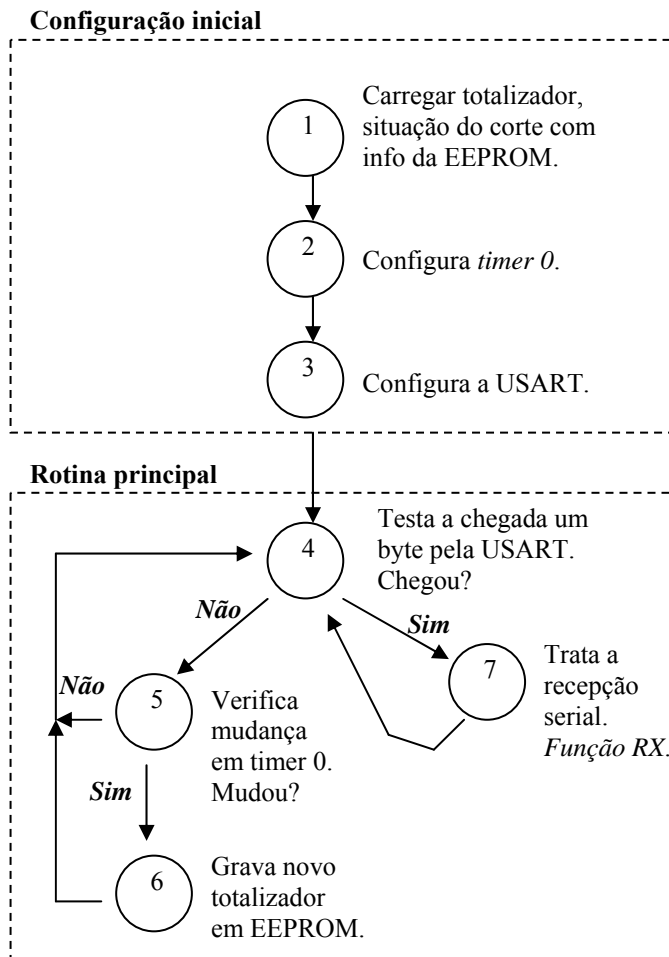


Figura 21 – Fluxograma da rotina principal do firmware Medidor

A rotina de tratamento da recepção serial, chamada de *Função RX*, no estado 7, foi desenvolvida para seguir o protocolo de comunicação. Esta função configura o *timer 1* para ser incrementado internamente pelo clock, utilizando-o para implementar uma saída desta rotina por *time-out*.

Em seguida, testa a chegada do início de bloco, composto por @@@ *END1* *END2*, verificando se *END1* e *END2* correspondem ao endereço do medidor. Confirmando que a mensagem destina-se a ele, o controlador testa o próximo caractere, *CMD*, para enviar uma requisição de confirmação.

Após transmitir o sinal, a função entra em um estado para aguardar a chegada do pedido. Chegando os caracteres que definem o início de bloco o programa testa o próximo byte, caractere de comando, para executar a operação desejada e enviar a resposta da execução do comando. O fluxograma da rotina de recepção e execução dos comandos é apresentado na figura 22.

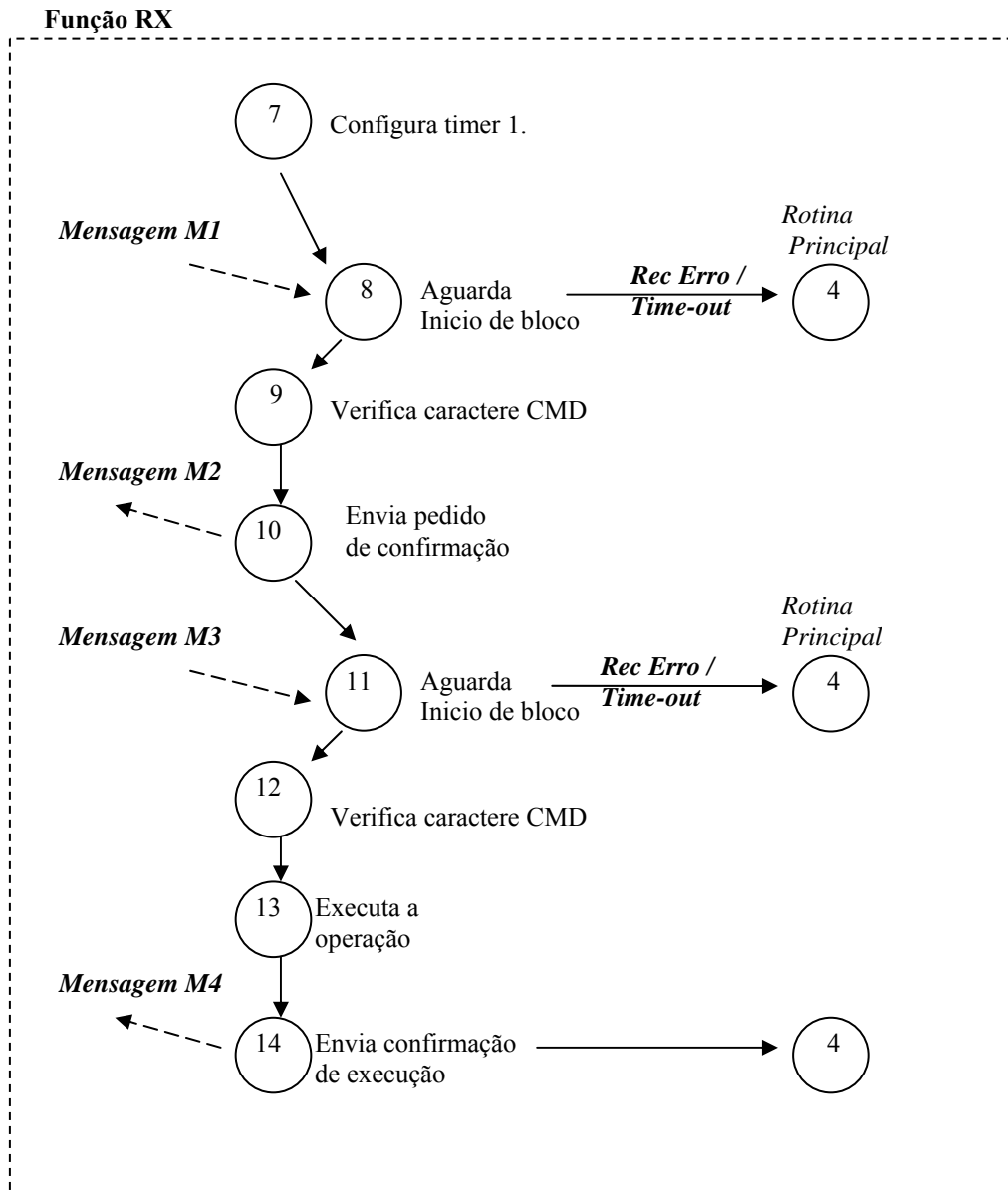


Figura 22 – Fluxograma da *Função RX*

### 3.3.3 Firmware do Conversor RS-232 PLC

O firmware do Conversor RS-232 PLC tem a capacidade de se comunicar tanto com o *Concentrador* como com os demais medidores ligados na rede elétrica, via PLC.

Entretanto, por possuir uma única porta serial, o PIC necessita multiplexar os sinais de Rx e Tx vindo do PC e da rede elétrica.

O estado *default* do Conversor é habilitado para recepção de sinais da rede elétrica. Nessa situação, o MUX1 dirige os dados, de forma contínua, para a entrada Rx do PIC. Se os dados recebidos são válidos, o PIC os transmite para o *Concentrador* via MUX2.

Para realizar uma transmissão, o *Concentrador* comanda o MUX1 através do pino RTS\_PC. Esse mesmo sinal informa o PIC que o sinal serial provém do PC. Ao concluir a recepção, o microcontrolador comanda o MUX2, através do sinal RTS\_PIC, para inserir a informação na rede PLC.

Para multiplexar os sinais foi utilizado o circuito integrado 74HC4053 [7], que possui 3 mux analógicos, dos quais são utilizados apenas dois. A lógica de conexão entre estes sinais e os multiplexadores é mostrada na figura 23.

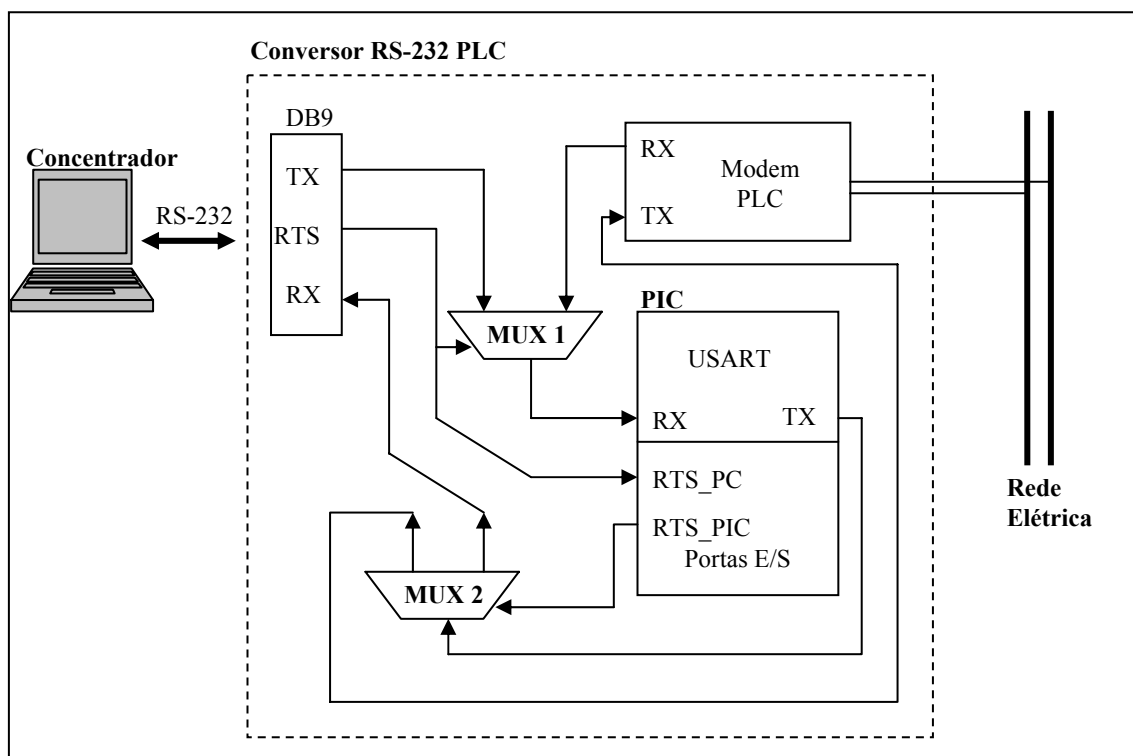


Figura 23 – Conexão entre os sinais do PC e da rede o microcontrolador

Para o funcionamento do *Conversor* o firmware configura a porta serial e entra na rotina principal, em que espera a chegada de um byte na USART. Quando o buffer está cheio o programa é desviado para tratar a recepção.

O PIC aguarda a chegada dos caracteres de início de bloco, verificando se a entrada RTS\_PC está ativa e saindo da rotina por erro ou por *time-out*, caso ultrapasse o tempo previsto para espera. Se houver sucesso nestas etapas o microcontrolador armazena os bytes de chegada internamente e em seguida envia pela porta TX. A figura 24 mostra o fluxograma desta operação.

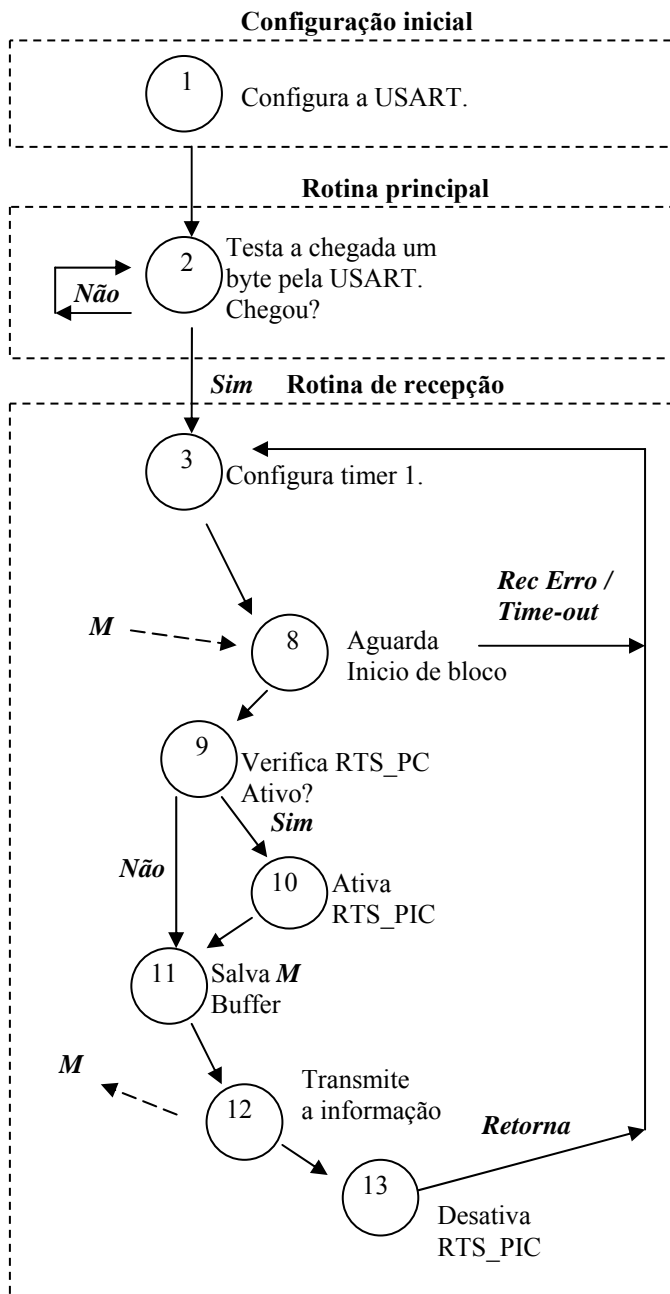


Figura 24 – Fluxograma do programa Conversor RS-232 PLC

### 3.3.4 Software do Concentrador

Foi desenvolvido um software para computador pessoal, em linguagem C, sem interface gráfica, com o objetivo de tornar possível testar todas a operação do medidor eletrônico.

Este programa, chamado de *Teste Concentrador*, inicia com um menu de opções em que se pode escolher a letra correspondente ao comando desejado. Uma vez escolhida a operação, o computador ativa o sinal de RTS, envia o conjunto de caracteres correspondente ao protocolo e, após a transmissão concluída, desliga o sinal de RTS. Ao receber um pedido de confirmação vindo do medidor, o PC envia uma nova mensagem confirmando a operação para, finalmente, receber o ultimo último conjunto de caracteres, confirmar o sucesso e voltar ao menu inicial.

Caso receba alguma mensagem errada, o programa acusa a ocorrência de um erro e em seguida volta ao menu principal. A figura 25 mostra o fluxograma desse programa.

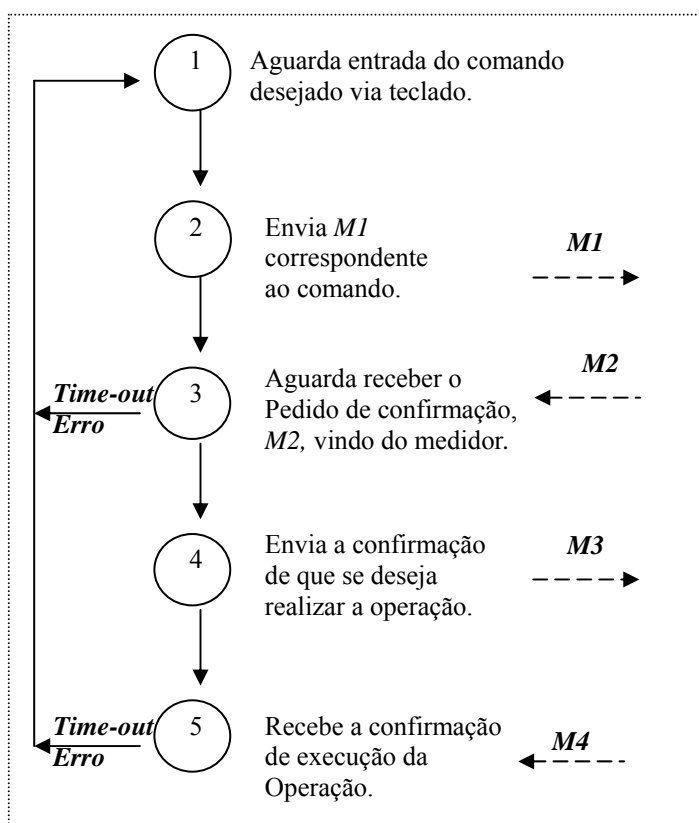


Figura 25 – Fluxograma do programa *Teste Concentrador*.

### 3.4 Comunicação PLC

A tensão da rede elétrica é formada por uma senóide de 60Hz, com 127V *rms* de amplitude. Para se comunicar através desta linha, o sistema utiliza uma modulação FSK, que se soma à tensão da rede. Assim, esse sinal transmite a informação por desvio de frequência, no qual um tom de 111kHz caracteriza o envio do nível lógico baixo, e 115kHz, o alto.

O circuito receptor se baseia em um demodulador FM e por este motivo considera a frequência média do modulador com sendo a portadora do sinal de comunicação. Com isso, utilizando um comparador na saída do receptor, pode-se recuperar a informação para sua forma digital original.

Uma instalação elétrica convencional possui um comportamento peculiar porque a dinâmica da ligação das cargas provoca uma variação da impedância ao longo do tempo, causando alterações na potência sinal.

Um outro ponto importante é que a taxa utilizada é baixa, 1200 bits por segundo, se comparado com as conexões de Internet disponíveis nos dias de hoje. Todavia, a comunicação banda estreita é interessante, pois permite aumentar a razão sinal ruído.

#### 3.4.1 Transmissor FSK

Para modular o sinal de transmissão foi desenvolvida uma rotina que utiliza uma porta de saída e uma de entrada do PIC. Para enviar um byte, escrevemos estes bits em um registrador da porta serial, liberando o controlador para realizar outras tarefas. Através da conexão do sinal de *TX*, gerado pela *USART*, em uma porta de entrada, o firmware pode detectar o nível lógico do sinal serial. Com isso, trocando o estado da porta de saída, o PIC é capaz de gerar as duas frequências desejadas para a comunicação. A figura 27 mostra o fluxograma da rotina de transmissão. A figura 26 mostra o esquema de realimentação do sinal serial.

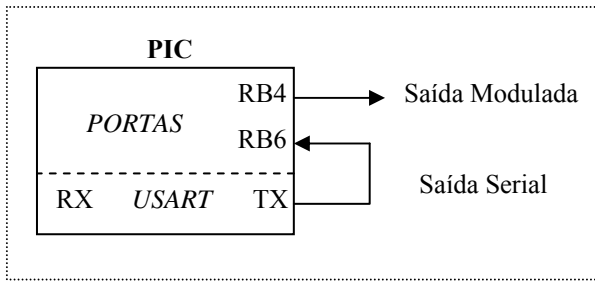


Figura 26 – Conexão da saída serial do PIC para modulação por firmware

A rotina de modulação carrega o byte que se deseja enviar no registrador *TXREG* dedicado, iniciando o processo de transmissão assíncrona. Em seguida, o programa analisa a entrada do sinal *TX* através da porta RB6. Caso esteja em nível lógico baixo, o *firmware* entra em um estado para aguardar um período de 1/115000 segundos, ou, se estiver em alto, espera 1/111000 segundos.

Após este intervalo de tempo, através de um *flag* de interrupção o controlador verifica o termino da transmissão. Se chegar ao fim, o PIC retorna à função principal, senão volta ao estado de verificação do nível de entrada para então trocar o nível da saída RB6 e aguardar o valor correspondente de tempo. A figura 27 mostra o fluxograma da rotina de modulação.

### Rotina de Modulação

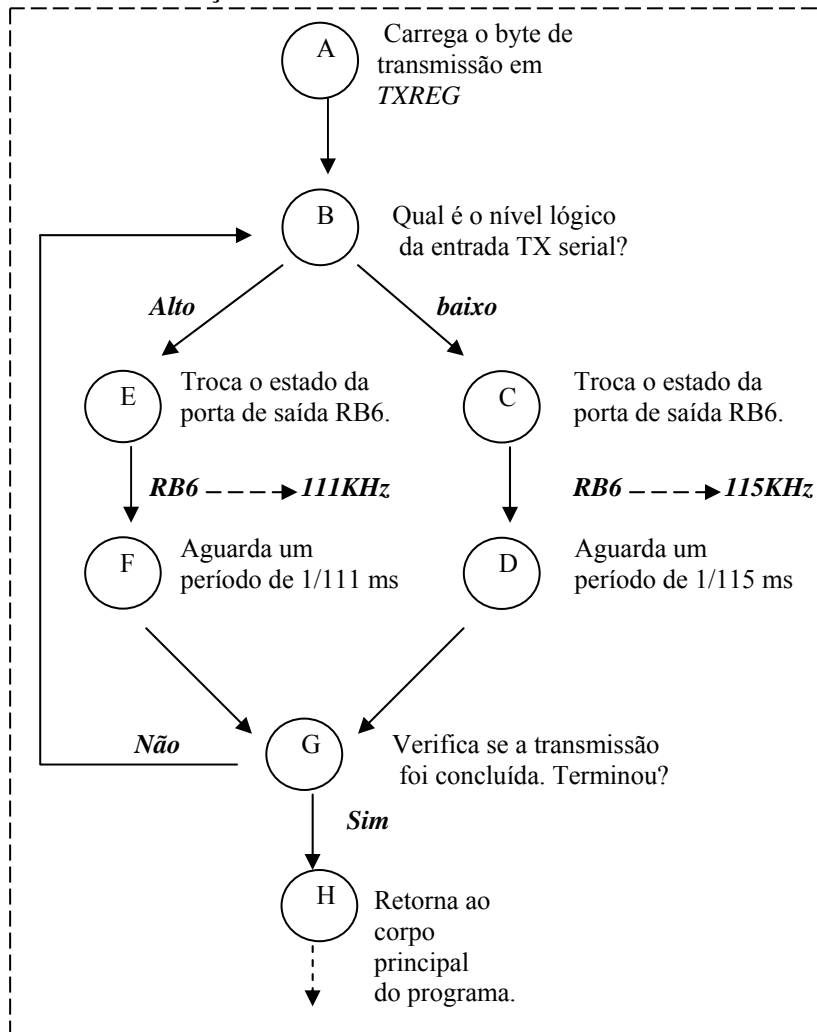


Figura 27 – Fluxograma da rotina para modular o sinal serial

### 3.4.2 Amplificador de Potência

Para se transmitir um sinal modulado na rede elétrica é necessário um circuito amplificador potência, pois a rede 127VAC representa uma baixa carga e o sinal sofre uma forte atenuação ao longo do caminho. O circuito projetado acopla uma tensão de 2 Vrms na rede, suficiente para esta aplicação. O circuito utilizado é um amplificador na configuração *push-pull* [8]. A impedância da rede elétrica pode ser estimada como uma carga entre 1  $\Omega$  e 10  $\Omega$ . O circuito amplificador de potência é mostrado na figura 31.



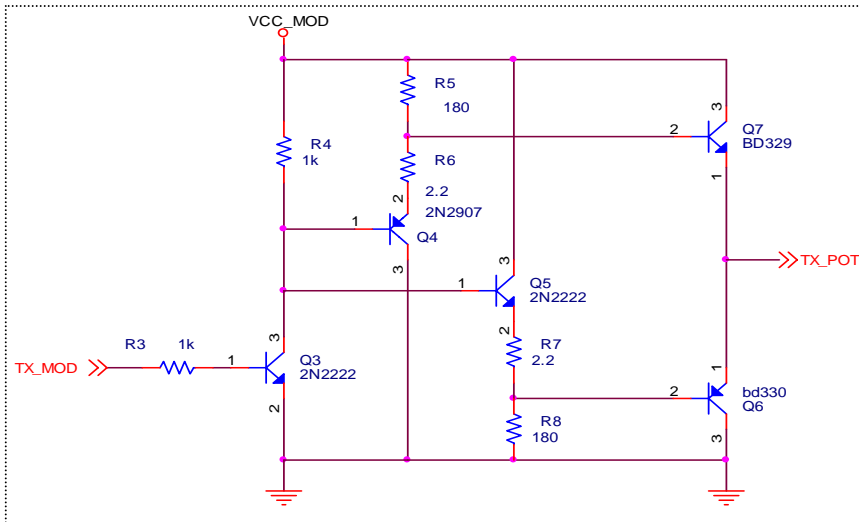


Figura 28 – Amplificador potência push-pull para o circuito transmissor

Nesse circuito o transistor Q3, que opera entre as regiões de corte e saturação, tem a função de converter o sinal serial de 0V a 5V para um sinal de valores próximos de 0V a 12V. O resistor R5 tem a função de ativar Q7 quando Q4 estiver cortado. Isto ocorre, quando Q3 também está desativado, através de um nível baixo na entrada TX\_MOD. Para desligar Q7, deve-se saturar Q4 e, ao mesmo tempo, ligar Q6, através Q5, criando um caminho para o terra. Assim, quando a entrada estiver em 0V, Q7 está conduzindo e Q6 está cortado, abrindo caminho para VCC. Quando TX\_MOD estiver em 5V, Q7 está cortado e Q6 conduzindo abrindo-se um caminho para o terra.

### 3.4.3 O acoplador para rede elétrica

O sinal foi acoplado na rede elétrica utilizando um transformador de ferrite. A figura 32 apresenta o circuito do acoplador.

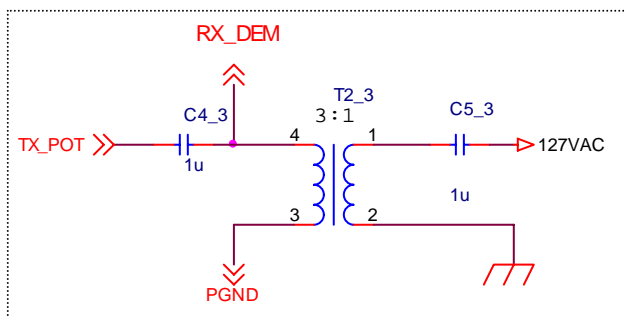


Figura 29 – Esquema do acoplador de sinal para rede elétrica.

Visando aumentar a carga vista pela saída do amplificador de potência, quando refletida pelo acoplador, foi utilizado um transformador 3:1. Nesse caso a impedância equivalente vista pelo primário do transformador é nove vezes maior que a carga.

Entretanto, apesar da exigência de corrente três vezes menor, para garantir 2V rms de sinal na rede é necessário que a saída de potência proporcione uma tensão três vezes maior, ou seja, 6V rms. A tabela 9 permite comparar os valores encontrados na saída do amplificador de potência, *TX\_POT*, para acoplar 2V rms na linha PLC.

\Saída do amplificador	Tensão	Corrente	Impedância	Potencia
transformador 1:1	2 Vrms	200 mA rms	10 Ω	400 mW
transformador 3:1	6 Vrms	66,6 mA rms	90 Ω	400 mW

Tabela 9 – Comparação entre os transformadores 3:1 e 1:1.

A presença do capacitor C5\_3 tem o objetivo de impedir a passagem da tensão de 60Hz para os enrolamentos do ferrite. Entretanto, permite a passagem do sinal de comunicação, pois apresenta uma baixa impedância em altas frequências.

Como este acoplador é utilizado tanto para a recepção de sinal quanto para transmissão, utilizamos um circuito para desligar a alimentação do amplificador quando não se deseja enviar mensagens pela linha PLC. Com isso, as frequências altas presentes na rede passarão pelo transformador, a saída *TX\_POT* será vista como um circuito aberto e o sinal PLC será encaminhado para o circuito de demodulação, representado pela saída *RX\_DEM*. A figura 30 mostra o esquema utilizado para desligar a alimentação do estágio de potência.

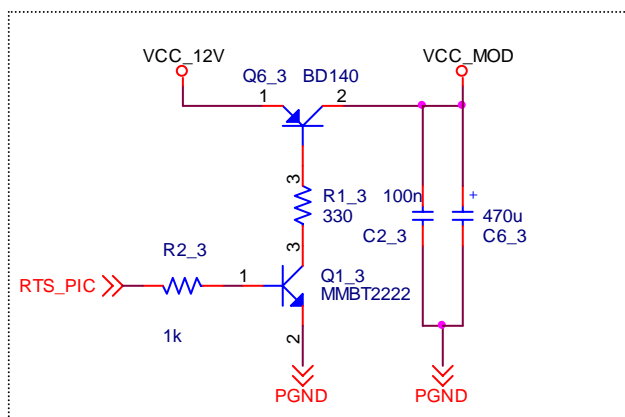


Figura 30 – Circuito para cortar a alimentação do estágio de potência.

Para iniciar a transmissão da informação pela linha PLC, o controlador ativa o sinal o *RTS\_PIC*, colocando-o em nível lógico alto, para ligar o transmissor. Em seguida, como existe um intervalo de tempo que o amplificador leva para funcionar corretamente, o PIC transmite dez bytes, de valor 255, para excitar o circuito de potência, antes de enviar a informação relevante. Além disso, esses bytes também são importantes porque silenciam a entrada do receptor, ajudando a sincronizar a chegadas dos bytes.

### 3.4.4 O receptor FM

O circuito de recepção do sinal FM se baseia em um duplo receptor super-heteródino [9] e utiliza filtros e amplificadores para minimizar ruídos e interferências existentes. A informação é captada através do acoplador para rede elétrica, como visto no final da seção anterior. Em seguida, é utilizado um filtro sintonizado na frequência da portadora para selecionar o sinal e limitar a energia de ruído. O sinal passa então por um amplificador sintonizado para receber um ganho de tensão na frequência de interesse, preparando o sinal para entrar no integrado da Motorola MC13135 [10]. Esse circuito utiliza a demodulação FM por dupla conversão, possuindo internamente osciladores locais e células para multiplicação analógica. Finalmente, o sinal passa por um filtro passa baixa para retirar frequências acima da taxa de comunicação. O diagrama de blocos do sistema receptor pode ser visto na figura 31.

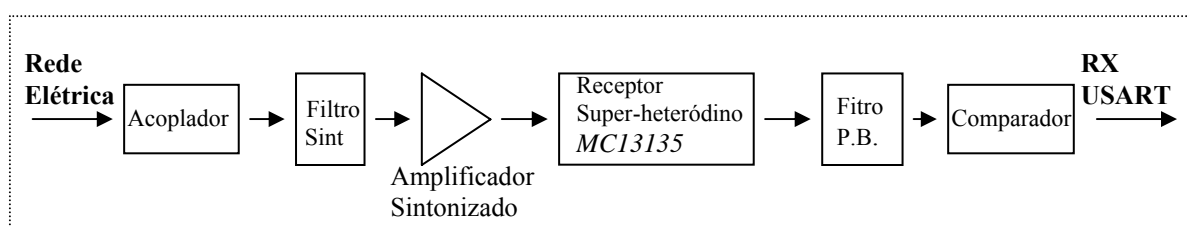


Figura 31– Diagrama de blocos do receptor PLC.

Como a rede elétrica é um meio bastante ruidoso, utilizamos um filtro sintonizado passivo para selecionar apenas a faixa de frequência utilizada na comunicação. Este filtro é formado por dois ressonadores LC e um capacitor de 10pF. O circuito é mostrado na figura 32.

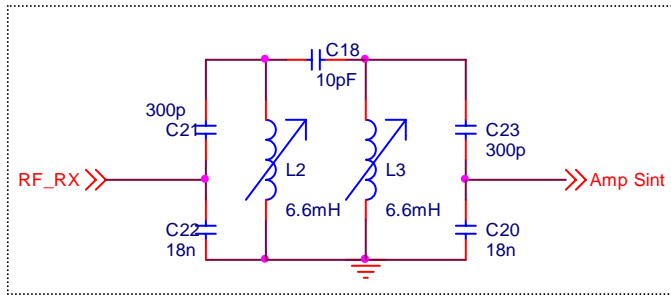


Figura 32 – Filtro passivo sintonizado

Os divisores formados pelos capacitores C21 e C22, e C20 e C23, tem a função de aumentar a impedância de entrada e saída do filtro, respectivamente. Além disso, o filtro também realiza um casamento de impedância, o impede que haja uma grande atenuação do sinal ao passar pelo filtro.

Se dimensionarmos C20 e C22 para serem muito maiores que C21 e C23 podemos considerar que a sintonia do filtro é feita através do tanque LC formado por L2 e C21, e L3 e C23. Os indutores permitem um ajuste fino da sintonia durante o funcionamento do circuito para se obter a máxima sensibilidade na recepção. A sintonia é calculada pela equação 2.

$$\sqrt{\frac{1}{LC}} = 2\pi Fc$$

Equação 2 – Frequência de ressonância do filtro LC

Quando a sintonia está devidamente ajustada, os ressonadores LC apresentam uma impedância alta na frequência da portadora permitindo que o sinal passe pelo capacitor C18. As demais frequências são atenuadas pelo filtro.

Após a filtragem do sinal PLC, é utilizado um amplificador para proporcionar um ganho de tensão ao sinal filtrado. Este amplificador utiliza um transformador de alta frequência proporcionando uma saída diferencial, *S\_Diff*, para entrar no integrado de demodulação.

A frequência de ressonância é calculada através da equação 2 utilizando o conjunto formado por C19 e a indutância presente no primário do transformador entre os pinos 1 e 3. O esquema do amplificador pode ser visualizado na figura 33.

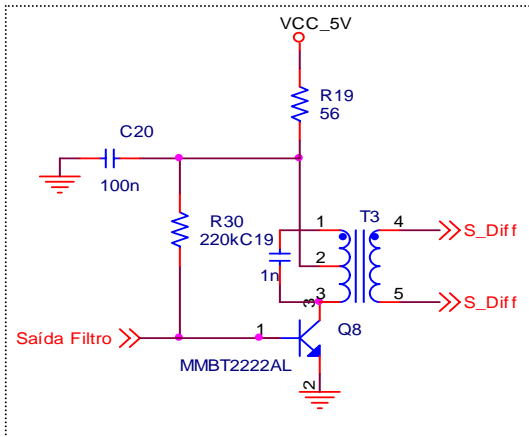


Figura 33 – Circuito amplificador sintonizado

A figura 34 mostra o circuito integrado MC13135, da Motorola.

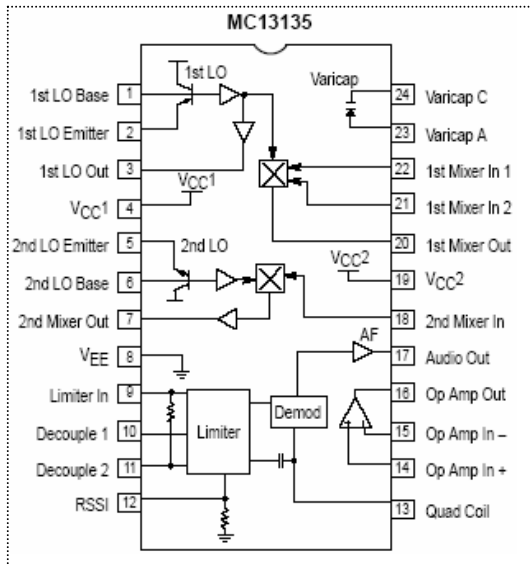


Figura 34 – Circuito integrado de demodulação

O sinal modulado em FSK, que já foi filtrado e amplificado, entra neste circuito pelos pinos 21 e 22. Neste ponto o integrado está preparado receber e multiplicar o sinal por um oscilador local a cristal em 10,813MHz, conectado ao pino 1. O sinal resultante é proporcional à soma e a diferença das duas frequências, como mostrada na equação 3.

$$\sin(a) \sin(b) = \frac{1}{2} \cos(a - b) - \frac{1}{2} \cos(a + b)$$

Equação 3 – Formula da multiplicação de dois senos.

Em seguida, obtendo um sinal em 10,700MHz (10,813 – 0,113) e um em 10,926MHz (10,813 + 0,113), foi utilizado um filtro cerâmico de 10,7MHz, valor disponível no mercado, conectado aos pinos 20, 19 e 18, para selecionar apenas as

freqüências desejadas. O sinal é encaminhado a um segundo misturador, através do pino 18, que multiplica o sinal por um oscilador local a cristal em 10,245MHz. Valendo-se novamente da equação 3, temos uma resultante em 455kHz (10,700MHz-10,245MHz). O sinal passa por um filtro cerâmico, sintonizado nesta freqüência, presente nos pinos 7, 8 e 9, e é encaminhado para o circuito interno de demodulação. Neste circuito mistura-se o sinal resultante com um ressonador em 455kHz, pino 13, recuperando a banda base. A figura 35 mostra o diagrama de blocos da operação interna do *MC13135*.

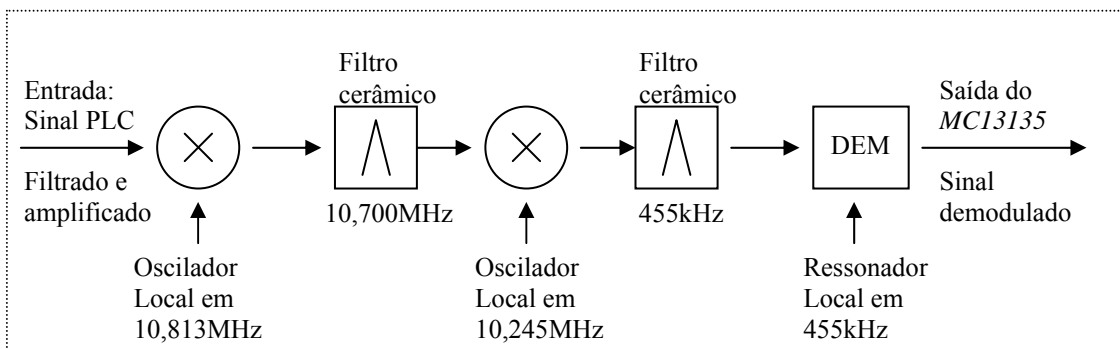


Figura 35 – Diagrama de blocos do demodulador *MC13135*.

Na saída do *MC13135* é conectada um filtro passa-baixa ativo para eliminar as altas freqüências do sinal, com o intuito de melhorar o desempenho do comparador. Este filtro tem a função de retirar do sinal as freqüências acima de 700Hz e o comparador tem o objetivo de converter o sinal analógico em digital, na forma de uma onda quadrada, para que seja compreendido pela porta serial do PIC. Com isso, a saída *RX\_DEM* é conectada diretamente ao microcontrolador. A Figura 36 mostra o esquema utilizando os amplificadores operacionais *U2A*, como filtro, e *U2B*, como comparador.

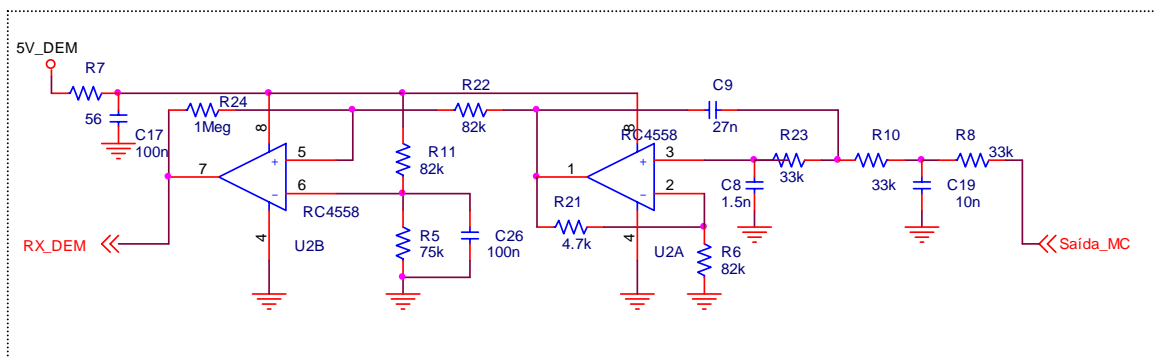


Figura 36 – Filtro ativo passa baixa.

## Capítulo 4: Testes e resultados

Para aferir o funcionamento do medidor, deveriam ser realizados testes em bancada com instrumentos que normalmente só são encontrados em laboratórios de homologação e certificação. A dificuldade no acesso a esses centros levou ao desenvolvimento de uma metodologia própria, simplificada, com o objetivo apenas de confirmar as principais especificações: a precisão quanto à medição de energia elétrica e o sucesso na comunicação PLC.

A metodologia empregada está descrita no Apêndice 2.

### 4.1 Erro na Medição do Consumo

A tabela 10 apresenta os resultados dos testes e mostra a diferença entre os valores teóricos e práticos encontrados para correntes entre 1 e 70 amperes, com a voltagem da rede mantida constante em 127 Vrms.

<b>IL teórico (A)</b>	<b>FCF teórico (Hz)</b>	<b>FCF prático (Hz)</b>	<b>Erro (%)</b>
71,8870	16,229777	16,252234	0,1382
39,1190	8,831814	8,839388	0,0857
21,8810	4,940027	4,945109	0,1028
12,4734	2,816093	2,820938	0,1717
8,6124	1,944403	1,944952	0,0282
3,8934	0,879005	0,878735	-0,0307
2,2032	0,497412	0,498132	0,1446
1,0274	0,231961	0,232288	0,1409

Tabela 10 – Resultados das medidas do consumo de energia

È importante observar que o erro obtido encontra-se dentro da faixa de 0,2 %. A figura 37 mostra o graficamente este resultado.

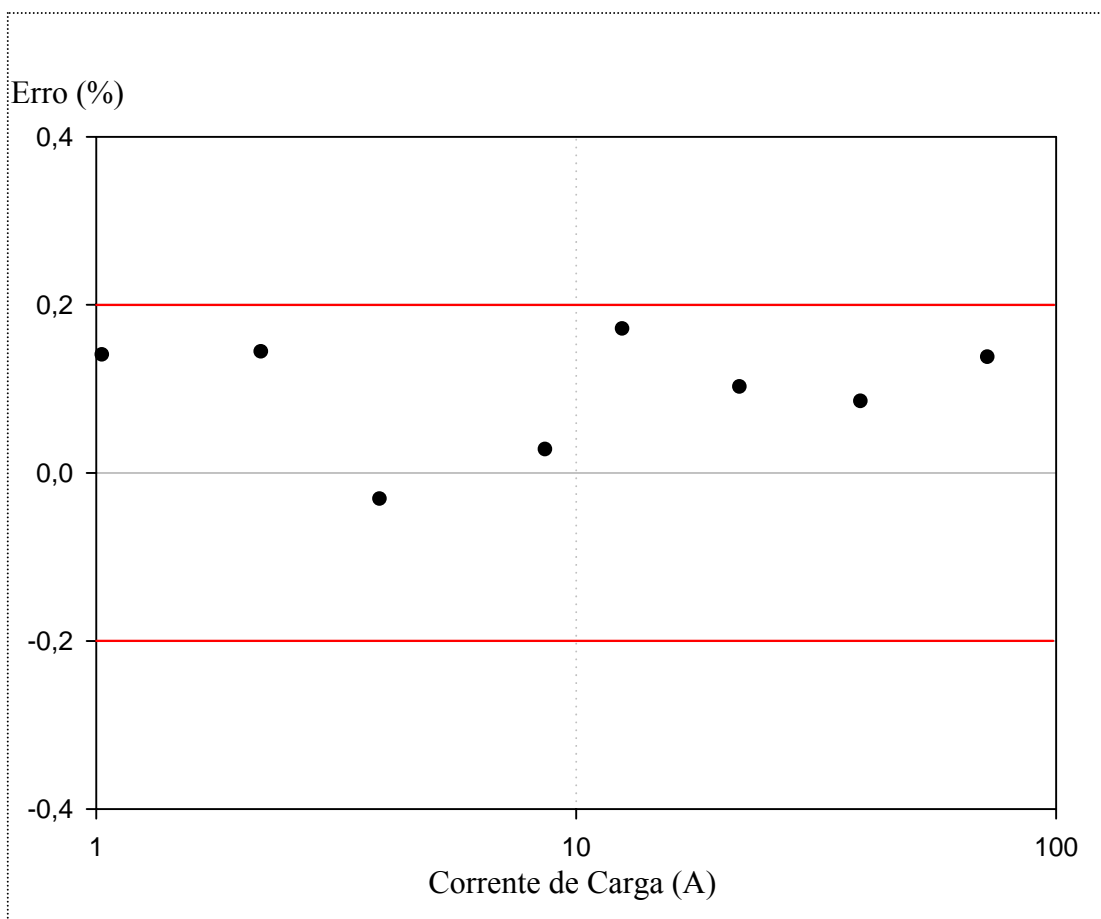


Figura 37 – Erro na medição do consumo de energia em função da corrente.

## 4.2 Desempenho da Comunicação PLC

Para avaliar o desempenho da comunicação através da rede elétrica foi desenvolvido um método aproximado para medir a taxa de erro de bit (BER), em diferentes níveis do sinal. É importante destacar que a rede elétrica possui um ruído de fundo alto, que influencia o desempenho da comunicação, reduzindo a sensibilidade do receptor.

Os testes foram realizados para vários níveis de potência do sinal na entrada do receptor, em uma condição aproximadamente constante do nível de ruído, em -60dBm. A tabela 11 apresenta o resultado dos testes e mostra a média do número de bits corrompidos em uma transmissão de um milhão de bits.

A figura 38 mostra o gráfico da taxa de erro em função da potência no receptor.



Potência do sinal no receptor ( - dBm)	Erro (bits)
45	0
50	121
55	228
60	9511

Tabela 11 – Resultados da comunicação PLC em 1 milhão de bits enviados

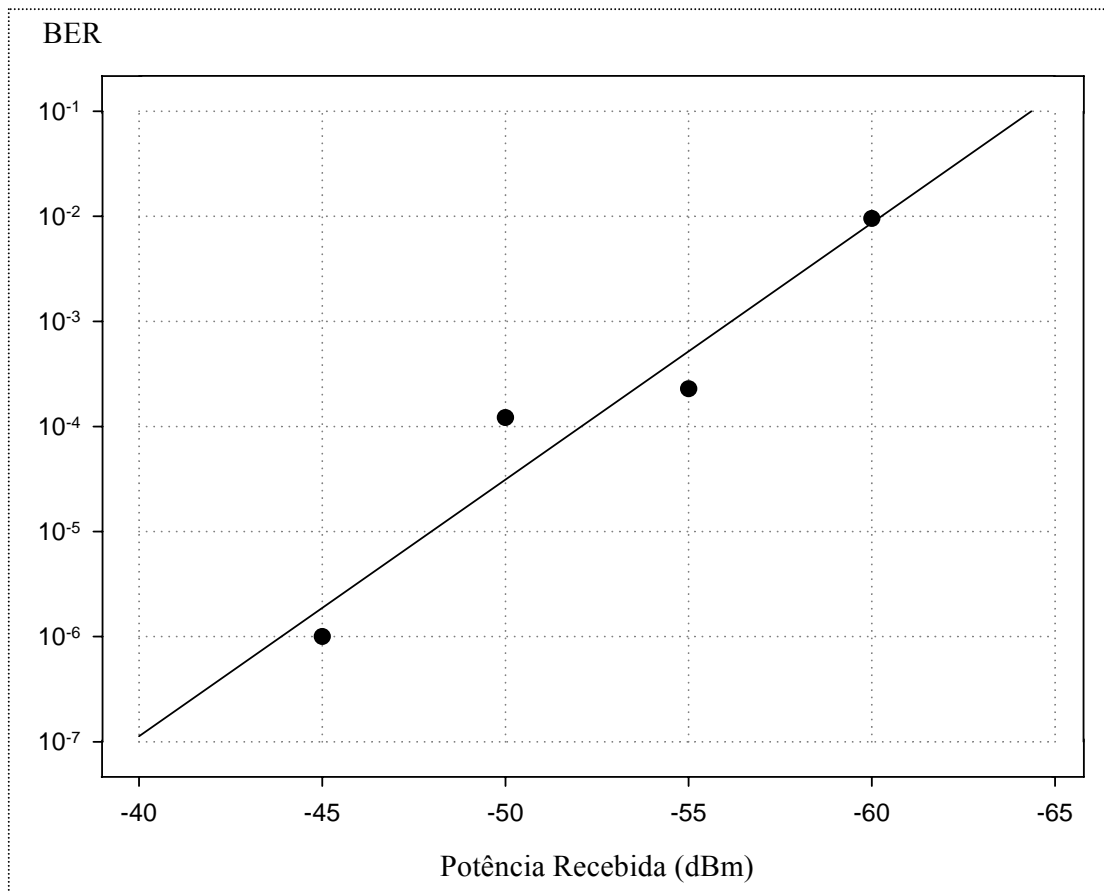


Figura 38 –Taxa de erro em função da potência recebida

## Capítulo 5: Conclusões e trabalhos futuros

Os testes, mesmo sendo aproximados, mostraram que o projeto funcionou conforme o esperado. O circuito para medição de energia apresentou um erro menor que 0,2%.

Embora o chip apresente em sua especificação uma acuidade menor que 0,1%, permitindo então ser comparável aos equipamentos já utilizados atualmente, os resultados foram bastante animadores.

Um outro fator relevante para o aumento do erro foi a classe dos instrumentos empregados nos testes, que apresentaram variações superiores ao patamar de 0,1% pretendido para a aferição. Com isso, pode-se atribuir, em maior parte, a diferença entre os valores teóricos e práticos aos instrumentos de teste: a instabilidade do gerador de sinal para simulação da tensão da rede, e as imprecisões do voltímetro e do frequencímetro.

Os testes da comunicação através da rede mostraram, como já era esperado, que o ruído de fundo presente na rede elétrica influencia bastante a informação presente na linha.

Resultados de observação prática, confirmados pelos testes, mostraram que para se obter sucesso deve-se manter um nível de sinal em torno de 15 dBm acima do ruído, junto à unidade receptora. O teste foi realizado em condições de ruído em torno de -60 dBm e os resultados para um nível de sinal no receptor em torno -45 dBm apresentaram BER menor que  $1 \times 10^{-6}$ .

Assim como os resultados encontram-se dentro das especificações e as placas já possuem um grau elevado de acabamento, pode-se concluir que o protótipo construído já se encontra perto de um produto final. Entretanto, existem trabalhos que poderiam ser realizados para melhorar o produto final, tornando sua utilização mais confiável pela empresa distribuidora.

Devido à inviolabilidade inerente aos medidores de energia e a necessidade de se enviar comandos através de funcionários, pode-se pensar em desenvolver uma interface infra-vermelho (IrDa). Esta solução permite que os comandos, como leitura e corte, possam ser enviados diretamente ao medidor através de instrumentos portáteis. Nesta filosofia, o funcionário poderia consultar o totalizador, reinicia-lo e cortar ou religar o fornecimento no local.

Além disso, a metodologia aqui empregada poderia também ser utilizada para construir um medidor trifásico de energia baseando-se no chip ADE7752 da *Analog Devices* ou similar. O projeto aqui desenvolvido visa cobrir as comunidades de baixa renda nas quais as concessionárias empregam medidores monofásicos. Entretanto, ainda existiriam os clientes trifásicos para se implantar o sistema.

Por fim, pode-se dizer que este projeto contribuiu bastante para a formação de um engenheiro, pois reuniu várias áreas da eletrônica e permitiu o exercício da criatividade ao encontrar soluções de firmware e hardware viabilizando um protótipo de medidor de consumo para AMR.

## REFERÊNCIAS

- [1] *Analog Devices Products – ADE7757 datasheet*. Disponível em: <  
[http://www.analog.com/UploadedFiles/Data\\_Sheets/36315634546902ADE7757\\_a.pdf](http://www.analog.com/UploadedFiles/Data_Sheets/36315634546902ADE7757_a.pdf)  
> acesso em: out 2005
- [2] *Analog Devices – ADE7757 Application Note AN-679*. Disponível em: <  
[http://www.analog.com/UploadedFiles/Application\\_Notes/113759387AN-679\\_0.pdf](http://www.analog.com/UploadedFiles/Application_Notes/113759387AN-679_0.pdf)>.  
Acesso em: out 2005.
- [3] *Microchip Products - PIC 16F628 datasheet*. Disponível em: <  
<http://ww1.microchip.com/downloads/en/DeviceDoc/40044b.pdf>>. Acesso em: out.  
2005.
- [4] *Microchip Technology Inc*. Disponível em: < <http://www.microchip.com>>. Acesso  
em: out. 2005.
- [5] *Novus Produtos Eletrônicos LTDA*. Disponível em: <  
<http://www.novus.com.br/site/default.asp>>. Acesso em: out 2005.
- [6] *Oshon Software – PIC Simulator IDE*. Disponível em: <  
<http://www.oshonsoft.com/>>. Acesso em: out. 2005.
- [7] *Texas Instruments Products – 74HC4053 datasheet*. Disponível em: <  
<http://focus.ti.com/lit/ds/symlink/cd54hc4053.pdf>>. Acesso em: out 2005.
- [8] *Pinto, Fernando Baruqui - Apostila de Eletrônica IV: Amplificadores de Potência*.  
Disponível em: < [http://www.del.ufrj.br/~baruqui/Apostila\\_EletIV.pdf](http://www.del.ufrj.br/~baruqui/Apostila_EletIV.pdf)> Acesso em:  
out. 2005.
- [9] *Hakin, Symon - Sistemas de Comunicação*. 4ª. Edição, 2005. Receptor super-  
heteródino.
- [10] *Motorola - MC3362 datasheet*. Disponível em: <  
<http://www.oselectronics.com/downloads/mc3362.pdf>>. Acesso em out. 2005.

## Apêndice 1 – Cálculos de projeto para o Medidor

Este apêndice contém a descrição dos cálculos da rede de resistores do circuito integrado ADE7757 para medição do consumo de energia. As especificações do projeto encontram-se na tabela 3, ao final da seção 3.1.

$$I_{MIN} = 70A / 400 = 175mA, I_b = 50 I_{MIN} \rightarrow I_B = 8,75A, \text{ corrente de base.}$$

$$\text{Potencia consumida com } I_B: 8,75A * 127V \rightarrow Pot = 1111,25W$$

Considerando que a constante do totalizador eletromecânico é de 100 imp/kWh, temos:

$$C = 100 / 3600s = 0,02778 \text{ Hz para } 1kWh \rightarrow C = 0,02778 \text{ Hz}$$

$$\text{Freq} = 1,11125 * 0,02778 \text{ Hz} = 0,03087 \text{ Hz}$$

Tensão no canal V1 (em  $I_B$ ):

$$V1 = 8,75A * 300 \mu\Omega = 2,65mV \rightarrow V1_{rms} = 2,65mV$$

Tensão no canal V2 (em  $I_B$ ):

Para obter a tensão no canal V2 aplicamos a equação 1 considerando  $F_{1-4} = 1,72$

$$Freq = \frac{515.84 \times V1_{rms} \times V2_{rms} \times F_{1-4}}{V_{ref}^2}$$

**Equação 1:**

$$V2 = ( (2,5)^2 * 0,03087 ) / ( 1,72 * 515,85 * 0,00265 ) \rightarrow V2_{rms} = 82,83mV$$

Projeto da rede resistiva:

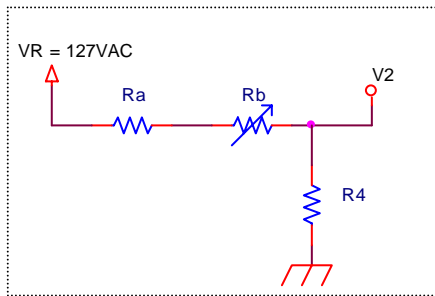


Figura 39 – Projeto da rede resistiva.

Considerando  $R_a \gg R_4$ , podemos admitir que:

$$1) 127V \cdot R_4 / (R_a + R_b) = V_{1min}$$

$$2) 127V \cdot R_4 / R_a = V_{1max}$$

Considerando uma calibração de  $\pm 8\%$  para compensar FCF devido imprecisões dos componentes utilizados no projeto.

$$V_{1max} = 82,83mV + 8\% = 89,45mV$$

$$V_{1min} = 82,83mV - 8\% = 76,20mV$$

Então:  $\rightarrow R_a = 5,75 R_b$

Se:  $R_b = 150k\Omega \rightarrow R_a = 862,5 k\Omega$

Assim, obtemos a rede resistiva final com os valores da figura 40.

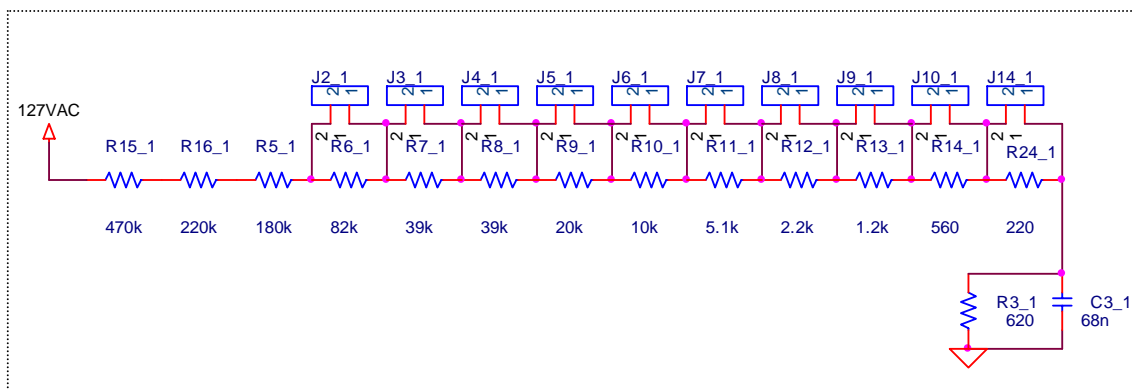


Figura 40 – Circuito final da rede resistiva.

Como os valores utilizados foram aproximados para os que estão disponíveis no mercado, devemos refazer os cálculos para encontrar novamente os valores máximo e mínimo da tensão do canal V1.

$$V_{\min} = (127 * 0,62k) / (470k + 220k + 180k + 160,33k + 0,62k) = 76,38mV$$

$$V_{\max} = (127 * 0,62k) / (470k + 220k + 180k + 0,62k) = 90,44mV$$

Com isso, esta rede deve permitir compensar pequenas variações no valor do shunt, variações em torno da frequência do oscilador e da tensão de referência interna de 2,5V, que provocam um erro na frequência de saída FCF. Como mencionado anteriormente, esta rede permite uma resolução de 9 bits. Realizando os cálculos, temos:

$$V_{\text{res}} = (92,44mV - 76,38mV) / 2^9 = 26\mu V$$

$$26\mu V / 80mV = 0,03 \% \text{ de ajuste na tensão } V_{I_{\text{rms}}}.$$

Uma vez estabelecidos os valores da rede resistiva, do resistor shunt e das constantes C e VREF, podemos deduzir uma equação para calcular a frequência de saída FCF que informa o valor de energia medido pelo ADE7757.

Quando a tensão da rede é 127V<sub>rms</sub>, a tensão V<sub>I<sub>rms</sub></sub> pode ser calibrada em um valor entre 76,38mV e 90,44mV. Considerando um valor médio de 83,82mV para V<sub>I<sub>rms</sub></sub>, podemos encontrar uma relação com V<sub>R</sub>, tal que:

$$V_{I_{\text{rms}}} = V_R ( 82,83mV / 127V )$$

E uma relação entre V<sub>2<sub>rms</sub></sub> e a corrente I<sub>L</sub> do consumidor. Considerando que o resistor shunt utilizado no caso real é de 300μΩ, temos que:

$$V_{2_{\text{rms}}} = 0,0003 I_L$$

Substituindo as variáveis V1 e V2 na equação 1, encontramos a equação 4:

$$\boxed{F_{CF} = 0,0017777 \times V_R \times I_L}$$

Equação 4 – Equação final do medidor de energia

## Apêndice 2 – Descrição dos procedimentos de teste

### Calibração do medidor

Conforme visto no capítulo 3, o medidor utiliza um resistor *shunt* de Manganina de  $300\mu\Omega$  para medir a corrente e uma rede atenuadora de resistores para medir a tensão da rede. Com esta informação, o integrado ADE7757 é capaz de calcular a energia, apresentando esta informação em forma de frequência no pino *CF*. A figura 41 mostra a separação entre estes dois circuitos que realizam a amostragem de tensão e corrente.

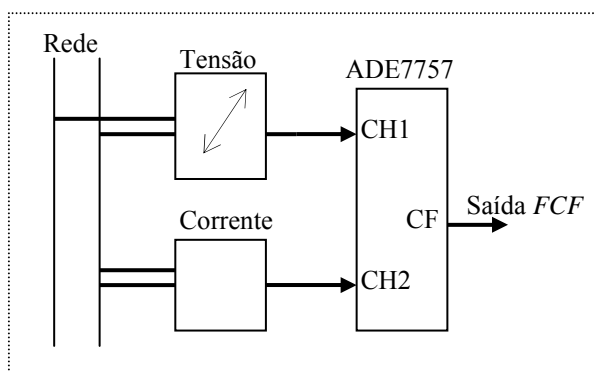


Figura 41 – Funcionamento do medidor ADE7757

Além disso, a rede de resistores permite a calibração do valor de  $F_{CF}$  em torno da frequência de projeto para compensar diferenças entre os valores de projeto e práticos. Uma vez definido o método de calibração, deve-se utilizar um valor próximo ao da corrente base para efetuar a correção.

### **Método de calibração**

Como a tensão da rede é instável, oscilando em torno de 127V, não é possível validar o circuito utilizando esta tensão como um valor de referência. Assim, foi pensado utilizar um equipamento gerador de sinal, disponível no laboratório LASPI, fornecendo uma tensão AC, estável em 60Hz, para simular a rede elétrica. Como o gerador possui uma tensão máxima de 7 Vrms, foi necessário injetar sua saída em um ponto intermediário da rede de resistores, sendo este procedimento equivalente a conectar 127V no seu início. Dessa forma, deve-se calcular a tensão  $V_{RS}$  de simulação,



necessária para apresentar a mesma tensão de saída da situação real. A figura 42 mostra o ponto da rede onde foi inserido o sinal do gerador e a saída para o medidor.

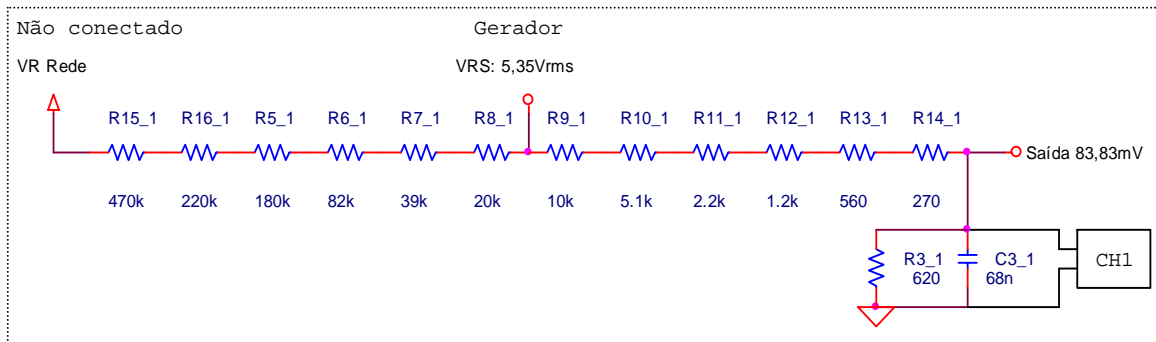


Figura 42- Circuito para simulação da tensão da rede

Devido à dificuldade de gerar correntes altas e estáveis e encontrar um resistor shunt de  $300\mu\Omega$ , foi pensado aumentar o valor do resistor shunt para simular uma corrente alta e utilizar baixas cargas. Nessa filosofia é calculado um valor de resistência próximo a dezenas de ohms que permita gerar a mesma diferença de potencial sobre shunt do caso real, quando passam correntes entre 1 e 70 amperes. Com isso, através de correntes da ordem de micro amperes, podemos simular a situação real de trabalho do medidor. A figura 43 mostra o circuito divisor resistivo utilizado para simular o caso real.

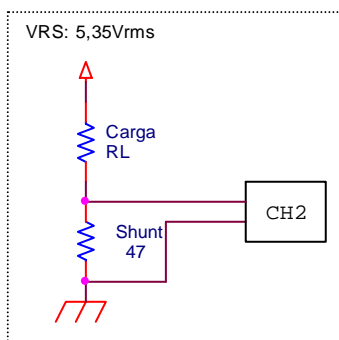


Figura 43 – circuito para simulação de corrente

## Projeto

Inicialmente deve-se calcular a tensão de saída do gerador,  $V_{RS}$ , para ser inserida na rede resistiva conforme a figura 41.

$$V_{RS} = ( 0,62k * 82,83mV ) / ( 10k+5.1k+2.2k+1.2k+0,56k+0,27k+0,62k )$$

$$V_{RS} = 5,35 \text{ Vrms}$$

Uma vez definida esta tensão, deve-se estipular qual a corrente máxima que se poderá fornecer para a carga. Dessa forma, como a impedância de saída do gerador é de  $600\Omega$ , a máxima carga para simulação foi sugerida em um valor de  $12k\Omega$ . Isso ocorre para evitar que a tensão de saída do gerador seja atenuada de forma que não se possa ajustá-la. Assim, deve-se calcular o valor do resistor shunt para simulação,  $R_s$ .

Sabendo que o valor de projeto para corrente máxima é de 70 amperes e  $300\mu\Omega$  para o valor do shunt, considerando  $12k\Omega \gg R_s$ , temos que:

$$300\mu\Omega * 70A = R_s * ( 5,35Vrms / 12k\Omega )$$

$$R_s = 47 \Omega$$

$$I_{Lreal} = ( R_s * 5,35Vrms ) / ( 300\mu\Omega * (RL+47\Omega) )$$

Com isso, devem-se utilizar diferentes cargas para simular correntes entre 1 e 70A e ajustar o gerador para estabilizar em 5,35Vrms, registrando a frequência de saída  $F_{CF}$  para as diferentes situações. Para aproximar ao máximo os resultados práticos e teóricos os resistores utilizados foram aferidos em equipamento tipo ponte RLC disponível no laboratório LASPI. A tabela 12 mostra os valores de resistência obtidos: as correntes teóricas equivalentes para o caso real,  $I_L$  teórico, e a frequência teórica de saída em CF.

<b>RL aferido (k)</b>	<b>IL teórico (A)</b>
11,777	71,8870
21,682	39,1190
38,800	21,8810
68,101	12,4734
98,652	8,6124
218,280	3,8934
385,780	2,2032
827,300	1,0274
Resistor shunt utilizado <b>Rs</b> = 47,666	

Tabela 12 – Valores dos resistores utilizados para as correntes teóricas.

### Procedimento de teste

Para realizar o procedimento de teste foi utilizado um multímetro de 4,5 dígitos para manualmente fixar a tensão de saída do gerador em 5,350Vrms. Em seguida foi utilizado um frequencímetro que possibilitou medir o período em milisegundos com uma precisão de duas casas decimais. A tabela 13, também apresentada no capítulo 4, mostra a comparação entre os valores práticos e teóricos e o erro devido à diferença entre esses valores. A linha em destaque indica o ponto em que foi realizada a calibração.

<b>IL teórico (A)</b>	<b>FCF teórico (Hz)</b>	<b>FCF prático (Hz)</b>	<b>Erro (%)</b>
71,8870	16,229777	16,252234	0,1382
39,1190	8,831814	8,839388	0,0857
21,8810	4,940027	4,945109	0,1028
12,4734	2,816093	2,820938	0,1717
8,6124	1,944403	1,944952	0,0282
3,8934	0,879005	0,878735	-0,0307
2,2032	0,497412	0,498132	0,1446
1,0274	0,231961	0,232288	0,1409

Tabela 13 – Comparação entre valores práticos e teóricos

## Teste da taxa de erro de bit (BER) na rede PLC

Visando avaliar a comunicação através da linha PLC, foi utilizada a taxa de erro de bit (*BER*) como fator de qualidade da transmissão da informação. A *BER* é um índice que mede a quantidade de bits errados entregues ao receptor. Os testes foram realizados na rede local do laboratório LASPI/UFRJ.

Utilizando as placas *Conversor* e *Medidor*, foi necessário desenvolver dois programas: um dedicado a transmitir uma seqüência fixa de bits e o outro responsável por contar o número de bits errados recebidos.

### **Firmware transmissor**

Para testar a comunicação foi definido o byte 0x55 (hexadecimal) para ser enviado pelo transmissor. Este caractere foi escolhido por produzir uma onda quadrada contínua modulada na freqüência de comunicação, sendo seu valor binário “01010101”.

O programa é iniciado configurando os registradores da USART e em seguida chama a função de enviar e modular o byte, já criada no projeto, realizando esta tarefa enquanto estiver ligado. A figura 44 mostra o fluxograma.

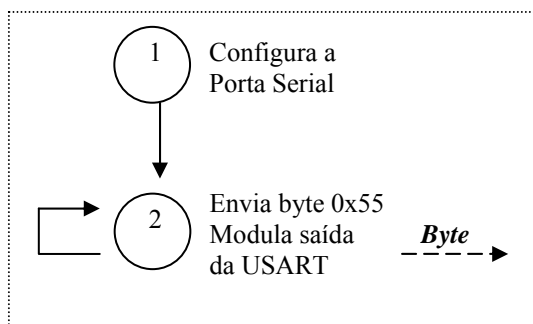


Figura 44 – Fluxograma do firmware para transmissão de bytes 0x55

### **Firmware receptor**

O programa medidor da BER configura a comunicação serial na taxa de dados correta e em seguida entra em uma rotina que aguarda receber um byte pelo circuito receptor. Em seguida, ao receber um caractere, o firmware incrementa o contador de bits em dez unidades, pois um byte transmitido assincronamente possui dois

bits de sinalização, um para início e um fim de bloco, e, em seguida, entra na rotina de comparação.

Ao realizar a comparação, o PIC verifica se o byte recebido confere com o esperado. Caso este byte esteja errado, primeiramente o controlador verifica se houve erro de frame. Caso tenha ocorrido um erro no frame, então o PIC incrementa o contador da BER em duas unidades. Quando o frame do byte recebido está correto, mas ocorreu erro nos bits, é possível contar o número de bits errados e incrementar no contador. Após a comparação o programa verifica se já chegou a contagem de um milhão de bits e volta a rotina recepção caso ainda não tenha alcançado este valor. Ao final, o PIC grava os valores encontrados em memória EEPROM. É utilizado então o leitor para ler a memória e verificar os valores encontrados. A figura 45 mostra o fluxograma para calcular a BER.

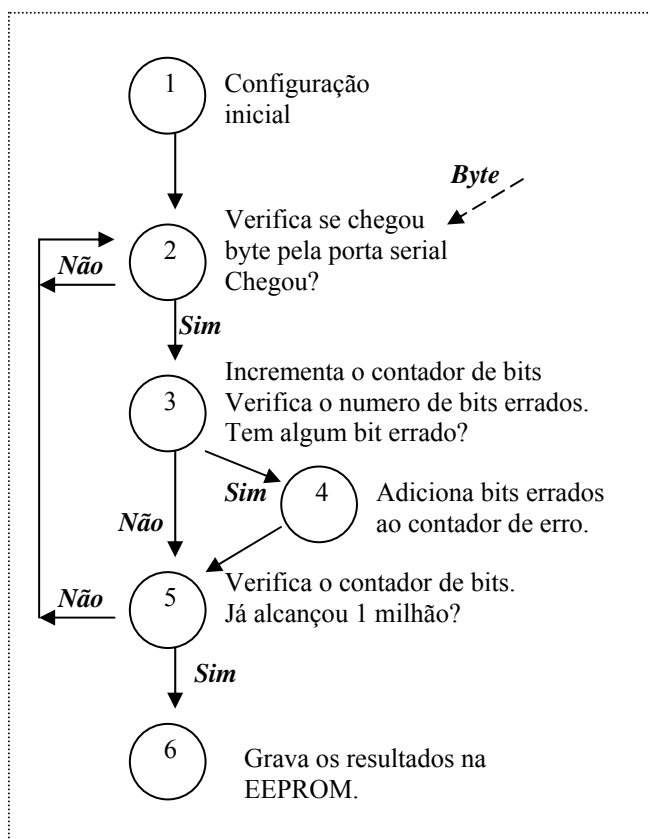


Figura 45 – Fluxograma do firmware para calcular a BER

## Resultados da BER

É importante mencionar que a rede elétrica é um canal muito ruidoso e, por este motivo, apesar de se acoplar uma potencia significativa na rede, o sinal transmissão pode ser corrompido pelo o ruído de fundo. Assim, foi utilizado um analisador de espectro, disponível o laboratório LASPI, para caracterizar o ruído presente na linha.

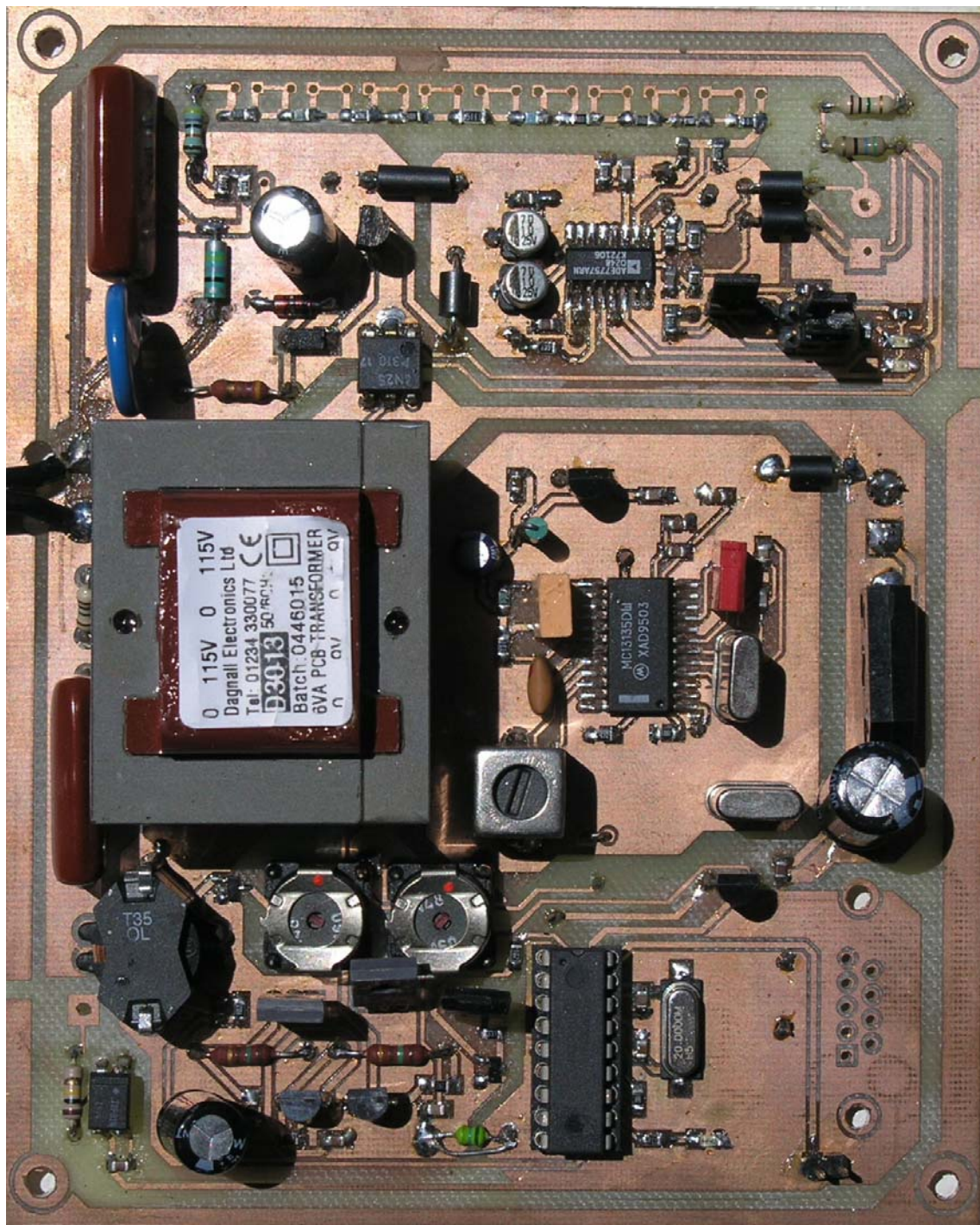
Dessa forma, foram realizados vários testes para diferentes potencias no transmissor, mantendo-se o nível do ruído aproximadamente constante em -60dBm. A tabela 14 mostra a média do número de bits errados recebidos para diferentes níveis de potencia no receptor, ao se transmite 1 milhão de bits através da linha PLC.

<b>Potencia ( - dBm)</b>	<b>Erro (bits em 10<sup>6</sup>)</b>
45	0
50	121
55	228
60	9511

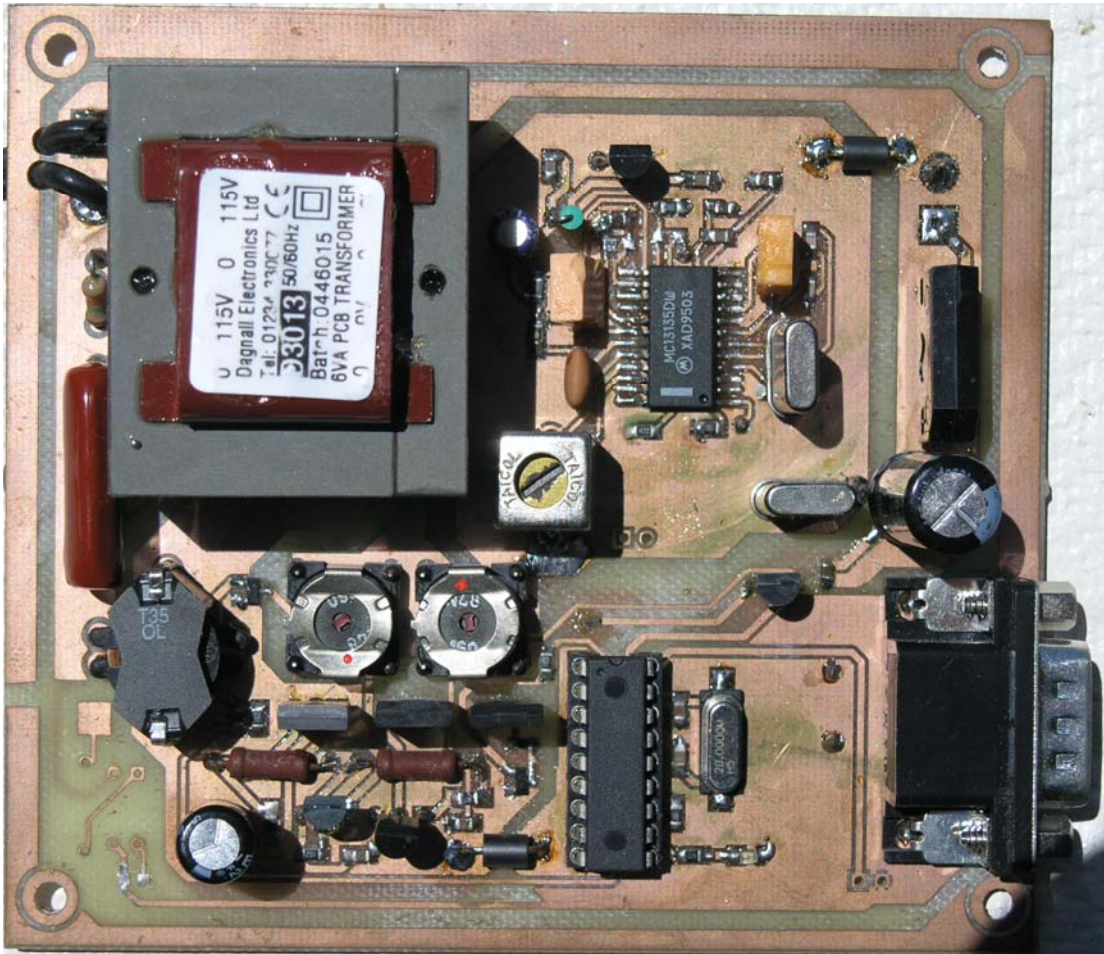
Tabela 14 – Erro de bits em 1 milhão para diferentes potências.

## Anexo 1 – Foto das placas desenvolvidas

### Placa Medidor de Energia Elétrica



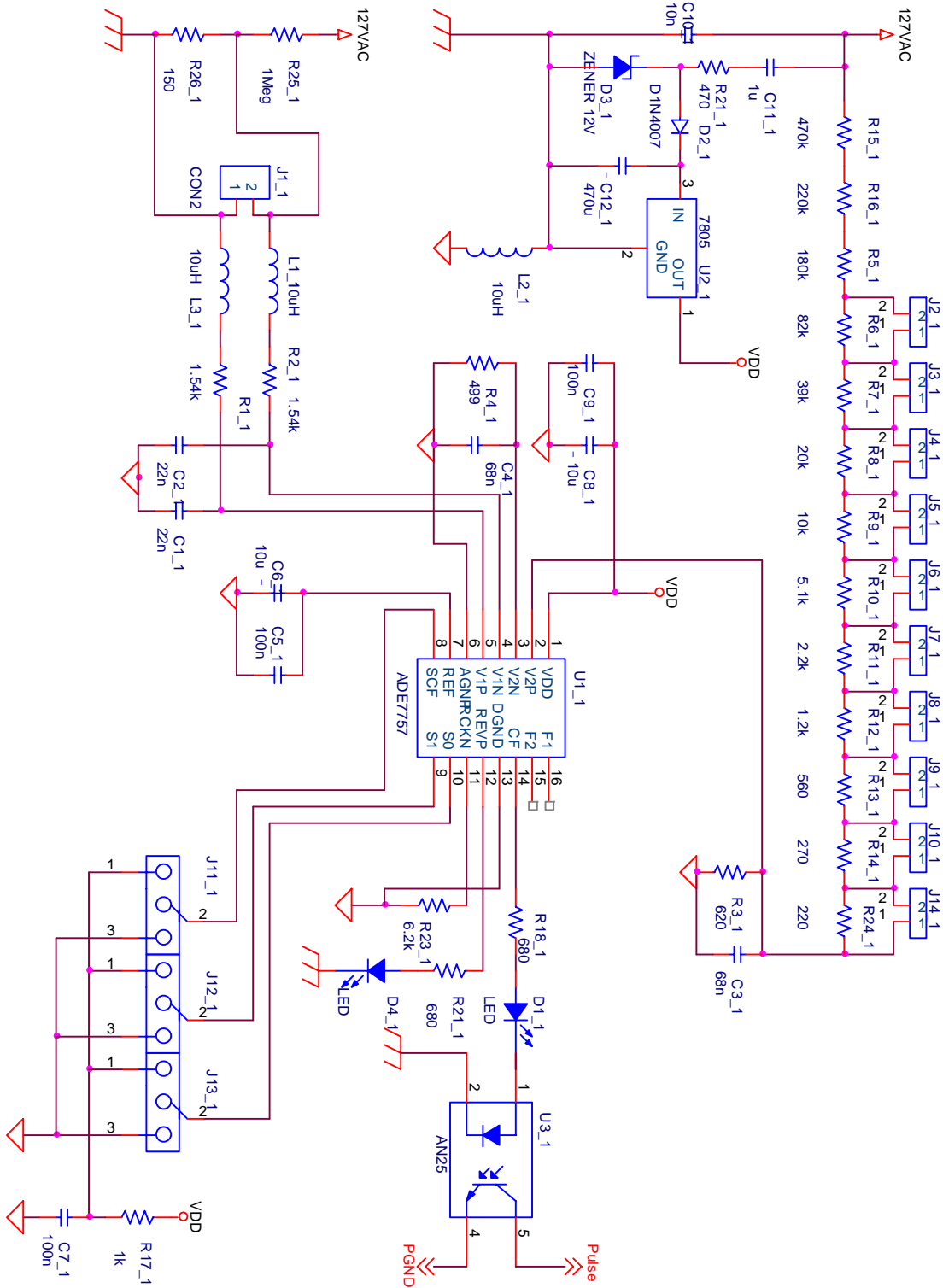
## Placa Conversor RS-232 PLC



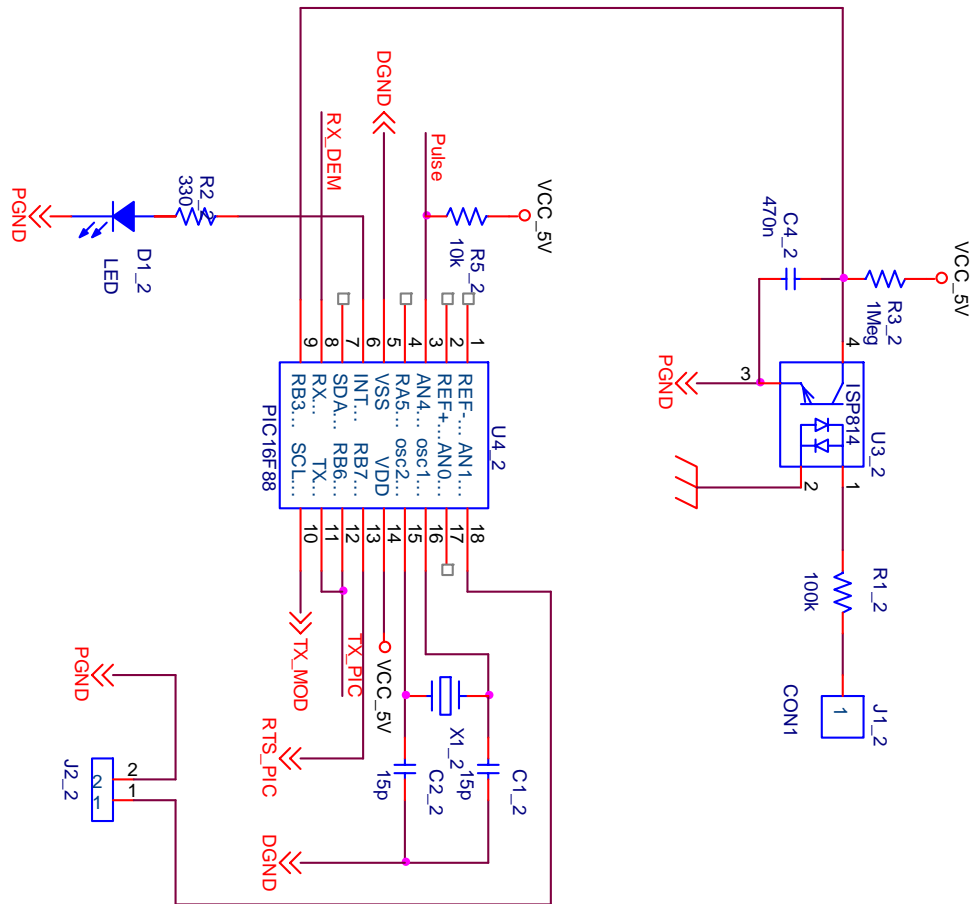


## Anexo 2 – Esquemático das placas desenvolvidas

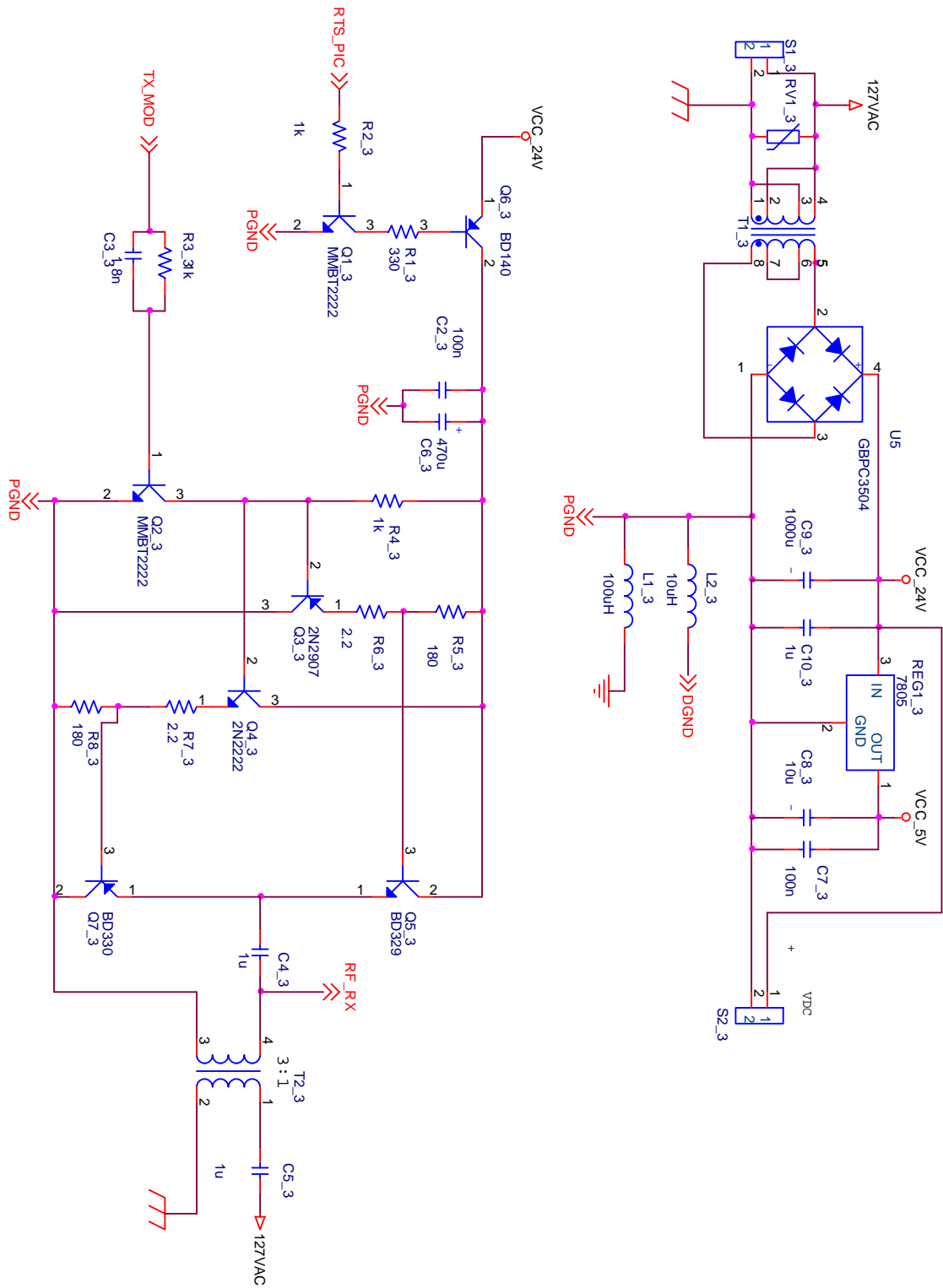
### Placa Medidor de Energia Elétrica – esquema 1: Medidor de ADE7757



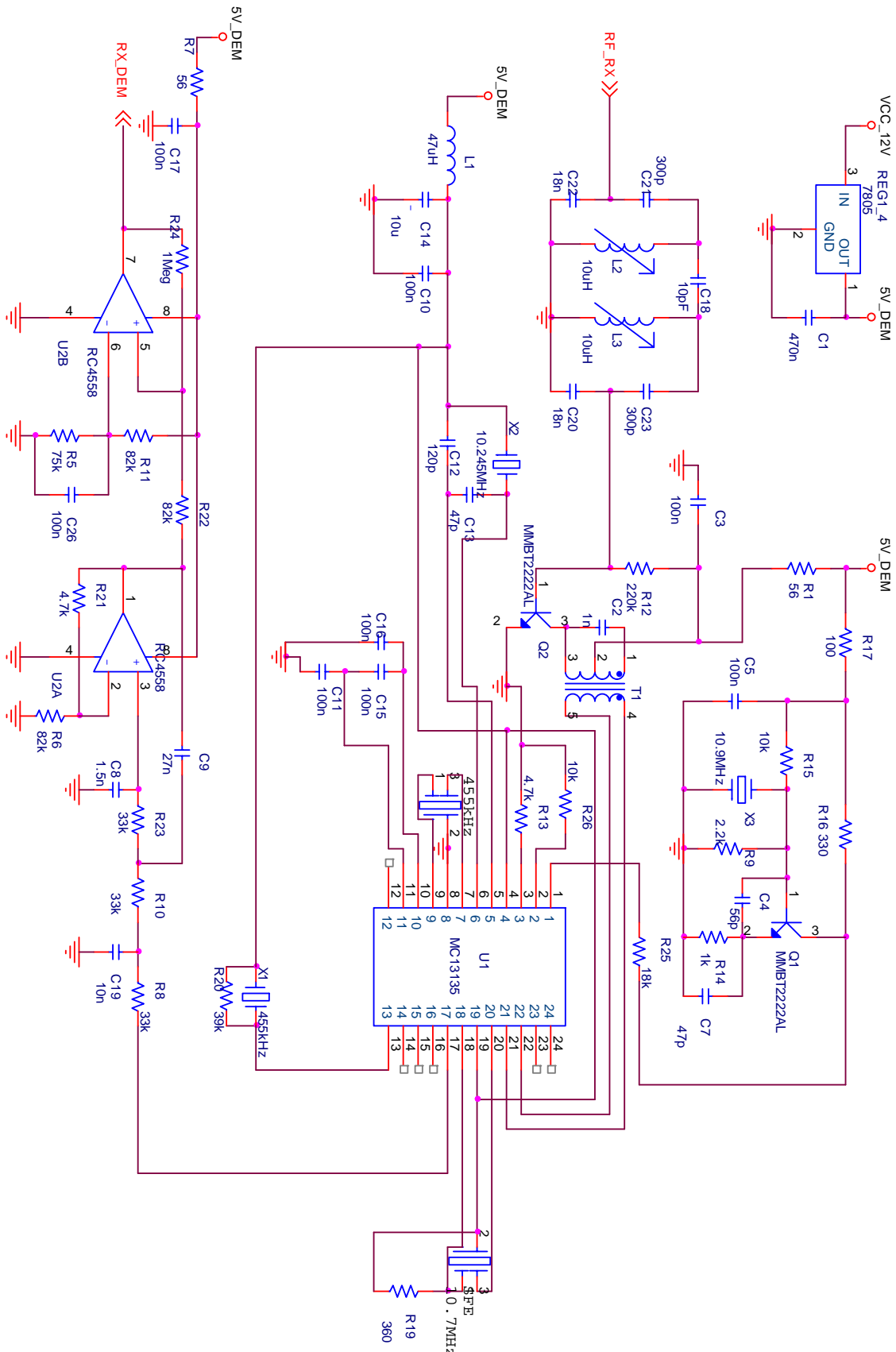
## Placa Medidor de Energia Elétrica – esquema 2: Microcontrolador PIC



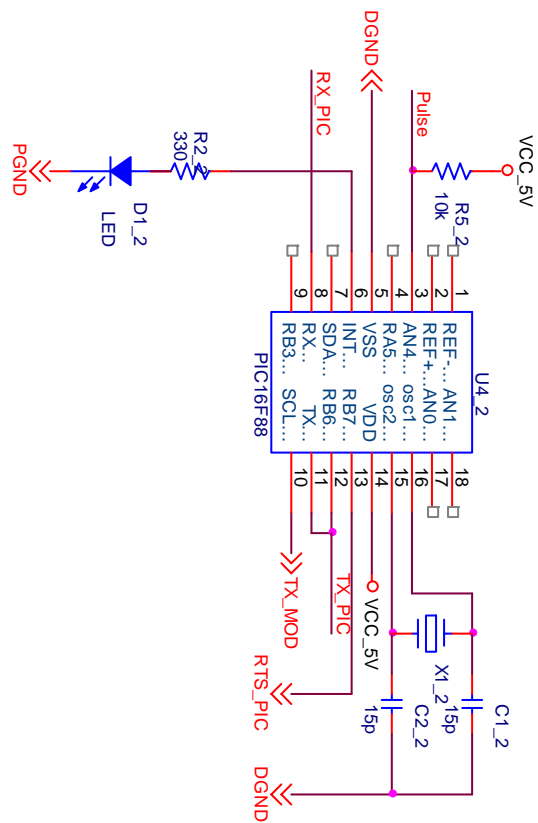
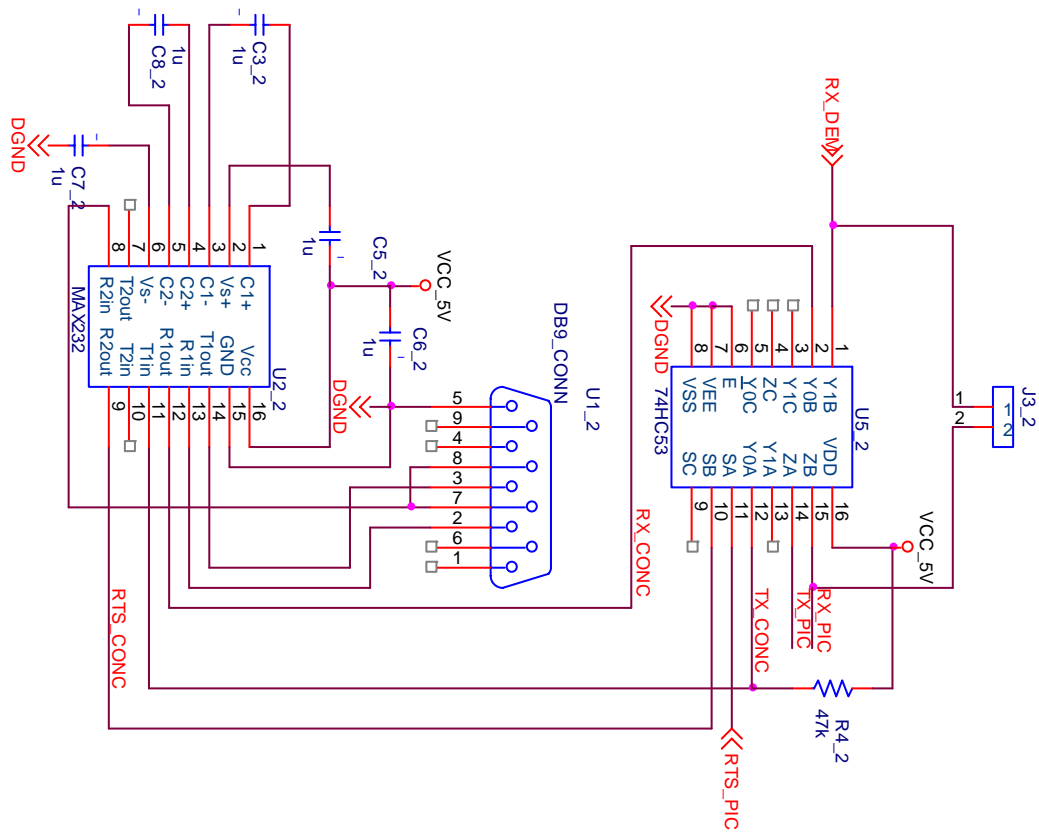
### Placa Medidor de Energia Elétrica – esquema 3: Estágio de Potência e fonte



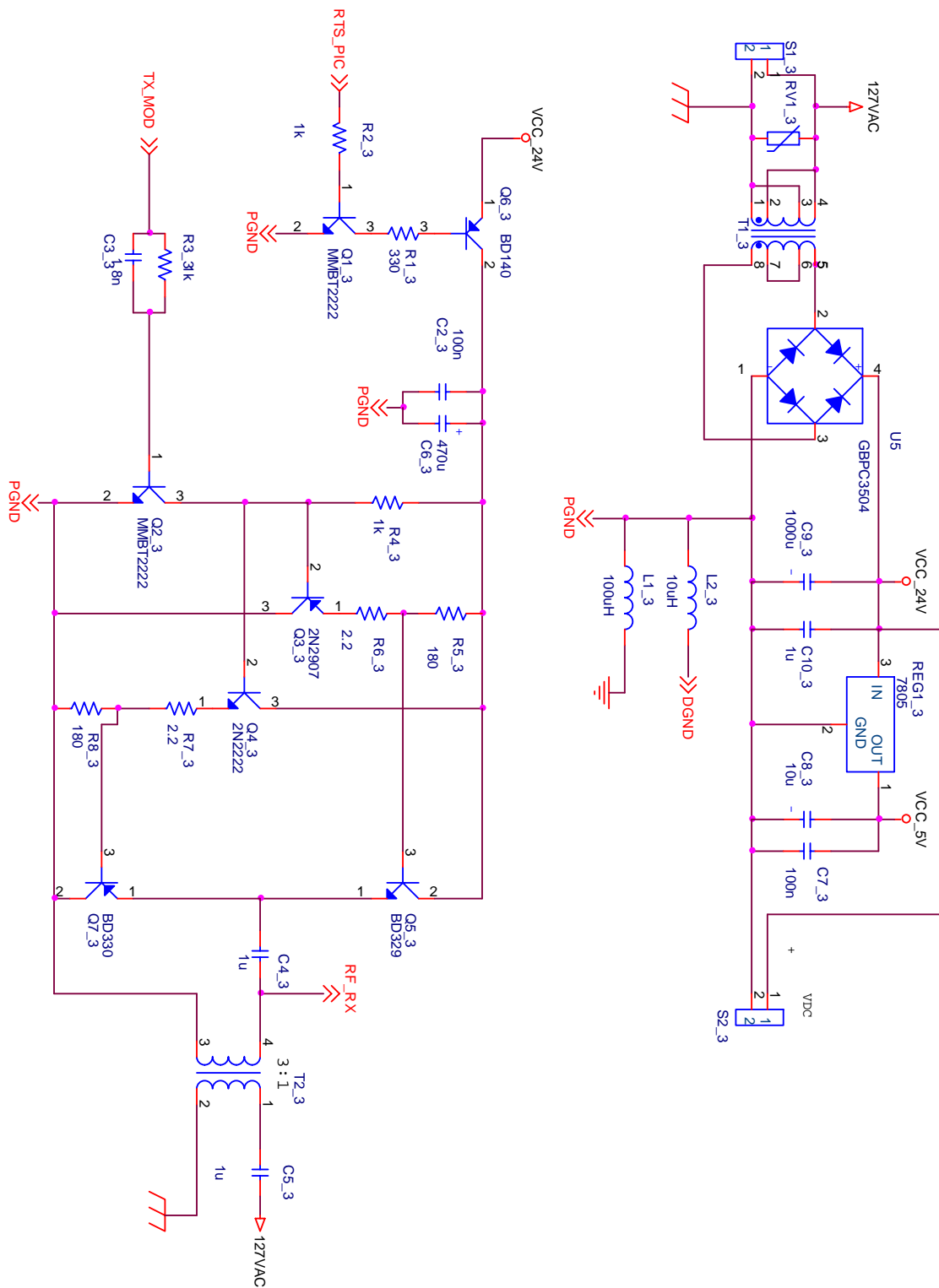
# Placa Medidor de Energia Elétrica – esquema 4: Demodulador



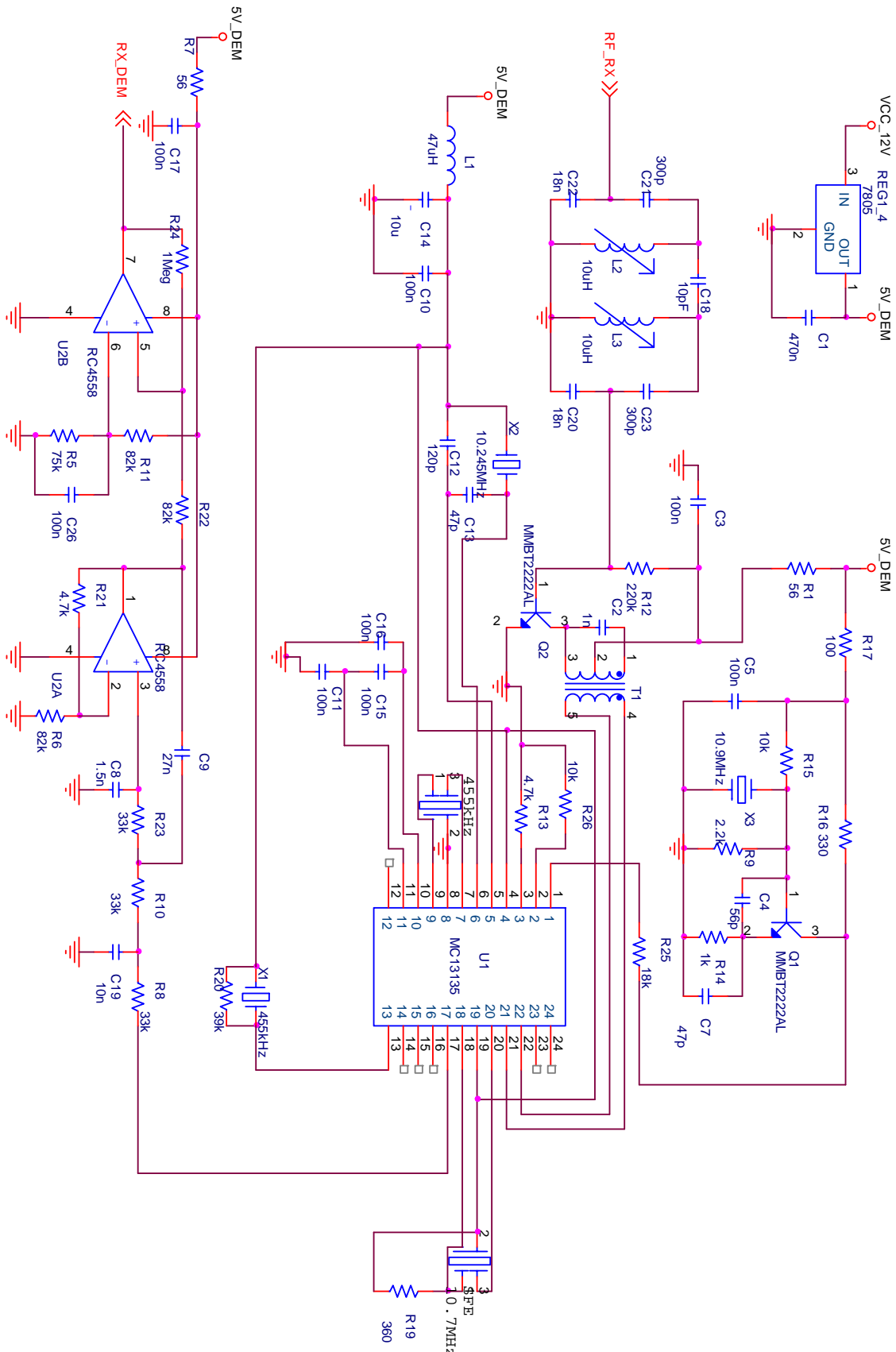
# Placa Conversor RS-232 PLC – esquema 1: Microcontrolador e interface RS-232



## Placa Conversor RS-232 PLC – esquema 2: Transmissor e fonte



# Placa Conversor RS-232 PLC – esquema 3: Demodulador



## Anexo 3 – Códigos-fonte dos programas desenvolvidos

### Programa Medidor

```
=====
;
;   FEDERAL UNIVERSITY OF RIO DE JANEIRO
;   ENGINEERING SCHOOL
;
;   PROJETO:      Projeto final - Medidor Eletrônico de energia com PLC
;   FIRMWARE:    medidor_PF
;
;   AUTOR:       Paulo Gentil Gibson Fernandes
;   ORIENTADOR:  Carlos José Ribas D'Ávila
;
=====
;
;   OBSERVAÇÕES:
;
;   Programa desenvolvido para ser executado em microcontroladores tipo PIC16F88.
;   Este código implementa a inteligência de um medidor eletrônico.
;   Ao receber pulsos invertidos em sua porta RA4/TOCKI incrementa o Timer 0 a cada 3200 pulsos.
;   O firmware se comunica ao concentrador à uma taxa de 1200 bps.
;
;-----Declarando as variáveis globais -----
;
;   COUNTER          EQU 0x30
;   CODRET1          EQU 0x31
;   COUNTER2         EQU 0x32
;   COUNTER3         EQU 0x33
;   TOTAL_1          EQU 0x34
;   TOTAL_2          EQU 0x35
;   TOTAL_3          EQU 0x36
;   TOTAL_4          EQU 0x37
;   SAVE_W           EQU 0x38
;   SAVE_STATUS      EQU 0x39
;   MACK_1           EQU 0x3A
;   MACK_2           EQU 0x3B
;   DATA_EE         EQU 0x3C
;   DATA            EQU 0x3D
;   DATARET          EQU 0x3E
;   EOT              EQU 0x3F
;   PREV_TMR0        EQU 0x40
;   STATE            EQU 0x42
;   COUNTER_MOD      EQU 0x43
;   FLAG_MOD         EQU 0x44
;   COUNTER4         EQU 0x45
;   CONF_COUNTER     EQU 0x46
;   COUNTER5         EQU 0x47
;   COUNTER6         EQU 0x48
;   SEND_TMR0        EQU 0x49
;   SEND_TOTAL_1     EQU 0x4A
;   SEND_TOTAL_2     EQU 0x4B
;   SEND_TOTAL_3     EQU 0x4C
;   SEND_TOTAL_4     EQU 0x4D
;
;-----Declarando as constantes -----
```



```

END_EE_TMR0           EQU 0x00
END_EE_TOTAL_1       EQU 0x01
END_EE_TOTAL_2       EQU 0x02
END_EE_TOTAL_3       EQU 0x03
END_EE_TOTAL_4       EQU 0x04
END_EE_MACK_1        EQU 0x08
END_EE_MACK_2        EQU 0x09
END_EE_STATE         EQU 0x0A           ;bit0 --> ligado ou desligado fornecimento
                                       ;bit1 --> ligado ou desligado fase

CHAR_A               EQU 65
CHAR_C               EQU 67
CHAR_E               EQU 69
CHAR_K               EQU 75
CHAR_L               EQU 76
CHAR_O               EQU 79
CHAR_R               EQU 82
CHAR_T               EQU 84
CHAR_!               EQU 33
CHAR_?               EQU 63
CHAR_@               EQU 64
CHAR_U               EQU 255

;-----
ORG    0x0000
GOTO  MAIN_PROG

ORG    0x0004
GOTO  INTERRUPT

;-----function to configure oscilator -----
OSC:
BSF    STATUS, RP0
BSF    OSCCON, 6
BSF    OSCCON, 5
BSF    OSCCON, 4
BSF    OSCCON, 3
BSF    OSCCON, 2
BCF    STATUS, RP0
RETURN

;-----Write E2PROM routine-----
;OBS: EEADR and EEDATA must be defined before called WRITE_EE
;design for PIC16F88, uses EE_ADR and EE_DATA

WRITE_EE:
BSF    INTCON, GIE
BSF    STATUS, RP1
MOVWF  EEADR
BCF    STATUS, RP1
MOVF   DATA_EE, W
BSF    STATUS, RP1
MOVWF  EEDATA

BSF    STATUS, RP1           ;select bank 2
BSF    STATUS, RP0           ;select bank 3
BCF    EECON1, EEPGD        ;point to data memory
BSF    EECON1, WREN         ;enables writes

gie_EE:
BCF    INTCON, GIE           ;Desable all interrupts in a security way and to perform
BTFSF  INTCON, GIE          ; a savety communication
GOTO   gie_EE
MOVLW  0x55
MOVWF  EECON2
MOVLW  0xAA
MOVWF  EECON2
BSF    EECON1, WR           ;Begin Write

```

```

        BCF          STATUS, RP0
        BCF          STATUS, RP1
Loop_WRT:
        BTFSS       PIR2, EEIF          ;EEIF is set when finish the write process
        GOTO        LOOP_WRT
        BCF          PIR2, EEIF        ;Must be cleared by software

        BSF          INTCON, GIE
        BCF          EECON1, WREN      ;disable writes
        RETURN

;-----Read E2PROM routine-----
;Receive address in W reg and return data in W reg.
;design for PIC16F88

READ_EE:
        BSF          STATUS, RP1      ;select bank 2
        MOVWF       EEADR
        BSF          STATUS, RP0      ;select bank 3
        BCF          EECON1, EEPGD
        BSF          EECON1, RD
        BCF          STATUS, RP0
        MOVF        EEDATA, W
        BCF          STATUS, RP1
        RETURN

;-----Function to send data from W register-----
TXFUNC2:
        BCF          RCSTA, CREN      ;DESABLE RECEIVE MODE

        ;If TXIF = '0', transmit buffer is full

        BTFSS       PIR1, TXIF
        GOTO        TXFUNC

        ;If transmit buffer is empty,
        ;buffer is ready to load new data to transmit.

        MOVWF       TXREG

        ;If TRMT = '0', transmit buffer is full
Y1:    BSF          STATUS, RP0
        BTFSS       TXSTA, TRMT
        GOTO        Y1
        BCF          STATUS, RP0

        BSF          RCSTA, CREN
        RETURN

;-----Function MODULATE DATA-----
TXFUNC:
        BCF          RCSTA, 4         ;DESeabilita a recepção serial
        BTFSS       PIR1, TXIF      ;If TXIF = '0', transmit buffer is full
        GOTO        TXFUNC
        MOVWF       TXREG

MAIN:
        BSF          STATUS, RP0
        BTFSC       TXSTA, TRMT
        GOTO        END_TXFUNC
        BCF          STATUS, RP0

        MOVLW       3                ; alterar o contador em 1 unidade o contador
        ; reflete em 3 ciclos de clock

        MOVWF       COUNTER_MOD
        INCF        FLAG_MOD, F

LOOP:
        DECFSZ      COUNTER_MOD, F
        GOTO        LOOP
        ;NOP
        ;incrementar NOPS para aumentar o periodo do ciclo
        ;inferior e superior: 1 NOP = 2 cilcos de clk de atraso
        BTFSC       FLAG_MOD, 0
        GOTO        SET_HI
        SET_HI

```

```

SET_LOW:
    BCF          PORTB, 4
    BTFSS       PORTB, 6    ;para inverter a modulação trocar BTFSC para BTFSS, e vice-versa
    GOTO       MAIN
    NOP
    GOTO       MAIN

SET_HI:
    BSF          PORTB, 4
    NOP
    ;NOP          ;incrementar NOPs para aumentar o semiperíodo inferior
                  ; 1 NOP = 1 ciclo de clk de atraso
    GOTO       MAIN

END_TXFUNC:
    BCF          STATUS, RP0
    BSF          RCSTA, 4    ;reabilita a recepção serial
    RETURN

;-----Function to receive data and return data in W reg-----
RCFUNC_0:
    CLRF        CODRET1

    BTFSC       PIR1,RCIF    ;If RCIF = '0', receive buffer is empty
    GOTO       GETRC_1

    MOVLW       140
    ;MOVLW      3
    MOVWF      COUNTER3

WAIT_3:
    MOVLW       30
    ;MOVLW      3
    MOVWF      COUNTER2

WAIT_2:
    MOVLW       27
    ;MOVLW      3
    MOVWF      COUNTER

WAIT_1:
    BTFSC       PIR1,RCIF    ;If RCIF = '0', receive buffer is empty
    GOTO       GETRC_1
    DECFSZ     COUNTER, F
    GOTO       WAIT_1

    DECFSZ     COUNTER2, F
    GOTO       WAIT_2

    DECFSZ     COUNTER3, F
    GOTO       WAIT_3

    BSF        CODRET1,0    ; when time_out error, CODRET = %11
    BSF        CODRET1,1
    RETURN

GETRC_1:
                                     ;If receive buffer is full, must be captured.
    CLRF        CODRET1
    MOVF        RCREG, W
    RETURN

;-----
SEND_U:
    MOVLW       30
    MOVWF      COUNTER4

TX_U:

```

```

    MOVLW      CHAR_U
    CALL       TXFUNC
    DECFSZ    COUNTER4, F
    GOTO      TX_U

    RETURN

;-----
TRM_MACK:
    MOVLW     CHAR_@
    CALL      TXFUNC

    MOVLW     CHAR_@
    CALL      TXFUNC

    MOVLW     CHAR_@
    CALL      TXFUNC

    MOVF      MACK_1, W
    CALL      TXFUNC

    MOVF      MACK_2, W
    CALL      TXFUNC

    RETURN

;-----
REC_MACK:
    CLRF      CODRET1
    MOVLW     CHAR_@           ;Test EOT ('@'): char to begin the comunication
    CALL      COMP_W_DATA
    BTFSS    CODRET1,0
    GOTO      EOT_OK
    RETURN

EOT_OK:
    MOVLW     CHAR_@
    CALL      COMP_W_DATA
    BTFSC    CODRET1,0
    RETURN

    MOVLW     CHAR_@
    CALL      COMP_W_DATA
    BTFSC    CODRET1,0
    RETURN

    MOVF      MACK_1, W
    CALL      COMP_W_DATA
    BTFSC    CODRET1,0
    RETURN

    MOVF      MACK_2, W
    CALL      COMP_W_DATA
    RETURN

;-----
WAIT_REC_MACK:
    MOVLW     %00110001      ;Start TIMER 1 (16 bits) in timer mode (internal clock) with 1:8
    prescaler
    MOVWF    T1CON
    MOVLW    254
    MOVWF    TMR1H           ; when tmr1 overfolw 0.5s has passed
    MOVWF    TMR1L

    CLRF     CODRET1
    BCF      PIR1,TMR1IF    ;limpa o flag de overflow
    MOVLW    10             ;teste de 10 bytes 255 para detectar a portadora
    MOVWF    COUNTER5

```

```

        MOVLW          10
        MOVWF         COUNTER6

TEST_REC_MACK:
        MOVLW         CHAR_@
        CALL          COMP_W_DATA
        BTFSC         CODRET1, 0
        GOTO          TEST_TIME_OUT          ;se não chegou 255 testa se deu time-out

        CALL          EOT_OK
        BTFSC         CODRET1, 0
        GOTO          TEST_TIME_OUT          ;se não chegou 255 testa se deu time-out
        GOTO          END_WAIT_REC_MACK

TEST_TIME_OUT:
        BTFSS         PIR1,TMR1IF           ;se deu overflow então time-out
        GOTO          TEST_REC_MACK         ;se não, continua o teste de 255

        BCF           PIR1, TMR1IF          ;limpa o flag de overflow
        DECFSZ        COUNTER6, F
        GOTO          TEST_REC_MACK

        BSF           CODRET1, 0
        BSF           CODRET1, 1

END_WAIT_REC_MACK:
        BCF           T1CON, TMR1ON        ;ao sair da rotina desliga o timer 1
        BCF           PIR1, TMR1IF        ;limpa o flag de overflow
        RETURN

;-----
COMP_W_DATA:
        MOVWF         DATA
        CALL          RCFUNC_0          ;RCFUNC_0 returns CODRET1 = %11 on time out error and %00
on success
        BTFSC         CODRET1,1
        RETURN          ;COMP_W_DATA returns CODRET1 = %11 timeout error
        CLRF          CODRET1
        MOVWF         DATARET          ;DATARET receive data in RCREG
        SUBWF         DATA, W
        BTFSC         STATUS, Z
        RETURN
        BCF           CODRET1,1          ;COMP_W_DATA returns CODRET1 = %01 on Comparison error
        BSF           CODRET1,0
        RETURN

;-----
LOAD_EE_REGS:
        MOVLW         END_EE_TMR0
        CALL          READ_EE
        MOVWF         TMR0

        MOVLW         END_EE_TOTAL_1
        CALL          READ_EE
        MOVWF         TOTAL_1

        MOVLW         END_EE_TOTAL_2
        CALL          READ_EE
        MOVWF         TOTAL_2

        MOVLW         END_EE_TOTAL_3
        CALL          READ_EE
        MOVWF         TOTAL_3

        MOVLW         END_EE_TOTAL_4
        CALL          READ_EE
        MOVWF         TOTAL_4

```

```

        MOVLW      END_EE_MACK_1
        CALL      READ_EE
        MOVWF     MACK_1

        MOVLW      END_EE_MACK_2
        CALL      READ_EE
        MOVWF     MACK_2

        MOVLW      END_EE_STATE
        CALL      READ_EE
        MOVWF     STATE

        RETURN
;-----
WRITE_EE_TOTAL:
        MOVF      TOTAL_1, W
        MOVWF     DATA_EE
        MOVLW     END_EE_TOTAL_1
        CALL      WRITE_EE

        MOVF      TOTAL_2, W
        MOVWF     DATA_EE
        MOVLW     END_EE_TOTAL_2
        CALL      WRITE_EE

        MOVF      TOTAL_3, W
        MOVWF     DATA_EE
        MOVLW     END_EE_TOTAL_3
        CALL      WRITE_EE

        MOVF      TOTAL_4, W
        MOVWF     DATA_EE
        MOVLW     END_EE_TOTAL_4
        CALL      WRITE_EE

        RETURN

WRITE_EE_STATE:
        MOVF      STATE, W           ;salvando STATE na EEPROM
        MOVWF     DATA_EE
        MOVLW     END_EE_STATE
        CALL      WRITE_EE

        RETURN

;-----WAIT 500ms-----
WAIT_100ms:
        MOVLW     50
        MOVWF     COUNTER3
B2:     CALL      WAIT_10ms
        DECFSZ   COUNTER3, F
        GOTO     B2

        RETURN

;-----Wait 1ms, 9ms or 10ms-----
WAIT_1ms:
        MOVLW     6
        MOVWF     COUNTER2
        GOTO     B0

WAIT_9ms:
        MOVLW     54
        MOVWF     COUNTER2
        GOTO     B0

```

```

WAIT_10ms:
    MOVLW        60
    MOVWF        COUNTER2
    GOTO         B0

B0:
    ;MOVLW        27
    MOVLW        50
    MOVWF        COUNTER

B1:    DECFSZ     COUNTER, F
    GOTO         B1

        DECFSZ     COUNTER2, F
    GOTO         B0

    RETURN
;-----
INTERRUPT:

GIE_CHK_01:
    BCF          INTCON, GIE
    BTFSC        INTCON, GIE
    GOTO         GIE_CHK_01

    MOVWF        SAVE_W           ;saving the context of the main program
    MOVF         STATUS, W
    MOVWF        SAVE_STATUS

    BTFSS        INTCON, TMR0IF
    GOTO         END_INT

    MOVLW        1
    ADDWF        TOTAL_1, F
    BTFSC        STATUS, C
    ADDWF        TOTAL_2, F
    BTFSC        STATUS, C
    ADDWF        TOTAL_3, F
    BTFSC        STATUS, C
    ADDWF        TOTAL_4, F

SAVE_TOTAL:
    BCF          INTCON, TMR0IF
    CALL         WRITE_EE_TOTAL

    ;movlw        250
    ;movwf        tmr0

    BCF          INTCON, TMR0IF
    GOTO         END_INT

END_INT:
    MOVF         SAVE_STATUS, W   ;restoring the context of the main program
    MOVWF        STATUS
    MOVF         SAVE_W, W

    BSF          INTCON, GIE      ;ENABLE all interrupts
    RETFIE        ; end of INTERRUPT
;-----

MAIN_PROG:
    ;-----carregando dados da EEPROM-----
    CALL         LOAD_EE_REGS

    ;-----configurando TMR0 como TOTALIZADOR -----

```

```

BSF          STATUS, RP0
MOVLW       %00111000
MOVWF       OPTION_REG
BCF          TRISB,0           ; PORTB,0 como saída para o LED
BSF         TRISA, 4           ;RA4, entrada clock para o contador TMR0
BCF         STATUS, RP0

;-----Configurando Registradores para Comunicacao Serial TX e RX-----
BSF          STATUS,RP0
MOVLW       255                ;BAUD RATE = 1200bps for Fosc = 20MHz crystal
MOVWF       SPBRG
BSF         TRISB,2
BSF         TRISB,5
MOVLW       %00100010         ;BRGH = 0 (Low Speed), SYNC = 0 (Assynchronous), //TX enable
MOVWF       TXSTA
BCF         STATUS,RP0
MOVLW       %10010000
MOVWF       RCSTA

;-----configurando a INT-----
MOVLW       %11100000
MOVWF       INTCON
BSF         STATUS, RP0
BCF         PIE1, RCIE
BCF         STATUS, RP0

;-----configurando as portas do AD para digital -----
BSF         STATUS, RP0
CLRF       ANSEL
BCF         STATUS, RP0

MOVF        TMR0, W           ;valor do TMR0 igual a PREV_TMR0 para mudança
MOVWF       PREV_TMR0        ;RB0 led para entrada do consumo
BSF         PORTB, 0          ;acender o led para indicar o funcionamento
BSF         STATUS, RP0
BCF         TRISB, 4          ;RB4, saída TX modulada
BSF         TRISB, 6          ;RB6, entrada realimentada do sinal serial TX modular
BSF         TRISB, 3          ;RB3, entrada do sensor de fase
BCF         TRISB, 7          ;RB7, saída RTS do transmissor
BCF         TRISA, 1          ;RA1, saída corte/religação de energia
BCF         STATUS, RP0

BCF         PORTB, 7          ;manter o transmissor desligado

BCF         PORTA, 1          ;fornecimento desligado
BTFSC      STATE, 0          ;testa para ver se o fornecimento anterior estava ligado ou
desligado
BSF         PORTA, 1

MAIN_FUNC:
BTFSC      PIR1, RCIF
GOTO       REC_INT

MOVF        TMR0, W           ;compara TRM0 com o anterior , ver se houve mudança
SUBWF      PREV_TMR0, W
BTFSC      STATUS, Z          ;se houve, flag Z não é zero, então vai para SAVE_TMR0
e registra
GOTO       MAIN_FUNC

SAVE_TMR0:
BCF         INTCON, GIE       ;desabilita as interrupções
BTFSC      INTCON, GIE
GOTO       SAVE_TMR0

MOVF        TMR0, W

```



```

MOVWF DATA_EE ;salva TMR0 na EEPROM
MOVLW END_EE_TMR0
CALL WRITE_EE

TMR0 MOVF TMR0, W ;faz TMR0 anterior igual ao novo valor de
MOVWF PREV_TMR0

BSF INTCON, GIE
GOTO MAIN_FUNC

SAVE_PHASE:
BCF INTCON, GIE ;desabilita as interrupções
BTFSC INTCON, GIE
GOTO SAVE_PHASE

BCF STATE, 1
CALL WRITE_EE_STATE

BSF INTCON, GIE
GOTO MAIN_FUNC

;-----
; comunicação serial - implementa o protocolo de comunicação
REC_INT:
BCF PORTB, 0

CALL REC_MACK
BTFSC CODRET1, 0
GOTO END_REC

CALL RCFUNC_0
BTFSC CODRET1, 0
GOTO END_REC
MOVWF DATA

MOVLW CHAR_L
SUBWF DATA, W
BTFSC STATUS, Z
GOTO REC_LER

MOVLW CHAR_C
SUBWF DATA, W
BTFSC STATUS, Z
GOTO REC_CORTAR

MOVLW CHAR_A
SUBWF DATA, W
BTFSC STATUS, Z
GOTO REC_ACIONAR

MOVLW CHAR_R
SUBWF DATA, W
BTFSC STATUS, Z
GOTO REC_RESET

GOTO END_REC

;-----
REC_LER: ;recebimento do comando "@@@ end1 end2 L" está ok
;enviando o valor do totalizador "@@@ end1 end2 L b1 b2 b3 b4
b5"
CALL WAIT_100ms
CALL WAIT_100ms
BSF PORTB, 7

```

CALL	SEND_U	
CALL	TRM_MACK	
MOVLW	CHAR_L	
CALL	TXFUNC	
MOVF	TMR0, W	
MOVWF	SEND_TMR0	
CALL	TXFUNC	
MOVF	TOTAL_1, W	
MOVWF	SEND_TOTAL_1	
CALL	TXFUNC	
MOVF	TOTAL_2, W	
MOVWF	SEND_TOTAL_2	
CALL	TXFUNC	
MOVF	TOTAL_3, W	
MOVWF	SEND_TOTAL_3	
CALL	TXFUNC	
MOVF	TOTAL_4, W	
MOVWF	SEND_TOTAL_4	
CALL	TXFUNC	
BCF	PORTB, 7	
;GOTO	END_REC	;não vai ainda ao final do protocolo ;recebendo a confirmação do totalizador
CALL	WAIT_REC_MACK	
BTFSC	CODRET1, 0	
GOTO	END_REC	
MOVLW	CHAR_L	
CALL	COMP_W_DATA	
BTFSC	CODRET1, 0	
GOTO	END_REC	
MOVF	SEND_TMR0, W	
CALL	COMP_W_DATA	
MOVF	DATARET, W	
MOVWF	TMR0	
BTFSC	CODRET1, 0	
GOTO	SEND_NACK	
MOVF	SEND_TOTAL_1, W	
CALL	COMP_W_DATA	
MOVF	DATARET, W	
MOVWF	TOTAL_1	
BTFSC	CODRET1, 0	
GOTO	SEND_NACK	
MOVF	SEND_TOTAL_2, W	
CALL	COMP_W_DATA	
MOVF	DATARET, W	
MOVWF	TOTAL_2	
BTFSC	CODRET1, 0	
GOTO	SEND_NACK	
MOVF	SEND_TOTAL_3, W	
CALL	COMP_W_DATA	
MOVF	DATARET, W	
MOVWF	TOTAL_3	
BTFSC	CODRET1, 0	
GOTO	SEND_NACK	
MOVF	SEND_TOTAL_4, W	
CALL	COMP_W_DATA	
MOVF	DATARET, W	
MOVWF	TOTAL_4	

BTFSC	CODRET1, 0	
GOTO	SEND_NACK	
MOVLW	CHAR_?	
CALL	COMP_W_DATA	
BTFSC	CODRET1, 0	
GOTO	SEND_NACK	
SEND_ACK_L:		;confirmação do totalizador válida enviar ack
CALL	WAIT_100ms	
CALL	WAIT_100ms	
BSF	PORTB, 7	
CALL	SEND_U	
CALL	TRM_MACK	
MOVLW	CHAR_L	
CALL	TXFUNC	
MOVLW	CHAR_O	
CALL	TXFUNC	
MOVLW	CHAR_K	
CALL	TXFUNC	
BCF	PORTB, 7	
GOTO	END_REC	
SEND_NACK:		
CALL	WAIT_100ms	
CALL	WAIT_100ms	
BSF	PORTB, 7	
CALL	SEND_U	
CALL	TRM_MACK	
MOVLW	CHAR_L	
CALL	TXFUNC	
MOVLW	CHAR_?	
CALL	TXFUNC	
MOVLW	CHAR_?	
CALL	TXFUNC	
BCF	PORTB, 7	
GOTO	END_REC	
;-----		
REC_CORTAR:		
MOVLW	CHAR_T	
CALL	COMP_W_DATA	
BTFSC	CODRET1, 0	
GOTO	END_REC	
CALL	WAIT_100ms	
BSF	PORTB, 7	
CALL	SEND_U	
CALL	TRM_MACK	
MOVLW	CHAR_C	
CALL	TXFUNC	
MOVLW	CHAR_T	
CALL	TXFUNC	
MOVLW	CHAR_?	
CALL	TXFUNC	
BCF	PORTB, 7	
CALL	WAIT_REC_MACK	
BTFSC	CODRET1, 0	
GOTO	END_REC	
MOVLW	CHAR_C	

```
CALL    COMP_W_DATA
BTFSC  CODRET1, 0
GOTO   END_REC
```

```
MOVLW  CHAR_T
CALL    COMP_W_DATA
BTFSC  CODRET1, 0
GOTO   END_REC
```

```
MOVLW  CHAR_!
CALL    COMP_W_DATA
BTFSC  CODRET1, 0
GOTO   END_REC
```

```
CALL    WAIT_100ms
```

```
BSF    PORTB, 7
CALL    SEND_U
```

```
CALL    TRM_MACK
MOVLW  CHAR_C
CALL    TXFUNC
MOVLW  CHAR_T
CALL    TXFUNC
MOVLW  CHAR_O
CALL    TXFUNC
MOVLW  CHAR_K
CALL    TXFUNC
```

```
BCF    PORTB, 7
```

```
;efetuando o corte
BCF    PORTA, 1
BCF    STATE, 0
CALL    WRITE_EE_STATE
```

```
GOTO   END_REC
```

-----  
REC\_ACIONAR:

```
MOVLW  CHAR_C
CALL    COMP_W_DATA
BTFSC  CODRET1, 0
GOTO   END_REC
```

```
CALL    WAIT_100ms
BSF    PORTB, 7
CALL    SEND_U
```

```
CALL    TRM_MACK
MOVLW  CHAR_A
CALL    TXFUNC
MOVLW  CHAR_C
CALL    TXFUNC
MOVLW  CHAR_?
CALL    TXFUNC
```

```
BCF    PORTB, 7
```

```
CALL    WAIT_REC_MACK
BTFSC  CODRET1, 0
GOTO   END_REC
```

```
MOVLW  CHAR_A
CALL    COMP_W_DATA
BTFSC  CODRET1, 0
```

```

GOTO          END_REC

MOVLW        CHAR_C
CALL          COMP_W_DATA
BTFSC        CODRET1, 0
GOTO          END_REC

MOVLW        CHAR_!
CALL          COMP_W_DATA
BTFSC        CODRET1, 0
GOTO          END_REC

CALL          WAIT_100ms

BSF          PORTB, 7
CALL          SEND_U

CALL          TRM_MACK
MOVLW        CHAR_A
CALL          TXFUNC
MOVLW        CHAR_C
CALL          TXFUNC
MOVLW        CHAR_O
CALL          TXFUNC
MOVLW        CHAR_K
CALL          TXFUNC

BCF          PORTB, 7

;efetuando o acionamento
BSF          PORTA, 1
BSF          STATE, 0
CALL          WRITE_EE_STATE

GOTO          END_REC

```

REC\_RESET:

```

MOVLW        CHAR_E
CALL          COMP_W_DATA
BTFSC        CODRET1, 0
GOTO          END_REC

CALL          WAIT_100ms
CALL          WAIT_100ms
BSF          PORTB, 7
CALL          SEND_U

CALL          TRM_MACK
MOVLW        CHAR_R
CALL          TXFUNC
MOVLW        CHAR_E
CALL          TXFUNC
MOVLW        CHAR_?
CALL          TXFUNC

BCF          PORTB, 7

CALL          WAIT_REC_MACK
BTFSC        CODRET1, 0
GOTO          END_REC

MOVLW        CHAR_R
CALL          COMP_W_DATA
BTFSC        CODRET1, 0

```

```

GOTO          END_REC

MOVLW        CHAR_E
CALL         COMP_W_DATA
BTFSC        CODRET1, 0
GOTO         END_REC

MOVLW        CHAR_!
CALL         COMP_W_DATA
BTFSC        CODRET1, 0
GOTO         END_REC

CALL         WAIT_100ms
CALL         WAIT_100ms

BSF          PORTB, 7
CALL        SEND_U

CALL        TRM_MACK
MOVLW      CHAR_R
CALL        TXFUNC
MOVLW      CHAR_E
CALL        TXFUNC
MOVLW      CHAR_O
CALL        TXFUNC
MOVLW      CHAR_K
CALL        TXFUNC

BCF         PORTB, 7

;efetuando o reset do contador

CLRF        TMR0
CLRF        TOTAL_1
CLRF        TOTAL_2
CLRF        TOTAL_3
CLRF        TOTAL_4

CALL        WRITE_EE_TOTAL

END_REC:
BCF         PIR1, RCIF
BSF         INTCON, GIE
BSF         PORTB, 0
GOTO        MAIN_FUNC

END

```

## Programa Modem

```
=====
;
;   FEDERAL UNIVERSITY OF RIO DE JANEIRO
;   ENGINEERING SCHOOL
;
;   PROJETO:      Projeto final - Medidor Eletrônico de energia com PLC
;   FIRMWARE:    medidor_PF_ver1
;
;   AUTOR:       Paulo Gentil Gibson Fernandes
;   ORIENTADOR:  Carlos José Ribas D'Ávila
;
=====
;
;   OBSERVAÇÕES:
;
;   Programa desenvolvido para ser executado em microcontroladores tipo PIC16F88.
;   Este código implementa um conversor RS-232 PLC.
;   O firmware se comunica ao Medidor à uma taxa de 2400 bps e
;   ao concentrador a uma taxa de 1200 bps.
;
;-----Declarando as variáveis globais -----
;
;   COUNTER          EQU 0x30
;   CODRET1          EQU 0x31
;   COUNTER2         EQU 0x32
;   COUNTER3         EQU 0x33
;   COUNTER5         EQU 0x34
;   COUNTER6         EQU 0x35
;   SAVE_W           EQU 0x36
;   SAVE_STATUS      EQU 0x37
;   DATA            EQU 0x38
;   DATARET          EQU 0x39
;   EOT              EQU 0x3A
;   COUNTER_MOD      EQU 0x3B
;   FLAG_MOD         EQU 0x3C
;   FLAG_SEND_TO_PLC EQU 0x3D
;   COUNTER4         EQU 0x3E
;
;-----Declarando as constantes -----
;
;   CHAR_U           EQU 255
;   CHAR_@           EQU 64
;
;-----
;
;   ORG              0x00
;   GOTO             MAIN_PROG
;   ORG              0x04
;   GOTO             INTERRUPT
;
;-----Function MODULATE DATA-----
TXFUNC:
;   BCF              RCSTA, 4      ;DESeabilita a recepção serial
;   BTFSS           PIR1,TXIF     ;If TXIF = '0', transmit buffer is full
;   GOTO            TXFUNC
;   MOVWF           TXREG
MAIN:
;   BSF             STATUS, RP0
;   BTFSC           TXSTA, TRMT
;   GOTO            END_TXFUNC
```

```

        BCF          STATUS, RP0

        MOVLW       3                                ; alterar o contador em 1 unidade o contador
                                                ; reflete em 3 ciclos de clock

        MOVWF      COUNTER_MOD
        INCF       FLAG_MOD, F

LOOP:
        DECFSZ     COUNTER_MOD, F
        GOTO      LOOP
        ;NOP
        BTFSC     FLAG_MOD, 0                       ;incrementar NOPS para aumentar o periodo do ciclo
        GOTO      SET_HI                           ;inferior e superior: 1 NOP = 2 ciclos de clk de atraso

SET_LOW:
        BCF       PORTB, 4
        BTFSS    PORTB, 6
        GOTO     MAIN
        NOP
        GOTO     MAIN

SET_HI:
        BSF      PORTB, 4
        NOP
        ;NOP                                       ;incrementar NOPs para aumentar o semiperiodo inferior
                                                ; 1 NOP = 1 ciclo de clk de atraso

        GOTO     MAIN

END_TXFUNC:
        BCF      STATUS, RP0
        BSF      RCSTA, 4                          ;reabilita a recepção serial
        RETURN

;-----Function to receive data and return data in W reg-----
RCFUNC_0:
        CLRF     CODRET1

        BTFSC    PIR1,RCIF                          ;If RCIF = '0', receive buffer is empty
        GOTO     GETRC_1

        MOVLW   190
        ;MOVLW  2
        MOVWF   COUNTER3

WAIT_3:
        MOVLW   40
        ;MOVLW  2
        MOVWF   COUNTER2

WAIT_2:
        MOVLW   15
        ;MOVLW  2
        MOVWF   COUNTER

WAIT_1:
        BTFSC    PIR1,RCIF                          ;If RCIF = '0', receive buffer is empty
        GOTO     GETRC_1
        DECFSZ   COUNTER, F
        GOTO     WAIT_1

        DECFSZ   COUNTER2, F
        GOTO     WAIT_2

        DECFSZ   COUNTER3, F
        GOTO     WAIT_3

        BSF      CODRET1,0                          ; when time_out error, CODRET = %11
        BSF      CODRET1,1
        RETURN

```



```

GETRC_1:
    ;If receive buffer is full, must be captured.
    CLRF      CODRET1
    MOVF     RCREG, W
    RETURN

;-----
COMP_W_DATA:
    MOVWF   DATA
    CALL    RCFUNC_0      ; CODRET1 = 11 on time out error and 00 on sucess
    BTFSC   CODRET1,1
    RETURN   ;COMP_W_DATA returns CODRET1 = %11 timeout error
    CLRF    CODRET1
    MOVWF   DATARET      ;DATARET receive data in RCREG
    SUBWF   DATA, W
    BTFSC   STATUS, Z
    RETURN
    BCF     CODRET1,1    ;COMP_W_DATA returns CODRET1 = %01 on Comparation error
    BSF     CODRET1,0
    RETURN

;-----
REC_FROM_PC:
    BSF     FLAG_SEND_TO_PLC, 0
CONF_BR2400:
    BSF     STATUS,RP0
    MOVLW   129          ;BAUD RATE = 2400bps for Fosc = 20MHz crystal
    MOVWF   SPBRG
    BCF     STATUS,RP0
    RETURN

;-----
REC_FROM_PLC:
    BCF     FLAG_SEND_TO_PLC, 0
CONF_BR1221:
    BSF     STATUS,RP0
    MOVLW   255          ;BAUD RATE = 1221bps for Fosc = 20MHz crystal
    MOVWF   SPBRG
    BCF     STATUS,RP0
    RETURN

;-----
SEND_TO_PLC:
    CALL    CONF_BR1221
    BSF     PORTB, 7
    MOVLW   35
    MOVWF   COUNTER4
SEND_U:
    MOVLW   CHAR_U
    CALL    TXFUNC
    DECFSZ COUNTER4, F
    GOTO   SEND_U

    RETURN

;-----
MAIN_PROG:

    ;---Configurando Registradores para Comunicacao Serial TX e RX-----
    BSF     STATUS,RP0
    MOVLW   255          ;BAUD RATE = 1221bps for Fosc = 20MHz crystal
    MOVWF   SPBRG
    BSF     TRISB,2
    BSF     TRISB,5

```

```

enable    MOVLW      %00100010      ;BRGH = 0 (Low Speed), SYNC = 0 (Assynchronous Mode), //TX
          MOVWF      TXSTA
          BCF         STATUS,RP0
          MOVLW      %10010000
          MOVWF      RCSTA

          ;-----configurando a INT-----
          MOVLW      %11000000
          MOVWF      INTCON
          BSF        STATUS, RP0
          BSF        PIE1, RCIE
          BCF        STATUS, RP0

          ;-----configurando as portas do AD para digital -----
          BSF        STATUS, RP0
          CLRF       ANSEL
          BCF        STATUS, RP0

          BSF        STATUS, RP0
          BCF        TRISB, 0      ;RB0 como saída para o LED
          BCF        TRISB, 4      ;RB4, saída TX modulada
          BSF        TRISB, 6      ;RB6, entrada realimentada do sinal serial TX para modular
          BSF        TRISB, 3      ;RB3, entrada do sensor de fase
          BCF        TRISB, 7      ;RB7, saída RTS do transmissor
          BCF        TRISA, 1      ;RA1, saída corte/religação de energia
          BSF        TRISA, 0      ;RA0, entrada do RTS do concentrador
          BCF        STATUS, RP0
          CLRF       FLAG_SEND_TO_PLC ;limpa o flag de envio para o PLC

RC_LOOP:
          BSF        PORTB, 0      ;acende o LED
          BCF        PORTB, 7      ;manter o transmissor desligado
          GOTO       RC_LOOP

INTERRUPT:
communication
          BCF        INTCON, GIE   ;Desable all interrupts in a security way and to perform a savety
          BTFSC     INTCON, GIE
          GOTO       INTERRUPT

          MOVWF     SAVE_W         ;saving the context of the main program
          MOVF      STATUS,W
          MOVWF     SAVE_STATUS

          BCF        PORTB, 0      ;apaga o LED
          BTFSS     PIR1, RCIF
          GOTO       END_INT

          BTFSS     PORTA, 0      ;programa já configurado para receber do PLC
          CALL      REC_FROM_PC   ;testa o RTS_PC
          ;configurar o programa para receber do PC

          MOVLW     CHAR_@        ;verifica se chegou o @
          CALL      COMP_W_DATA
          BTFSC     CODRET1,0
          GOTO       END_INT

          MOVLW     CHAR_@        ;verifica se chegou o @
          CALL      COMP_W_DATA
          BTFSC     CODRET1,0
          GOTO       END_INT

          MOVLW     CHAR_@        ;verifica se chegou o @
          CALL      COMP_W_DATA
          BTFSC     CODRET1,0
          GOTO       END_INT

```

```

        MOVLW    0x20                ;define o valor inicial do registrador de acesso indireto
        MOVWF    FSR
        MOVWF    COUNTER5

REC_BUFFER:

        CALL     RCFUNC_0
        MOVWF    DATA
        BTFSC    CODRET1, 0         ;se deu time-out então começa transmitir
        GOTO     BEGIN_SEND

        MOVF     COUNTER5, W        ;joga o valor de counter5 para o registrador
        MOVWF    FSR
        MOVF     DATA, W
        MOVWF    INDF

        INCF     COUNTER5, F        ;receive until 10 bytes
        MOVLW    0x29
        SUBWF    COUNTER5, W        ;test if COUNTER == 10
        BTFSS    STATUS, Z
        GOTO     REC_BUFFER

BEGIN_SEND:

        CALL     CONF_BR2400        ;configura o programa para enviar ao PC
        BTFSC    FLAG_SEND_TO_PLC, 0 ;testa o Flag para envio ao PLC
        CALL     SEND_TO_PLC        ;configura para enviar ao PLC

        MOVLW    CHAR_@
        CALL     TXFUNC
        MOVLW    CHAR_@
        CALL     TXFUNC
        MOVLW    CHAR_@
        CALL     TXFUNC
        MOVLW    0x20                ;define the initial address of buffer (the value is defined in
INDF register)
        MOVWF    FSR
        MOVWF    COUNTER6            ;initialize counter with the first address

SEND_BUFFER:

        MOVF     COUNTER6, W        ;define the correct address
        MOVWF    FSR

        MOVF     INDF, W            ;get the value of register pointed by FSR
        CALL     TXFUNC

        INCF     COUNTER6, F        ;receive until 14 bytes
        MOVF     COUNTER5, W
        SUBWF    COUNTER6, W        ;test if COUNTER = 14
        BTFSS    STATUS, Z
        GOTO     SEND_BUFFER
        GOTO     END_INT

END_INT:

        CALL     REC_FROM_PLC        ;configura para receber do PLC

        MOVF     SAVE_STATUS, W     ;reestoring the context of the main program
        MOVWF    STATUS
        MOVF     SAVE_W, W

        BSF     INTCON, GIE        ;ENABLE all interrupts
        RETFIE                       ; end of INTERRUPT

        END

```

## Programa Teste Concentrador

### Função Principal:

Programa para ser executado no PC e se comunicar com o Conversor RS-232 PLC a uma taxa de 2400bps. Este programa implementa o protocolo de comunicação para se comunicar com o microcontrolador PIC16F88.

```
#include<iostream.h>
#include<stdlib.h>
#include<time.h>
#include<stdio.h>
#include <string>
#include "SerialPort5.h"
using namespace std;

long int CharToInt( char bytes[], int tam, unsigned short int num[] )
{
    //int num [10];
    long int valor = 0;

    for(int i=0; i< tam; i++)
    {
        if( bytes[i] < 0)
            num[i] = (int) bytes[i]+256;
        else
            num[i] = (int) bytes[i];
    }
    for(i=0; i<5; i++)
        printf(" byte%d: %d\n", i, num[i]);

    valor = num[0] + num[1]*256 + num[2]*256*256 + num[3]*256*256*256 + num[4]*256*256*256*256;
    return( valor );
}

int main()
{
    char receber[30], receber2[30], bytes[10], enviar[20], option, rec_eot[2];
    int end1, end2, num_bytes;
    unsigned short int num[10];
    BYTE valor;
    long int totalizador;
    //FILE *arq;
    CSerialPort serial;

    if (!serial.OpenPort())
    {
        cout << "Nao e possível abrir porta" << endl;
        return 0;
    }

    if (!serial.ConfigurePort (CBR_2400,8,1,NOPARITY,ONESTOPBIT, 0))
    {
        cout << "Nao e possível configurar porta" << endl;
        serial.ClosePort();
        return 0;
    }

    if (!serial.SetCommunicationTimeouts(500,500,100,10000,10000))
    {
        cout << "Nao é possível ajustar timeout da porta" << endl;
        serial.ClosePort();
        return 0;
    }

    serial.ClosePort();
    cout << "Aplicativo pronto para operar." << endl;
}
```

```

for(;;)
{
    cout << endl;
    cout << "Digite:"<<endl;
    cout << " L para leitura do consumo" << endl;
    cout << " C para corte do fornecimento ao cliente"<<endl;
    cout << " A para religar o fornecimento" << endl;
    cout << " R para reset do totalizador"<< endl;
    cin >> option;

    if (!serial.OpenPort())
    {
        cout << "Nao e possivel abrir porta" << endl;
        return 0;
    }

    if (option=='l' || option=='L')
    {

//-----TESTE CHAR-----
        num[0] = 0;
        sprintf(Enviar, "%c%c%c", num[0], num[0], num[0]);

//-----PEDIDO LEITURA-----
        sprintf(Enviar, "@ @ @12L");
        serial.SendStr (Enviar, 6);

        serial.ReadByte(receber, 6);
        receber[6] = '\0';

        printf("Rx: %s\n", receber);

        if ( strcmp(receber, Enviar) == 0)
        {
            serial.ReadByte(bytes, 5);
            receber[5] = '\0';

            totalizador = CharToInt( bytes, 5, num );

            serial.ClosePort();
            serial.OpenPort();

            sprintf(Enviar, "@ @ @12L%c%c%c%c%c?", num[0], num[1], num[2], num[3], num[4]);
            serial.SendStr (Enviar, 12);

            serial.ReadByte(receber2, 8);
            receber2[8] = '\0';
            printf("Rx: %s\n", receber2);

        }

        printf ("totalizador: %d\n", totalizador);
    }

//-----

    if (option=='C' || option=='c')
    {
        sprintf(Enviar, "@ @ @12CT");
        serial.SendStr (Enviar, 7);
        cout << "Tx: " << Enviar << endl;

        serial.ReadByte(receber, 8);
        receber[8] = '\0';
        printf("Rx: %s\n", receber);

        if ( strcmp(receber, "@ @ @12CT?" ) == 0)
        {
            serial.ClosePort();
            serial.OpenPort();

            sprintf(Enviar, "@ @ @12CT!");

```

```

        serial.SendStr (enviar, 8);
        cout << "Tx: " << enviar << endl;

        serial.ReadByte(receber2, 9);
        receber2[9] = '\0';

        printf("Rx: %s\n", receber2);

        if ( strcmp(receber2, "@@@12CTOK" ) == 0)
            printf("Fornecimento cortado!\n\n\n");
        else
            printf("Nao foi possivel cortar o fornecimento.\n\n\n");
    }
    else
        printf("Nao foi possivel cortar o fornecimento.\n\n\n");
}

if (option=='a' || option=='A')
{
    sprintf(enviar,"@@@12AC");
    serial.SendStr (enviar, 7);
    cout << "Tx: " << enviar << endl;

    serial.ReadByte(receber, 8);
    receber[8] = '\0';
    printf("Rx: %s\n", receber);

    if ( strcmp(receber, "@@@12AC?" ) == 0)
    {
        serial.ClosePort();
        serial.OpenPort();

        sprintf(enviar,"@@@12AC!");
        serial.SendStr (enviar, 8);
        cout << "Tx: " << enviar << endl;

        serial.ReadByte(receber2, 9);
        receber2[9] = '\0';

        printf("Rx: %s\n", receber2);

        if ( strcmp(receber2, "@@@12ACOK" ) == 0)
            printf("Fornecimento religado!\n\n\n");
        else
            printf("Nao foi possivel religar o fornecimento.\n\n\n");
    }
    else
        printf("Nao foi possivel religar o fornecimento.\n\n\n");
}

if (option=='R' || option=='r')
{
    sprintf(enviar,"@@@12RE");
    serial.SendStr (enviar, 7);
    cout << "Tx: " << enviar << endl;

    serial.ReadByte(receber, 8);
    receber[8] = '\0';
    printf("Rx: %s\n", receber);

    if ( strcmp(receber, "@@@12RE?" ) == 0)
    {
        serial.ClosePort();
        serial.OpenPort();

        sprintf(enviar,"@@@12RE!");
        serial.SendStr (enviar, 8);
        cout << "Tx: " << enviar << endl;

        serial.ReadByte(receber2, 9);
        receber2[9] = '\0';

        printf("Rx: %s\n", receber2);
    }
}

```

```
        if ( strcmp(receber2, "@@12REOK" ) == 0)
            printf("Totalizador reiniciado!\n\n");
        else
            printf("Nao foi possivel reiniciar o totalizador.\n\n");
    }
    else
        printf("Nao foi possivel reiniciar o totalizador.\n\n");
}
serial.ClosePort();
}
```

## Classe Para a porta serial:

```
#include <iostream.h>
#include "SerialPort5.h"

CSerialPort::CSerialPort()
{
}

CSerialPort::~CSerialPort()
{
}

BOOL CSerialPort::OpenPort()
{
    hComm = CreateFile("COM2",
        GENERIC_READ | GENERIC_WRITE,
        0,
        0,
        OPEN_EXISTING,
        FILE_FLAG_OVERLAPPED | FILE_ATTRIBUTE_NORMAL | FILE_FLAG_WRITE_THROUGH |
        FILE_FLAG_NO_BUFFERING,
        0);

    if(hComm==INVALID_HANDLE_VALUE){
        return false;}
    else
        return true;
}

BOOL CSerialPort::ConfigurePort(DWORD BaudRate, BYTE ByteSize, DWORD fParity, BYTE Parity, BYTE StopBits,
    BOOL Rts)
{
    if((m_bPortReady = GetCommState(hComm, &m_dcb))==0){
        cout << "ERRO1";
        CloseHandle(hComm);
        return false;
    }

    m_dcb.BaudRate =BaudRate;
    m_dcb.ByteSize = ByteSize;
    m_dcb.Parity =Parity ;
    m_dcb.StopBits =StopBits;
    m_dcb.fBinary=TRUE;
    m_dcb.fDsrSensitivity=false;
    m_dcb.fParity=fParity;
    m_dcb.fOutX=false;
    m_dcb.fInX=false;
    m_dcb.fNull=false;
    m_dcb.fAbortOnError=TRUE;
    m_dcb.fOutxCtsFlow=FALSE;
    m_dcb.fOutxDsrFlow=false;
    m_dcb.fDtrControl=DTR_CONTROL_DISABLE;

    if ( Rts == 1)
        m_dcb.fRtsControl=RTS_CONTROL_ENABLE;
    else
        m_dcb.fRtsControl=RTS_CONTROL_DISABLE;

    m_dcb.fOutxCtsFlow=false;

    m_bPortReady = SetCommState(hComm, &m_dcb);
    if(m_bPortReady ==0){
        cout << "ERRO2";
```



```

        CloseHandle(hComm);
        return false;}
    return true;
}

BOOL CSerialPort::SetCommunicationTimeouts(DWORD ReadIntervalTimeout, DWORD ReadTotalTimeoutMultiplier,
DWORD ReadTotalTimeoutConstant, DWORD WriteTotalTimeoutMultiplier, DWORD WriteTotalTimeoutConstant)
{
    if((m_bPortReady = GetCommTimeouts (hComm, &m_CommTimeouts))==0)
        return false;
    m_CommTimeouts.ReadIntervalTimeout =ReadIntervalTimeout;
    m_CommTimeouts.ReadTotalTimeoutConstant =ReadTotalTimeoutConstant;
    m_CommTimeouts.ReadTotalTimeoutMultiplier =ReadTotalTimeoutMultiplier;
    m_CommTimeouts.WriteTotalTimeoutConstant = WriteTotalTimeoutConstant;
    m_CommTimeouts.WriteTotalTimeoutMultiplier =WriteTotalTimeoutMultiplier;
    m_bPortReady = SetCommTimeouts (hComm, &m_CommTimeouts);
    if(m_bPortReady ==0){
        cout << "Erro3";
        CloseHandle(hComm);
        return false;}
    return true;
}

int CSerialPort::WriteByte(const char * Data, const int Length)
{
    COMSTAT cs;
    unsigned long dwError = 0;
    OVERLAPPED ol;

    ClearCommError(hComm, &dwError, &cs);

    unsigned long retSize = 0;

    memset(&ol, 0, sizeof(OVERLAPPED));
    ol.hEvent = CreateEvent(NULL, TRUE, FALSE, NULL);

    if(WriteFile(hComm, Data, Length, &retSize, &ol) == FALSE)
    {
        if(GetLastError() == ERROR_IO_PENDING)
        {
            WaitForSingleObject(ol.hEvent, INFINITE);
            GetOverlappedResult(hComm, &ol, &retSize, TRUE);
        }
        else
            ClearCommError(hComm, &dwError, &cs);
    }

    if(ol.hEvent != INVALID_HANDLE_VALUE)
        CloseHandle(ol.hEvent);

    return retSize;
}

int CSerialPort::SendByte(char Sbyte)
{
    char byte2[2];
    int i=0, x=0;

    byte2[0] = Sbyte;
    WriteByte(byte2,1);

    return 1;
}

int CSerialPort::SendStr( char* Str, int tam)
{
    int i=0, x=0;
    if (! ConfigurePort (CBR_2400,8,1,NOPARITY,ONESTOPBIT, 1))
    {
        cout << "Nao e possível configurar porta" << endl;
        ClosePort();
        return 0;
    }
    for ( i=0; i<5000000; i++);
}

```

```

        for ( i=0; i < tam; i++)
            SendByte( Str[i]);

        for ( i=0; i<5000000; i++);

            if (! ConfigurePort (CBR_2400,8,1,NOPARITY,ONESTOPBIT, 0))
            {
                cout << "Nao e possivel configurar porta2" << endl;
                ClosePort();
                return 0;
            }

        return 1;
    }

int CSerialPort::ReadByte(char * Data, const int Length)
{
    unsigned long    dwLength = 0, dwError, dwReadLength;
    COMSTAT          cs;
    OVERLAPPED ol;

    if(hComm == INVALID_HANDLE_VALUE)
        return 0;

    ClearCommError(hComm, &dwError, &cs);

    if(dwLength > (int)cs.cbInQue)
        dwReadLength = cs.cbInQue;
    else
        dwReadLength = Length;

    memset(&ol, 0, sizeof(OVERLAPPED));
    ol.hEvent = CreateEvent(NULL, TRUE, FALSE, NULL);

    if(dwReadLength > 0)
    {
        if(ReadFile(hComm, Data, dwReadLength, &dwLength, &ol) == FALSE)
        {
            if(GetLastError() == ERROR_IO_PENDING)
            {
                WaitForSingleObject(ol.hEvent, INFINITE);
                GetOverlappedResult(hComm, &ol, &dwLength, TRUE);
            }
            else
                ClearCommError(hComm, &dwError, &cs);
        }
    }

    if(ol.hEvent != INVALID_HANDLE_VALUE)
        CloseHandle(ol.hEvent);

    return dwLength;
}

BOOL CSerialPort::aWrite(BYTE bybyte)
{
    iBytesWritten=0;
    if(WriteFile(hComm,&bybyte,1,&iBytesWritten,NULL)==0)
        return false;
    else return true;
}

void CSerialPort::ClosePort()
{
    CloseHandle(hComm);
    return;
}

```

## Cabeçalho:

```
#include"windows.h"

class CSerialPort
{
public:
    CSerialPort();

public:
    void ClosePort();

    int ReadByte(char * Data, const int Length);

    int WriteByte(const char * Data, const int Length);

    int CSerialPort::SendByte(char Sbyte);

    int CSerialPort::SendStr( char* Str, int tam);

    BOOL aWrite(BYTE bybyte);
    BOOL OpenPort();

    BOOL SetCommunicationTimeouts(DWORD ReadIntervalTimeout,DWORD
ReadTotalTimeoutMultiplier,DWORD ReadTotalTimeoutConstant,DWORD WriteTotalTimeoutMultiplier,DWORD
WriteTotalTimeoutConstant);
    BOOL ConfigurePort(DWORD BaudRate,BYTE ByteSize,DWORD fParity,BYTE Parity,BYTE StopBits,
BOOL Rts);
    HANDLE hComm;
    DCB m_dcb;
    COMMTIMEOUTS m_CommTimeouts;
    BOOL m_bPortReady;
    BOOL bWriteRC;
    BOOL bReadRC;
    DWORD iBytesWritten;
    DWORD iBytesRead;
    DWORD dwBytesRead;
    virtual ~CSerialPort();
}
```